

بِسْمِ اللَّهِ الرَّحْمَنِ الرَّحِيمِ



دانشگاه صنعتی شاهرود

دانشکده فیزیک

پایان نامه کارشناسی ارشد

فیزیک ذرات بنیادی

عنوان:

ارتباط میان کاتوره و ناموضعییت

دانشجو:

فاطمه عدالتخواه

استاد راهنما:

دکتر حسین موحدیان

پایان نامه ارشد جهت اخذ درجه کارشناسی ارشد

زمستان ۹۲

تقدیم به وجود نازنین پدر و مادرم

همدی آموخته‌ایم را تقدیم می‌کنم به آنان که مهر آسمانی شان آرام بخش آلام زمینی ام است، به استوارترین تکیه گاهم، دستان
پر مهر پدرم به سبزترین نگاه زندگیم، چشمان پر مهر مادرم که هرچه آموختم در کتب عشق شما آموختم و هرچه بگو شتم قطره‌ای از دریای
بی‌کران مهربانیان را پاس نتوانم بگویم. امروز، مستی ام به امید شماست و فردا کلید باغ به شتم رضای شما. ما حاصلی کران سنگ‌تر
از این ندا شتم تا به خاک پایتان نثار کنم، باشد که حاصل تلاشم غبار از محسنتان بزوداید.

بوسه بر دستان پرمهرتان

پاسگذاری:

پاس بی کران پروردگاریتار که هستی مان بخشید و به طریق علم و دانش را بنمونان شد. پروردگاریتاری که کسب علم و معرفت را روزمان ساخت و درهای علم را بر ما گشود. پاس آن خالق مینایی که فرصتی عطا فرمود تا بدان، بنده ضعیف خویش را در طریق علم و معرفت بیازماید.

از آنجایی که تجلیل از معلم، پاس از انسانی است که هدف و غایت آفرینش را تا این می کند و سلامت امانت باری را که به دستش سپرده اند، تضمین، بر حسب وظیفه و از باب "من لم یسکر المنعم من المخلوقین لم یسکر الله عزوجل":

از استاد فرزانه و دلنواز، جناب آقای دکتر حسین موحدیان که در کمال سعه صدر، با حسن خلق و فروتنی، از بیچ کمسکی در این عرصه بر من دریغ ننمودند و زحمت راهنمایی این رساله را بر عهده گرفتند؛

و از اساتید با کمالات و شایسته، جناب آقای پروفور علی اکبر رجبی و جناب آقای دکتر مصطفی عنایتی که زحمت داوری این رساله را متقبل شدند، کمال تشکر و قدردانی را دارم.

تعهد نامه

اینجانب فاطمه عدالتخواه دانشجوی دوره کارشناسی ارشد، رشته فیزیک ذرات بنیادی دانشکده فیزیک دانشگاه صنعتی شاهرود،

نویسنده‌ی پایان نامه‌ی ارتباط میان کاتوره و ناموضیعت تحت راهنمایی دکتر حسین موحدیان متعهد می‌شوم:

- تحقیقات در این پایان نامه توسط اینجانب انجام شده است و از صحت و اصالت برخوردار است.
- در استفاده از نتایج پژوهش‌های محققان دیگر به مرجع مورد استفاده استناد شده است.
- مطالب مندرج در پایان نامه تاکنون توسط خود یا فرد دیگری برای دریافت هیچ نوع مدرک یا امتیازی در هیچ جا ارائه نشده است.
- کلیه حقوق معنوی این اثر متعلق به دانشگاه صنعتی شاهرود می‌باشد و مقالات مستخرج با نام « دانشگاه صنعتی شاهرود» و یا «Shahrood University of Technology» به چاپ خواهد رسید.
- حقوق معنوی تمام افرادی که در به دست آمدن نتایج اصلی پایان نامه تأثیرگذار بوده‌اند در مقالات مستخرج از پایان نامه رعایت می‌گردد.
- در کلیه مراحل انجام این پایان نامه، در مواردی که از موجود زنده (یا بافتهای آنها) استفاده شده است ضوابط و اصول اخلاقی رعایت شده است.
- در کلیه مراحل انجام این پایان نامه، در مواردی که به حوزه اطلاعات شخصی افراد دسترسی یافته یا استفاده شده است اصل رازداری، ضوابط و اصول اخلاق انسانی رعایت شده است.

امضای دانشجو

تاریخ

مالکیت نتایج و حق نشر

- کلیه حقوق معنوی این اثر و محصولات آن (مقالات مستخرج، کتاب، برنامه‌های رایانه‌ای، نرم‌افزارها و تجهیزات ساخته شده است) متعلق به دانشگاه صنعتی شاهرود می‌باشد. این مطلب باید به نحو مقتضی در تولیدات علمی مربوطه ذکر شود.
- استفاده از اطلاعات و نتایج موجود در پایان نامه بدون ذکر مرجع مجاز نمی‌باشد.

چکیده

امروزه تولید اعداد تصادفی به‌خصوص در رمزنگاری از اهمیت فوق‌العاده‌ای برخوردار است. برای تولید اعداد تصادفی بسته به کاربرد آنها از روشهای تولید متفاوتی بهره می‌جوییم. امنیت پارامتر مهمی در رمزنگاری است. در این تحقیق علمی به دنبال تولید اعداد تصادفی هستیم که توسط جاسوس شناسایی نمی‌شود و از امنیت بالایی برخوردار است. در فیزیک نیوتنی، با داشتن آگاهی کاملی از شرایط اولیه و برهم‌کنشهای سیستم می‌توانیم آینده سیستم را به صورت قطعی پیش‌بینی کنیم. تولید اعداد تصادفی به روش کلاسیک، با توجه به قطعیتی که در سیستم وجود دارد امنیت لازمه را ندارد. چارچوب نظریه کوانتمی شامل یک نوعی از کاتورگی می‌باشد که همتای کلاسیکی ندارد. فیزیک کوانتمی ذاتا تصادفی است، لذا برای تولید اعداد تصادفی مناسب می‌باشد. در این تحقیق علمی میزان کاتورگی خروجی‌های یک آزمایش بل را تعیین می‌کنیم و بهترین سیستم را برای تولید اعداد کاملا تصادفی برمی‌گزینیم.

خروجی‌های یک حالت در هم‌تنیده که آزمایش بل را نقض می‌کنند، الزاما مقداری کاتورگی را نشان می‌دهند. در اینجا قصد داریم تا ارتباط میان ناموضعی و کاتورگی را که در یک آزمایش بل وجود دارد بررسی کنیم. انتظار داریم ارتباط مستقیمی میان میزان ناموضعی و کاتورگی تولید شده در یک آزمایش بل برقرار باشد یعنی برای مثال هرچه میزان ناموضعی کمتر باشد میزان کاتورگی نیز کمتر است. نتایج نشان می‌دهد که این ارتباط مستقیم درست نمی‌باشد و ارتباط میان این دو مفهوم دقیقتر از آن است که انتظار داریم. میزان طبیعی ناموضعی سیستم را، میزان کمی نقص نامساوی بل در نظر می‌گیریم سپس میزان کمی کاتورگی سیستم را بدست می‌آوریم. در این تحقیق علمی نشان می‌دهیم همبستگی‌های ناموضعی کم، که نامساوی CHSH را کم نقض می‌کنند، با این حال حداکثر کاتورگی را دارند. می‌دانیم که با انجام آزمایشهایی با خروجی‌های دوتایی بر روی دو زیر سیستم حداکثر دو بیت کاتورگی تولید می‌شود. ما نشان می‌دهیم که به ازای حالاتی که دارای درهم‌تنیدگی کمی هستند دارای دو بیت کاتورگی حداکثری هستیم.

واژگان کلیدی: ناموضعی، کاتورگی، نامساوی CHSH، درهم‌تنیدگی، احتمال حدسی.

لیست مقالات مستخرج از پایان نامه

- ۱- عدالتخواه، فاطمه؛ موحدیان، حسین، (۱۳۹۲) "ارتباط میان ناموضعیّت و کاتورگی"، کنفرانس فیزیک محاسباتی - دانشگاه تربیت دبیر شهید رجایی.

فهرست مطالب

| صفحه | عنوان |
|--|--|
| فصل اول: مروری بر نظریه اطلاعات و مفاهیم مقدماتی | |
| ۲ | مقدمه |
| ۳ | ۱-۱ نظریه پردازش کوانتومی اطلاعات..... |
| ۴ | ۲-۱ استفاده از ویژگی‌های سیستم کوانتومی در پردازش اطلاعات..... |
| ۶ | ۳-۱ کاتورگی ذاتی..... |
| فصل دوم: مروری بر مفاهیم ناموضعیّت ، درهم‌تنیدگی و آنروپی | |
| ۹ | مقدمه |
| ۱۰ | ۱-۲ کیوبیت..... |
| ۱۲ | ۲-۲ تعبیری از حالت سیستم..... |
| ۱۳ | ۳-۲ ناموضعیّت کوانتومی..... |
| ۱۴ | ۱-۳-۲ تعبیر دیوید بوهم از قضیه EPR..... |
| ۱۷ | ۲-۳-۲ موضعیّت..... |
| ۱۷ | ۴-۲ درهم‌تنیدگی..... |
| ۱۹ | ۱-۴-۲ حالت‌های درهم‌تنیده بل..... |

| | | |
|----|-------------------------------------|-------|
| ۲۱ | مدل ریاضی درهم‌تنیدگی کوانتمی | ۲-۴-۲ |
| ۲۴ | حالت GHZ | ۳-۴-۲ |
| ۲۵ | حالت W | ۴-۴-۲ |
| ۲۵ | عدم علامت‌دهی | ۵-۲ |
| ۲۶ | قضیه بل | ۶-۲ |
| ۲۷ | اثبات قضیه بل | ۱-۶-۲ |
| ۲۹ | متغیرهای پنهان | ۷-۲ |
| ۳۰ | آنترپی و اطلاعات کوانتمی | ۸-۲ |
| ۳۱ | آنترپی شانون | ۱-۸-۲ |
| ۳۳ | احتمالات شرطی، آنترپی شرطی | ۲-۸-۲ |

فصل سوم: وجود کاتورگی ذاتی در سیستم‌های کوانتمی

| | | |
|----|---|-------|
| ۳۸ | | مقدمه |
| ۳۹ | تولید اعداد تصادفی | ۱-۳ |
| ۴۰ | تمایز میان کاتورگی مطرح شده در فیزیک کوانتمی و کلاسیک | ۲-۳ |
| ۴۴ | رد متغیرهای پنهانی اثباتی بر کاتورگی ذاتی | ۳-۳ |
| ۴۵ | همبستگی‌های EPR | ۱-۳-۳ |

| | | |
|----|----------------------------|-------|
| ۵۴ | آنتروپی اطلاعات | ۲-۳-۳ |
| ۵۵ | همبستگی های GHZ | ۳-۳-۳ |
| ۶۰ | محاسبه میزان کاتورگی | ۴-۳ |
| ۶۵ | انواع کاتورگی | ۵-۳ |
| ۶۶ | کاتورگی سیستم مخلوط | ۱-۵-۳ |

فصل چهارم: ارتباط میان کاتورگی و ناموضعیّت

| | | |
|----|--|------------|
| ۷۰ | | مقدمه |
| ۷۱ | ناموضعیّت و کاتورگی | ۱-۴ |
| ۷۳ | طرح آزمایش بل | ۲-۴ |
| ۷۹ | کاتورگی زیاد به ازای ناموضعیّت کم | ۱-۲-۴ |
| ۸۵ | کاتورگی سراسری زیاد به ازای حالات تقریباً غیر درهم تنیده | ۲-۲-۴ |
| ۸۷ | | نتیجه گیری |
| ۸۸ | | مراجع |

فهرست شکل‌ها

صفحه

| | | |
|----|--|-----|
| ۱۲ | تمایز میان بیت کلاسیک و بیت کوانتمی (کیوبیت)..... | ۱-۲ |
| ۲۲ | مدار کوانتمی ساخت حالات درهم‌تنیده‌ی بل..... | ۲-۲ |
| ۲۹ | نمایشی از آزمایش بل..... | ۳-۲ |
| ۳۶ | نمودار ون برای نمایش آنروپی و ارتباط میان آنها..... | ۴-۲ |
| ۵۳ | احتمال شرطی $P(1 0)$ به ازای S متفاوت..... | ۱-۳ |
| ۵۳ | احتمال شرطی $P(0 1)$ به ازای S متفاوت..... | ۲-۳ |
| ۶۲ | نمایشی از زوایای میان a', a, b', b در آزمایش CH..... | ۳-۳ |
| ۷۲ | حضور Eve به‌عنوان جاسوس در فرآیند QKD..... | ۱-۴ |
| ۷۳ | آزمایش بل به ازای m تا ورودی و r تا خروجی..... | ۲-۴ |

فصل اول

مروری بر نظریه اطلاعات و مفاهیم مقدماتی

مقدمه

فرآیند پردازش اطلاعات در حوزه‌ی فیزیک کلاسیک و فیزیک کوانتومی علی‌رغم شباهت‌های فراوان دارای تفاوت‌هایی نیز می‌باشد. همانطور که حالت کلاسیک حاوی اطلاعات، تحت پردازش و انتقال قرار می‌گیرد در پروتکل‌های اطلاعات و محاسبات کوانتومی^۱ حالت کوانتومی تحت نگاهت‌های کوانتومی مناسب قرار می‌گیرد. واحد اطلاعات در هر دوی این حوزه‌ها از یکدیگر متفاوت می‌باشند. با ورود به حوزه‌ی کوانتومی خیلی از مفاهیمی که در کلاسیک در نظر می‌گیریم نقض می‌شوند. و این یکی از دلایل مشکل بودن مکانیک کوانتومی می‌باشد.

استفاده از پردازنده‌های موازی، عدم امکان نسخه‌برداری^۲، و یا کاتوره‌ای بودن این سیستم‌ها سبب گرایش به سمت محاسبات کوانتومی و برتری محاسبات کوانتومی می‌شود. استفاده از ویژگی کاتورگی ذاتی این سیستم‌ها سبب تولید اعدادی با کیفیت بالا از لحاظ امنیتی می‌شود لذا برای تولید اعداد کاملاً کاتوره‌ای بسیار مناسب می‌باشند. هدف این است که با استفاده از نقض نامساوی بل به میزان کمی کاتورگی پی‌ببریم. و رابطه‌ی میان کاتورگی ذاتی و میزان نقض نامساوی بل را محاسبه کنیم.

^۱Quantum computing and information

^۲No cloning

۱-۱ نظریه پردازش کوانتومی اطلاعات

علوم اطلاعات و محاسبات کوانتومی عبارت است از فرآیندهای پردازش اطلاعاتی که در آنها از خاصیت کوانتومی مواد استفاده می‌شود. پردازش اطلاعات نیز شامل ذخیره‌سازی، فراخوانی، انتقال و تغییرات حساب شده در اطلاعات (از قبیل فشرده سازی، تصحیح خطا، محاسبه و رمز کردن) می‌باشد.

در علوم اطلاعات و محاسبات کوانتومی در مقایسه با پردازش اطلاعات کلاسیک، علاوه بر حالات کلاسیک (حالات همواره متمایز مانند بیت‌ها) از حالات کوانتومی نیز استفاده می‌شود، که در نهایت با انجام اندازه‌گیری بر روی آن حالت کوانتومی نتیجه‌ی پردازش بدست می‌آید. در واقع همانطور که در علوم اطلاعات و محاسبات کلاسیک حالت کلاسیک حاوی اطلاعات، تحت پردازش و انتقال قرار می‌گیرد، در پروتکل‌های اطلاعات و محاسبات کوانتومی تحت نگاشت‌های کوانتومی مناسب قرار می‌گیرد و یا می‌توان حالت کوانتومی را از نقطه‌ای از فضا به نقطه‌ای دیگر منتقل کرد. این کار را می‌توان با انتقال مستقیم سیستم کوانتومی و یا بدون انتقال سیستم و با فرآیندهایی نظیر دورنگاری^۳ یا معاوضه^۴ درهم‌تنیدگی حالت کوانتومی ورودی انجام داد.

همانطور که واحد اطلاعات در فیزیک کلاسیک بیت^۵ می‌باشد که یک واحد گسسته می‌باشد، در مکانیک کوانتومی واحد اطلاعات کیوبیت است که به صورت پیوسته می‌باشد.

برای اعمال یک نگاشت کوانتومی دلخواه از گیت‌های تک‌کیوبیتی (مانند σ_x و σ_y) و دو کیوبیتی (مانند C-Not) استفاده می‌شود. مشابه با بیت‌ها در فرآیند اطلاعات کلاسیکی ما کیوبیت‌ها را در فرآیند اطلاعات کوانتومی داریم، علاوه بر آن نیز تمامی مفاهیم مبنایی که در شاخه‌های اصلی

³ Teleportation

⁴ Entanglement swapping

⁵ Bit

علوم و اطلاعات کلاسیک توسعه یافته‌اند، در علوم اطلاعات و محاسبات کوانتومی معادل‌سازی شده‌اند. با ورود به حوزه‌ی فیزیک کوانتومی از مفاهیمی استفاده می‌شود که معادل آن را در کلاسیک نداریم، و این یکی از دلایل مشکل بودن مفاهیم مکانیک کوانتومی می‌باشد.

۱-۲ استفاده از ویژگی‌های سیستم‌های کوانتومی در پردازش اطلاعات

با گذشت زمان و کوچکتر شدن ابعاد ترانزیستورها به جایی می‌رسیم که عناصر، از یک اتم بزرگتر نخواهند بود. در این ابعاد اتمی مشکل این است که نمی‌توان سیستم را با قوانین فیزیک کلاسیک توجیه کرد، بلکه باید از اصول مکانیک کوانتومی برای فهم چنین سیستم‌های میکروسکوپیکی استفاده کرد. لذا لزوم ساخت کامپیوترهای کوانتومی که اساس کارشان مکانیک کوانتومی است، توسط ریچارد فاینمن در اوایل دهه ۱۹۸۰ مطرح شد. در این کامپیوترها زمان لازم برای انجام یک محاسبه با افزایش پردازنده‌های موازی کاهش می‌یابد.

در طرف مقابل پردازنده‌های کلاسیک اطلاعات، پردازنده‌های کوانتومی قرار دارند. یک حالت کوانتومی از مجموعه‌ای از حالات متمایز تشکیل شده است. اطلاعات نهایی کسب شده از سیستم کوانتومی به وسیله‌ی اندازه‌گیری کلاسیک صورت می‌پذیرد. ارتباط ما با دنیای کوانتومی توسط اندازه‌گیری بوده، یعنی در اصل اطلاعات بدست آمده توسط ما کلاسیکی است.

در اینجا مثال ساده‌ای از حالت چند کیوبیتی را بررسی می‌کنیم. با در نظر گرفتن یک سیستم کوانتومی n کیوبیتی حداکثر تعداد حالات متمایز از یکدیگر 2^n خواهد بود. اگر حالت اولیه‌ی سیستم بدین صورت باشد:

$$|0\rangle_1 \otimes |0\rangle_2 \otimes \dots \otimes |0\rangle_n \quad (1-1)$$

آنگاه با اعمال n عمل یکانی موضعی به صورت زیر:

$$U^{(i)} = I^{(1)} \otimes I^{(2)} \otimes \dots \otimes H^{(i)} \dots \otimes I^n \quad ; \quad 1 \leq i \leq n \quad (2-1)$$

بر روی n کیوبیت، که H به صورت زیر تعریف می شود:

$$\begin{aligned} H |0\rangle &= \frac{|0\rangle + |1\rangle}{\sqrt{2}} \\ H |1\rangle &= \frac{|0\rangle - |1\rangle}{\sqrt{2}} \end{aligned} \quad (3-1)$$

خواهیم داشت:

$$(4-1)$$

$$\begin{aligned} |\psi\rangle &= U^{(1)}U^{(2)} \dots U^{(j)} \dots U^{(n)} = (H^{(1)} \otimes H^{(2)} \otimes \dots \otimes H^{(j)} \dots \otimes H^{(n)}) (|0\rangle_1 \otimes |0\rangle_2 \otimes \dots \otimes |0\rangle_n) \\ &= \left(\frac{|0\rangle + |1\rangle}{\sqrt{2}}\right) \otimes \left(\frac{|0\rangle + |1\rangle}{\sqrt{2}}\right) \otimes \dots \otimes \left(\frac{|0\rangle + |1\rangle}{\sqrt{2}}\right) H = \frac{1}{2^{\frac{n}{2}}} (|000\dots 0\rangle + |000\dots 1\rangle + \dots + |111\dots 1\rangle) \end{aligned}$$

در نتیجه تنها با n عمل موضعی، برهم نهی از 2^n حالت متمایز، و با احتمال یکسان تولید شد. که در

یک بار پردازش چنین خروجی خواهد داشت [۱].

ویژگی دیگری که یک حالت کوانتمی دارد این است که در حالت کلی امکان تشخیص یک حالت مجهول وجود ندارد، و در صورت اندازه گیری در روی یک حالت کوانتمی مجهول آن حالت به اصطلاح ریزش^۶ می کند. علاوه بر این امکان نسخه برداری از یک حالت کوانتمی وجود ندارد. از یک نظر این نتیجه محدودیت ایجاد می کند زیرا که موجب می شود تا امکان معادل سازی آن دسته از پروتکل های اطلاعات کلاسیک، که مبتنی بر نسخه برداری از اطلاعات است، در پردازش اطلاعات کوانتمی از بین برود.

⁶ Colaps

سیستم‌های کوانتومی به صورت ذاتی کاتوره‌ای هستند، بنابراین برای استفاده در الگوریتم‌های تصادفی بسیار مناسب می‌باشند. در سیستم‌های کلاسیک برای پیاده‌سازی الگوریتم‌های تصادفی باید بخش مستقلی را به روند کاتوره‌ای اختصاص دهند بنابراین عملاً تولید اعداد تصادفی یکی از چالش‌های پروتکل‌های تصادفی محسوب می‌شود.

بی‌شک بزرگترین دستاورد علمی قرن گذشته مکانیک کوانتومی است. فرمولبندی نهایی مکانیک کوانتومی به شکل ماتریسی آن توسط هایزنبرگ و به صورت مکانیک موجی توسط شرودینگر به ترتیب در سال‌های (۱۹۲۵) و (۱۹۲۶) ارائه گردید. البته دو شکل موجی و ماتریسی ارائه شده برای مکانیک کوانتومی دو فرمولبندی متفاوت ریاضی برای نمایش یک دینامیک واحد بودند که در سال ۱۹۲۶ هم‌ارزی این دو تئوری توسط شرودینگر و دیراک نشان داده شد [۱].

۳-۱ کاتورگی ذاتی^۷

همانطور که بیان شد یکی از ویژگی‌های مهم سیستم‌های کوانتومی کاتوره‌ای بودن این سیستم‌هاست. البته این کاتورگی که در مکانیک کوانتومی مطرح می‌شود متفاوت از کاتورگی مطرح شده در فیزیک کلاسیک است. در دنیای کلاسیک کاتورگی خالص وجود ندارد. در واقع می‌توان گفت در دنیای کلاسیک کاتورگی نتیجه‌ای از نقص موجود در آماده‌سازی دستگاه یا سیستم است، و یا از کمبود اطلاعات ما ناشی می‌شود. بنابراین این ویژگی ذاتی تصادفی سیستم‌های کوانتومی سبب می‌شود تا در تولید اعداد کاملاً تصادفی از این سیستم‌ها استفاده کنیم. چرا که این سیستم‌ها می‌توانند غیر قابل پیش‌بینی‌ترین اعداد را برای ما تولید کنند. عبارات بل دسته عبارت‌هایی هستند که

⁷ Intrinsic randomness

با تکیه بر مکانیک کلاسیک بوجود آمده‌اند. در واقع یک عبارت بل بر اساس نظریه متغیرهای پنهان⁸ تشکیل شده است. هر گاه یک نامساوی بل نقض شود آنگاه الزاما دارای کاتورگی هستیم. در ابتدای امر فکر می‌کنیم که رابطه‌ی مستقیمی میان ناموضعییت و کاتورگی برقرار است یعنی هر چه میزان نقض نامساوی بل بیشتر باشد آن‌گاه کاتورگی سیستم نیز بیشتر خواهد بود. با بررسی بیشتر به این نکته پی می‌بریم که رابطه‌ی میان نقض نامساوی بل و میزان کاتورگی به همین سادگی که اشاره شد نمی‌باشد و همواره رابطه‌ی مستقیمی میان اینها برقرار نیست. یعنی گاه پیش می‌آید که به ازای نقض ناچیزی از نامساوی بل میزان حداکثری کاتورگی داریم، و یا به ازای یک سیستم با درهم‌تنیدگی کم دارای حداکثر کاتورگی هستیم. البته میزان این حداکثر کاتورگی بستگی به تعداد طرفین سیستم و تعداد کیوبیت‌ها دارد.

⁸ Hidden variable

فصل دوم

مروری بر مفاهیم ناموضعیّت، درهم تنیدگی و

آنتروپی

مقدمه

همبستگی‌ها^۹ شامل سه دسته همبستگی‌های کوانتومی، همبستگی‌های کلاسیک، و همبستگی‌های عدم علامت‌دهی^{۱۰} تقسیم می‌شوند [۲]. در اینجا همبستگی‌های مد نظر ما، همبستگی‌های کوانتومی هستند. این دسته همبستگی‌ها ناموضع‌اند. یکی از عجیب‌ترین و کلیدی‌ترین ویژگی‌های همبستگی‌های کوانتومی، درهم‌تنیدگی است، که علی‌رغم تمرکز بسیار زیاد دانشمندان بر روی این ویژگی اسرارآمیز، شناخت کافی از آن حاصل نشده است. این ویژگی وسوسه‌های زیادی را برای ارسال آنی اطلاعات برانگیخت. تنها در صورت استفاده از حالت‌های درهم‌تنیده امکان برخی از مسائل که توسط محاسبه‌گر کلاسیک انجام پذیر نمی‌باشد وجود دارد.

پدیده شگفت‌انگیز درهم‌تنیدگی نتایجی را در رایانه‌های کوانتومی به دنبال داشته است. با استفاده از موادی که می‌توانند این خاصیت را در مقیاس‌های میکروسکوپی از خود نشان دهند می‌توان برای کار در فرآیند اطلاعات و پردازش کوانتومی استفاده کرد.

⁹Correlations

¹⁰No-signalling correlations

۱-۲ کیوبیت

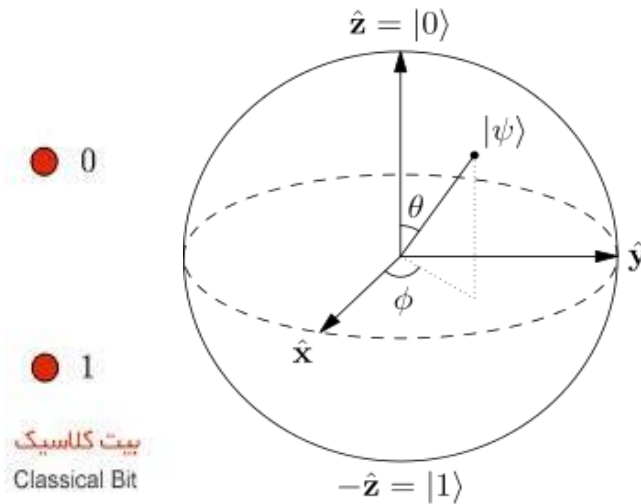
بیت یک مفهوم علمی در محاسبات و اطلاعات کلاسیکی است. همتای بیت کلاسیک در محاسبات کوانتمی، کیوبیت را داریم. کیوبیتها اجسام ریاضی انتزاعی هستند، که دارای ویژگیهای خاصی میباشند، که این ویژگیها باعث می شوند تا یک نظریه کلی از محاسبات کوانتمی و اطلاعات کوانتمی را بر اساس آنها بسازیم. یک کیوبیت حالت برهم نهی است از 0 و 1 که در اینجا از نمادگذاری استاندارد دیراک ($| \rangle$) برای نشان دادن این 0 و 1ها استفاده می شود. تفاوت میان بیت و کیوبیت این است که یک کیوبیت می تواند همزمان در حالت 0 و 1 باشد که اغلب به آن برهم نهی^{۱۱} می گوئیم و به فرم کلی زیر آن را نشان می دهیم:

$$|\psi\rangle = \alpha|0\rangle + \beta|1\rangle \quad (۱-۲)$$

α و β اعداد مختلط می باشند. حالت یک کیوبیت یک بردار در یک فضای برداری مختلط دو بعدی است. حالت های مخصوص $|0\rangle$ و $|1\rangle$ حالت های پایه و عمود بر هم هستند.

زمانی که ما یک حالت را اندازه می گیریم با احتمال $|\alpha|^2$ آن را در $|0\rangle$ پیدا می کنیم و با احتمال $|\beta|^2$ آن را در $|1\rangle$ می یابیم. به صورت طبیعی $|\alpha|^2 + |\beta|^2 = 1$ زیرا مجموع احتمالات باید 1 شود. در واقع می توان گفت کیوبیت به 1 بهنجار می باشد. برای مثال فرض کنید حالت سیستم را به صورت $|\psi\rangle = \frac{|0\rangle + |1\rangle}{\sqrt{2}}$ داشته باشیم. بنابراین سیستم با احتمال $(\frac{1}{\sqrt{2}})^2$ در حالت $|1\rangle$ یافت می شود و با احتمال $(\frac{1}{\sqrt{2}})^2$ نیز در حالت $|0\rangle$ یافت می شود.

¹¹ Super position



شکل (۲-۱): تمایز میان بیت کلاسیک و بیت کوانتومی

عدم تطابق میان واقعیت با سیستم‌های کوانتومی بررسی سیستم‌های کوانتومی را دشوار نموده است. نتایج حاصله از یک حالت کوانتومی به صورت آزمایشگاهی قابل بررسی است. یک بیت کلاسیک همانند یک سکه‌ی ایده‌آل است، که در پرتاب آن نتیجه یا شیر می‌آید یا خط. در حالی که یک کیوبیت می‌تواند در حالت پیوسته‌ای از $|0\rangle$ و $|1\rangle$ قرار بگیرد و بعد از اندازه‌گیری حالت کلی سیستم در یکی از دو حالت $|0\rangle$ یا $|1\rangle$ قرار خواهد گرفت. یک کیوبیت می‌تواند از راه‌های مختلفی ساخته شود، ممکن است جهت‌های مختلف قطبش یک فوتون باشد و یا حالات مختلف چرخش یک الکترون، و یا ممکن است حالت پایه و برانگیخته یک اتم باشد، که به ترتیب با $|0\rangle$ و $|1\rangle$ نشان داده می‌شود که در مورد اخیر اتم با ساطع کردن نور و یا دریافت انرژی در هر یک از حالات قرار می‌گیرد. ما می‌توانیم رابطه (۲-۱) را به صورت زیر نیز نمایش دهیم:

$$|\psi\rangle = \cos\frac{\theta}{2}|0\rangle + e^{i\varphi}\sin\frac{\theta}{2}|1\rangle \quad (2-2)$$

که این رابطه به نوعی نمایش هندسی حالتان را نشان می‌دهد که رابطه‌ی بهنجارش را نیز رعایت می‌کند. اعداد θ و φ نیز به ترتیب زاویه قطبی و سمتی می‌باشند. این حالت یک نقطه را بر روی کره

سه بعدی واحد (که به آن کره بلاخ می‌گوییم) تعریف می‌کند. این شکل یک تصویر ریاضی دقیق از حالت یک کیوبیت تنهاست.

با توجه به رابطه (۱-۲) چون مقدار α و β می‌تواند هر مقدار پیوسته‌ای باشد بنابراین یک کیوبیت می‌تواند هر نقطه‌ای روی کره بلاخ باشد از این رو یک کیوبیت حاوی اطلاعات بسیار زیادی خواهد بود. لذا کاربرد کیوبیت‌ها در علم اطلاعات می‌تواند بسیار با اهمیت باشد [۳].

۲-۲ تعبیری از حالت سیستم

یک سیستم کوانتمی را تنها می‌توان بر اساس احتمال حضور در حالات متمایز نشان داد. و این حالات متمایز قبل از اندازه‌گیری واقعیت خارجی ندارند، بلکه همه‌ی آنها حالات متمایزی هستند که ممکن است نتیجه‌ی اندازه‌گیری بر روی سیستم باشند، که با احتمال متفاوت ممکن است اتفاق بیافتند. بنابراین متغیرهای کوانتمی وابسته به مشاهده هستند. و به این دلیل است که آنها را اغلب اوقات مشاهده پذیر^{۱۲} می‌نامیم.

یک حالت کوانتمی یک مفهوم انتزاعی است که حقیقت فیزیکی ندارد. مگر آنکه بتوانیم نوعی شی فیزیکی را تصور کنیم که متفاوت از اشیا کلاسیک موج یا ذره باشد که تصور این امر غیر ممکن است. مکانیک موجی یک معادله موج بدون امواج واقعی ارائه می‌دهد و مکانیک کوانتم اجازه محاسبه گذارهای اتمی، بدون نمایش فضایی این گذارها (مسیرها) را به ما می‌دهد. تابع موج یا تابع حالت، که به عنوان توصیف حالت فیزیکی به کار گرفته می‌شود، نمی‌تواند به‌عنوان یک نمایش مستقیم از حالت فیزیکی در نظر گرفته شود. ارتباط تابع حالت با حالت فیزیکی، تنها به طور قراردادی می‌باشد، و مانند

¹² Observable

رابطه بین دامنه موج و خود موج است. گرچه معادله مشابهی برای هردو برقرار است، اما دارای معانی فیزیکی متفاوتی هستند.

بور عقیده داشت ریاضیات به کار رفته در فیزیک کلاسیک محدود به اعداد حقیقی است، در حالی که فیزیک کوانتومی ضرورتاً از عدد موهومی خالص $i=\sqrt{-1}$ که در معادلات شرودینگر و نیز روابط عدم قطعیت هایزنبرگ بین کمیات مزدوج ظاهر می شود استفاده می کند.

هنگامی که مفاهیم جدیدی وارد فیزیک می شوند، در یک غالب ریاضی به کار گرفته می شوند. تفاوت عمده بین محدوده های فیزیک کلاسیک و فیزیک کوانتومی، در ماهیت فیزیکی ریاضیات به کار گرفته شده نیست، زیرا که آنها تنها یک ابزار هستند. مفاهیم ریاضی و ارتباط آنها در فیزیک کلاسیک به طور مستقیم به موجوداتی ارجاع داده می شوند که وجود فیزیکی و خواص فیزیکی دارند، در حالی که در بیان استاندارد مکانیک کوانتومی مفاهیم ریاضی تنها به صورت غیر مستقیم به فیزیک ارجاع داده می شوند. تابع حالت صریحاً نشان دهنده ی یک سیستم نیست بلکه نشان دهنده ی دانشی است که می توان از طریق برهم کنش با دستگاه اندازه گیری بدست آورد.

۲-۳ ناموضعیت کوانتومی

پس از ارائه ی مکانیک کوانتومی، اینشتین به مقابله با برخی از مهم ترین مبانی این نظریه پرداخت. اینشتین می خواست با طرح یک آزمایش ذهنی نشان دهد که روابط عدم قطعیت هایزنبرگ قابل نقض است. پس از آن اینشتین تمام همتش را صرف اثبات ناقص بودن مکانیک کوانتومی کرد. هدف کلی مقاله EPR نیز همین می باشد.

علم مکانیک را یک سری از اصول و قوانین در نظر می‌گیریم که حرکت اجسام را به صورت علی تبیین می‌کنند، و مباحثی مانند، برخورد، مکان، سرعت و مسیر ذرات در آن دارای معنی می‌باشند. اصول موضوعه‌ای که در فرمول‌بندی مکانیک کوانتومی به کار می‌رود متفاوت با اصولی است که برای فرمول‌بندی مکانیک کلاسیک به کار می‌رود. این اصول، ناموضعییت را در فیزیک کوانتومی وارد می‌کند که مشابه آن را، در مکانیک کلاسیک نداریم. ناموضعییت کوانتومی در سیستم‌های درهم‌تنیده به خوبی نشان داده می‌شود.

در حال حاضر نظریه کوانتومی بسیار گسترده‌تر از مکانیک کوانتومی است. و نه تنها شامل مدل‌های دیگری برای خواص هسته‌ای و اتمی است، از نقطه نظر بنیادی‌تر، به نظریه میدان کوانتومی بسط یافته است. و از الکترودینامیک کوانتومی به نظریه‌های پیمانه‌ای الکتروضعیف و کرومودینامیک بسط یافته. با وجود توسعه‌های بنیادی‌تر فیزیک کوانتومی، مکانیک کوانتومی همچنان چارچوب فکری پایه‌ای برای تحقیق در تمام انواع پدیده‌های کوانتومی است.

۲-۳-۱- تعبیر دیوید بوهم از قضیه EPR^{۱۳}

اسپین ذره را با دستگاهی موسوم به اشترن گراخ اندازه می‌گیرند. چنین دستگاهی تنها یک مولفه اسپین، که در امتداد محور عمودی آنالیزور است را اندازه می‌گیرد. خاطرنشان می‌شود عملگرهای مولفه‌های X و Z اسپین با هم جابجاپذیر نمی‌باشند:

$$[S_x, S_z] \neq 0 \quad (۳-۲)$$

بنابراین اندازه‌گیری‌های S_x و S_z از رابطه عدم قطعیت پیروی می‌کنند:

¹³ Einstein, Podolsky and Rosen

$$\Delta S_x \cdot \Delta S_z \neq 0$$

(۴-۲)

بدین ترتیب امکان ندارد دستگاهی بتواند هر سه مولفه‌ی S_x و S_z و S_y را هم‌زمان اندازه بگیرد. در حالی که EPR مدعی است که می‌توان همه این مولفه‌ها را با به کارگیری دستگاه اشترن-گرلاخ با هر دقتی اندازه گرفت.

دیوید بوهم برای تشریح مقاله EPR یک منبع دو ذره‌ای در آنالیزور اشترن-گرلاخ را در نظر گرفت. منبع دو ذره‌ای ابزاری است که دو ذره شلیک می‌کند به طوری که اسپین کل آنها صفر و اسپین هر ذره $\frac{1}{2}$ می‌باشد. لذا جهت اسپین هر ذره مخالف جهت اسپین ذره دیگر است. یکی از ذرات به سمت آنالیزور اول و دیگری به سمت آنالیزور دوم ارسال می‌شود. این ذرات در مکان‌های دور از هم در فضا هستند. مشاهده‌گر اولی در مکان A و مشاهده‌گر دومی در مکان B قرار دارند.

مشاهده‌گر آلیس در مکان A و مشاهده‌گر باب در مکان B می‌توانند آنالیزور خود را به هر طرف که بخواهند جهت دهند. وقتی آزمایش شروع می‌شود منبع یک جفت ذره تولید می‌کند و آنها را به طرف بیرون یعنی به طرف دو آزمایشگر گسیل می‌دارد. فرض کنید در ابتدا آلیس آنالیزور اشترن-گرلاخ خود را در جهت \hat{a} گرفته باشد که عمود بر سطح مسیر ذره‌ای است که به طرف او می‌رود (در جهت عمودی به سمت بالا یعنی در جهت Z نشانه رفته باشد) وقتی ذره وارد آنالیزور A می‌شود دستگاه یکی از دو جواب اسپین بالا یا اسپین پایین را می‌دهد. اگر در این اندازه‌گیری خاص اسپین بالا نتیجه شود چون جهت اسپین هر ذره مخالف جهت اسپین ذره دیگر است، آلیس نتیجه می‌گیرد که ذره باب در امتداد محور Z، اسپین پایین دارد. بدین طریق آلیس مولفه‌ی Z اسپین ذره‌ای را که به سمت باب می‌رود را اندازه گرفته است. مشاهده‌گرهای A و B اگر بخواهند می‌توانند این نتیجه را با جهت‌گیری آنالیزور مشاهده‌گر B (\hat{b}) در امتداد Z محک بزنند، یعنی در ابتدا مشاهده‌گر B اندازه‌گیری خود را انجام دهد و جهت اسپین آلیس را حدس بزند.

در مقاله EPR تاکید شده که به علت فاصله بسیار زیاد مکان‌های A و B ، مقدار اندازه‌گیری شده یک کمیت در یک سیستم نمی‌تواند از اندازه‌گیری کمیتی روی سیستم دیگر تاثیرپذیر باشد. بنابراین نتیجه‌ای که آلیس بدست می‌آورد نمی‌تواند هیچ اثری بر روی اسپین ذره باب داشته باشد. از این نکته EPR نتیجه می‌گیرند که حتی پیش از اینکه آلیس اندازه‌گیری خود را انجام دهد ذره باب در امتداد محور Z باید اسپین داشته باشد. به منظور دانستن اسپین ذره باب مسلماً اندازه‌گیری آلیس لازم است اما این اندازه‌گیری نمی‌تواند بر ذره باب اثری بگذارد. تنها کار آلیس این بوده که واقعیت موجود از پیش را پیدا کند.

حال فرض کنید انتخاب آلیس سمت‌گیری متفاوتی از آنالیزور قبلی‌اش داشته باشد، مثلاً به جای مولفه Z مولفه X را انتخاب کند، دقیقاً همان استدلال صادق است. یعنی آلیس اکنون می‌تواند مولفه X اسپین ذره‌ای را که به سمت ذره باب می‌رود اندازه بگیرد و اطمینان داریم که این مولفه بایستی پیش از اندازه‌گیری مشاهده‌گر A وجود داشته باشد. بدین‌سان EPR نتیجه می‌گیرد که هر دو متغیر مکملی که ذره باب را توصیف می‌کند (یعنی S_x ، S_z) وجود خارجی دارند و دارای مقدار معینی هستند. در حالی که بنا بر اصل عدم قطعیت آنها نمی‌توانند هم‌زمان مشخص شوند. این استدلال را با اندکی تغییر می‌توان بیان کرد. اگر مشاهده‌پذیر A آنالیزور خود را در امتداد مولفه Z و مشاهده‌گر B آنالیزور خود را در امتداد X جهت دهند، با این استدلال مشاهده‌گر A می‌تواند به اسپین ذره مشاهده‌گر B در امتداد Z پی‌ببرد. اما اکنون مشاهده‌گر B می‌تواند مستقیماً اسپین ذره خود را در امتداد محور X اندازه بگیرد، یعنی باز هم در مورد دو متغیر مکمل بر خلاف اصول مکانیک کوانتومی می‌توان به نتایج مشخصی دست یافت. بنابر نظر EPR یا مکانیک کوانتومی ناقص است چون نمی‌تواند S_x و S_z را به‌صورت هم‌زمان مشخص کند، یا این ذرات که به‌صورت فضاگونه از یکدیگر جدا شده‌اند مستقل از هم نیستند. و چون نمی‌توانست وجود ذرات درهم‌تنیده‌ی ناموضع را بپذیرد اظهار داشت که نظریه‌ی کوانتومی ناقص است [۵۴].

۲-۳-۲ وضعیت

وضعیت بدین معناست که نتیجه و یا نتیجه احتمال یک اندازه‌گیری که روی قسمتی از یک سیستم مرکب با حالت $|\psi\rangle$ (سیستم ۱ + سیستم ۲) انجام می‌شود مستقل از جنبه‌های مولفه‌های قسمت‌های دیگر است که آزمایشگر برای اندازه‌گیری انتخاب می‌کند این به هیچ وجه به این معنی نیست که نتوان با بررسی سیستم ۱ اطلاعاتی در مورد سیستم ۲ بدست آورد.

حالت $|\psi\rangle$ شامل اطلاعات مشترک مربوط به هر دو سیستم است و اندازه‌گیری روی یکی از این سیستم‌ها بخشی از این اطلاعات را آشکار می‌سازد. همچنین اگر یک اندازه‌گیری روی یک قسمت از سیستم مرکب انجام شود باعث اغتشاش موضعی آن قسمت می‌گردد و این با وضعیت مغایرتی ندارد [۶].

۲-۴ درهم‌تنیدگی^{۱۴}

درهم‌تنیدگی کوانتومی یکی از منابع مهم مکانیک کوانتومی می‌باشد. با به کارگیری حالات درهم‌تنیده شده‌ی کوانتومی قادر به انجام اموری می‌شویم که در دنیای کلاسیک سخت یا غیر ممکن هستند. حالت‌های درهم‌تنیده نتیجه‌ی شگفت‌انگیزی را دربردارند. در این حالات چنانچه روی یکی از جفت ذرات اندازه‌گیری انجام دهیم با در نظر گرفتن اندازه‌گیری در جهت خاصی وضعیت ذره دیگر از حالت نامشخصی که قبل از اندازه‌گیری داشت در آمده و به وضعیت معین و ثابتی می‌رسد که توسط آزمایش ما تعیین می‌شود. این تاثیر حتی در وضعیتی که اندازه‌گیری‌های آلیس و باب فاصله فضا گونه داشته باشند نیز برقرار است.

اگر دو ذره در هم‌تنیده میلیونها کیلومتر از هم دور باشند و روی یکی از آن دو ذره عمل اندازه‌گیری انجام دهیم در همان لحظه می‌توان اطلاعات ذره دوم را بدست آورد. اما می‌توان نشان داد

¹⁴ Entanglement

که آلیس با اندازه‌گیری‌های خود تنها می‌تواند نتایج آزمایش‌های باب را پیش‌بینی کند و به هیچ وجه نمی‌تواند علامت یا سیگنالی را برای باب مخابره کند (عدم علامت دهی).

برای اثبات این مطلب فرض کنید حالت $|\psi\rangle$ بین آلیس و باب به اشتراک گذاشته شده و دارای عملگر چگالی^{۱۵} زیر می‌باشد:

$$\rho = |\psi\rangle\langle\psi| \quad (۵-۲)$$

بنابراین ماتریس چگالی ذره‌ای که در دست باب خواهد بود به صورت زیر است:

$$\rho_B = Tr_A(|\psi\rangle\langle\psi|) \quad (۶-۲)$$

حال فرض کنید که آلیس یک اندازه‌گیری تصویری با عملگرهای $\{P_m\}$ بر روی ذره‌ی خود انجام دهد در این صورت ماتریس چگالی کل سیستم به صورت زیر تبدیل می‌شود:

$$\rho' = \sum_m (P_m \otimes I) |\psi\rangle\langle\psi| (P_m^\dagger \otimes I) \quad (۷-۲)$$

بعد از اندازه‌گیری، ماتریس چگالی ذره‌ای که در دست باب است برابر خواهد بود با:

$$\rho'_B = Tr_A(\rho') = Tr_A\left(\sum_m (P_m \otimes I) |\psi\rangle\langle\psi| (P_m^\dagger \otimes I)\right) \quad (۸-۲)$$

از خاصیت دوره‌ای بودن تابع رد (که در آن مطابق رابطه‌ی زیر، عملگرهای X و Z روی فضای A عمل کرده و عملگر Y نیز روی هر دو فضای A و B عمل می‌کند) در رابطه‌ی بالا استفاده می‌کنیم:

$$Tr_A((X \otimes I)Y(Z \otimes I)) = Tr_A((Z \otimes I)(X \otimes I)Y) \quad (۹-۲)$$

بنابراین رابطه بالا را می‌توان به شکل زیر بازنویسی کرد:

¹⁵ Density operator

$$\rho'_B = \text{Tr}_A \left(\sum_m (P_m^\dagger \otimes I)(P_m \otimes I) |\psi\rangle\langle\psi| \right) = \text{Tr}_A (|\psi\rangle\langle\psi|) = \rho_B \quad (10-2)$$

از این رو حالت ذره‌ای که در دست باب است با اندازه‌گیری‌های آلیس تغییر نمی‌کند و در نتیجه اندازه‌گیری‌های آلیس به هیچ وجه باعث تغییر در حالت ذره‌ی باب نخواهد شد و در نتیجه هیچ نوع علامت یا اطلاعی به باب مخابره نمی‌شود.

درهم‌تنیدگی در کلاسیک مانند شکستن یک سکه به دو تکه است که با مشاهده یک نصفه از آن می‌توان به شکل و مشخصات تکه‌ی دیگر پی‌برد، زیرا دو تکه به صورت مشترک اطلاعات سکه کامل را دربردارند. به عبارتی مشاهده یک تکه از سکه مشخصات تکه دیگر را به طور کامل روشن می‌سازد. اینشتین معتقد بود ارتباط میان این دو تکه درهم‌تنیده توسط متغیرهای مخفی برقرار می‌شود که ما هیچ اطلاعاتی راجع به آنها نداریم.

پدیده شگفت‌انگیز درهم‌تنیدگی تحول عظیمی را در تئوری مکانیک کوانتومی بوجود آورده و به تبع آن نتایجی را در رایانه‌های کوانتومی به دنبال داشته است. از نتایج بسیار مهم درهم‌تنیدگی کوانتومی نقض موضعیت است.

۲-۴-۱ حالت‌های درهم‌تنیده‌ی بل

سیستم دو قسمتی، سیستمی است که شامل دو زیرسیستم باشد. یک مثال از این سیستم، زمانی است که دو مشاهده‌گر آلیس و باب هر کدام دارای یک ذره هستند و بر روی ذره‌ی مربوط به خود اندازه‌گیری انجام می‌دهند. فضای هیلبرت مربوط به چنین سیستمی به صورت $(H_A \otimes H_B)$ یعنی ضرب تانسوری حاصل از دو زیر سیستم است.

یک مثال از سیستم‌های دو قسمتی حالت‌های بل هستند که به آنها حالات EPR هم می‌گویند به حالت $|\beta_{11}\rangle$ (تکتایی^{۱۶}) می‌گوییم که دارای اسپین ۰ است و به حالت $|\beta_{01}\rangle$ به همراه حالت $|00\rangle$ و $|11\rangle$ حالت‌های سه‌گانه^{۱۷} می‌گوییم ($m_s = \pm 1, 0$) که دارای اسپین ۱ می‌باشند. این حالات به فرم کلی زیر نمایش داده می‌شوند:

$$|\beta_{ab}\rangle = \frac{|0b\rangle + (-1)^a |1\bar{b}\rangle}{\sqrt{2}} \quad (11-2)$$

در عبارت بالا a را بیت فاز و b را بیت پارته می‌نامیم (\bar{b} مقدار عکس b را بیان می‌کند برای مثال چنانچه مقدار $b = 1$ آنگاه $\bar{b} = 0$).

هر کدام از دو ذره دارای اسپین $\frac{1}{2}$ می‌باشند. اگر آلیس اندازه‌گیری انجام ندهد آنگاه باب با احتمال $\frac{1}{2}$ ذره را در جهت مثبت و یا منفی Z اندازه‌گیری می‌کند. اگر مشاهده‌گر آلیس با اعمال عملگر S_z بر روی ذره خود اسپین ذره را مثبت بدست بیاورد آنگاه مشاهده‌گر باب با قطعیت مقدار اسپین ذره خود را منفی بدست می‌آورد و همین‌طور بالعکس، یعنی چنانچه مشاهده‌گر آلیس عملگر S_z را بر روی ذره مربوط به خود اعمال کند و مقدار منفی بدست آورد مشاهده‌گر باب با قطعیت مقدار اسپین ذره خود را مثبت بدست می‌آورد.

در ادامه فرض کنید مشاهده‌گر آلیس در انتخاب جهت اندازه‌گیری آزاد باشد و بتواند عملگر S_x یا S_z را بر روی ذره‌ی خود اعمال کند، در حالی که مشاهده‌گر باب ملزم به اعمال عملگر S_x باشد. حال اگر مشاهده‌گر آلیس عملگر S_x را بر روی ذره خود اعمال کند مشاهده‌گر باب با قطعیت جهت اسپین ذره‌ی خود را درمی‌یابد در حالی که اگر مشاهده‌گر آلیس عملگر S_z را بر روی ذره‌ی خود اعمال کند، مشاهده‌گر باب با احتمال $\frac{1}{2}$ اسپین خود را در جهت مثبت یا منفی محور Xها اندازه می‌گیرد.

¹⁶Singlet
¹⁷Triplet

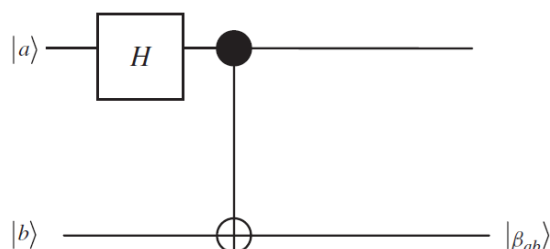
بنابراین می‌توان به این نکته پی برد که تصمیم مشاهده‌گر آلیس برای اعمال جهت اندازه‌گیری بر احتمال بدست آمدن نتیجه‌ی باب تاثیر می‌گذارد.

حالتی مثل $|\psi\rangle = \frac{1}{\sqrt{2}}(|0\rangle + |1\rangle) \otimes |0\rangle$ را در نظر بگیرید. آلیس بدون اینکه اندازه‌گیری انجام

دهد می‌تواند به طور قطع بگوید که حالت باب $|0\rangle$ است. حال اگر آلیس روی کیوبیت خود اندازه‌گیری در راستای محور Z انجام دهد و مقدار $|0\rangle$ را بدست آورد می‌تواند به طور قطع بگوید که حالت کیوبیتی که در دست باب است $|0\rangle$ می‌باشد. و اگر نتیجه‌ی اندازه‌گیری اش $|1\rangle$ باشد باز هم به طور قطع می‌تواند بگوید که حالت کیوبیتی که در دست باب است $|0\rangle$ می‌باشد. بنابراین نتیجه‌ی اندازه‌گیری آلیس بر روی اطلاعی که آلیس از حالت کیوبیت باب دارد تاثیری نخواهد گذاشت. چنین حالاتی را حالات جدایی پذیر^{۱۸} می‌گوییم.

۲-۴-۲ مدل ریاضی درهم‌تنیدگی کوانتومی

با استفاده از گیت‌های کوانتومی می‌توانیم مدل ریاضی یک زوج درهم‌تنیده را به صورت شکل (۲-۲) داشته باشیم. این مدار از سری کردن گیت هادامارد و C-NOT بدست می‌آید. اگر ورودی این مدار را یکی از حالات $|00\rangle$ و $|10\rangle$ و $|01\rangle$ و $|11\rangle$ در نظر بگیریم، چهار حالت درهم‌تنیده‌ی بل بدست می‌آید.



شکل (۲-۲): مدار کوانتومی ساخت حالات درهم‌تنیده‌ی بل

¹⁸ Separable

ورودی را در حالت اول به صورت $|a\rangle \otimes |b\rangle = |ab\rangle = |00\rangle$ فرض کرده و خروجی مدار را محاسبه می‌کنیم. حالت $|0\rangle$ پس از عبور از گیت هادامارد به حالت زیر تبدیل می‌شود:

$$|0\rangle \rightarrow \frac{1}{\sqrt{2}}(|0\rangle + |1\rangle) \quad (12-2)$$

در نتیجه قبل از تاثیر گیت C-NOT حالت کوانتومی ترکیبی عبارت است از:

$$\frac{1}{\sqrt{2}}(|0\rangle + |1\rangle) \otimes |0\rangle = \frac{1}{\sqrt{2}}(|00\rangle + |10\rangle) \quad (13-2)$$

در اثر عبور این حالت کوانتومی از گیت C-NOT حالت درهم‌تنیده‌ی زیر حاصل می‌شود:

$$\frac{1}{\sqrt{2}}(|0\rangle + |1\rangle) \otimes |0\rangle \xrightarrow{C-NOT} \frac{1}{\sqrt{2}}(|00\rangle + |11\rangle) \quad (14-2)$$

چنانچه ورودی را سه حالت دیگر $|01\rangle$ و $|10\rangle$ و $|11\rangle$ در نظر بگیریم سه حالت دیگر بل بدست می‌آیند. لذا داریم:

$$\begin{aligned} |00\rangle &\rightarrow \frac{1}{\sqrt{2}}(|00\rangle + |11\rangle) \\ |10\rangle &\rightarrow \frac{1}{\sqrt{2}}(|00\rangle - |11\rangle) \\ |01\rangle &\rightarrow \frac{1}{\sqrt{2}}(|01\rangle + |10\rangle) \\ |11\rangle &\rightarrow \frac{1}{\sqrt{2}}(|01\rangle - |10\rangle) \end{aligned} \quad (15-2)$$

چندین روش برای تشخیص درهم‌تنیدگی وجود دارد. یک حالت خالص دو طرفه را می‌توان به فرم زیر نوشت که به آن تجزیه‌ی اشمیت حالت $|\psi\rangle$ گفته می‌شود:

$$|\psi\rangle = \sum_{n=1} \lambda_n |a_n\rangle |b_n\rangle \quad (16-2)$$

حالت $|\psi\rangle$ متعلق به فضای هیلبرت $(H_A \otimes H_B)$ می باشد. در اینجا ضرایب λ_n ، ضرایب اشمیت نام دارند که دارای دو ویژگی $\lambda_n \geq 0$ و $\sum_n \lambda_n^2 = 1$ هستند. به تعداد ضرایب اشمیت غیر صفر عدد اشمیت می گویند. با استفاده از عدد اشمیت می توان پی به درهم تنیدگی سیستم برد بدین صورت که [۷]:

- هر حالت جدایی پذیر عدد اشمیت ۱ دارد.

- اگر عدد اشمیت بزرگتر از ۱ باشد، آن را حالت درهم تنیده می گوئیم.

در اینجا برای تشخیص جداپذیر بودن سیستم روش دیگری را ارائه می دهیم. فرض کنید سیستم M از دو زیر سیستم A و B تشکیل شده است. با فرض اینکه ρ_A و ρ_B ماتریس های چگالی مربوط به A و B باشند، $|\psi_{AB}\rangle$ را جداپذیر می گوئیم اگر بتوان ماتریس چگالی آن را به صورت زیر نوشت:

$$\rho_{AB} = |\psi_{AB}\rangle \langle \psi_{AB}| = \sum a_{i\mu} \rho_A^i \otimes \rho_B^\mu \quad (17-2)$$

که $a_{i\mu}$ بیانگر احتمال حضور سیستم در حالت $i\mu$ می باشد. اگر ماتریس چگالی $|\psi_{AB}\rangle$ را نتوان به صورت حاصلضرب ماتریس چگالی زیر سیستم ها نوشت حالت ما، درهم تنیده می باشد.

برای سیستم هایی که بیشتر از دو زیر سیستم دارند، تعاریف درهم تنیدگی و جدایی پذیر بودن می تواند وسیع تر باشد. به طور کلی در سیستمی که از N قسمت تشکیل شده است، به روش های زیادی می توان سیستم را به ۲، ۳، ... و N قسمت تقسیم کرد. حتی اگر در یکی از این تقسیم بندی ها درهم تنیدگی بین اجزای مختلف غیر صفر باشد، می گوئیم که درهم تنیدگی چند طرفی داریم. ولی اگر در همه ی این تقسیم بندی ها در هم تنیدگی بین اجزا صفر باشد می گوئیم که سیستم جدایی پذیر کامل است و ماتریس چگالی آن را می توان به صورت زیر نوشت:

$$\rho = \sum_{i=1}^n p_i \rho_i^{(1)} \otimes \rho_i^{(2)} \otimes \rho_i^{(3)} \dots \otimes \rho_i^{(N)} \quad \sum_{i=1}^n p_i = 1 \quad \forall p_i \geq 0 \quad (18-2)$$

حالات درهم‌تنیده چند قسمته را حالاتی معرفی می‌کنیم که نتوان ماتریس چگالی آن‌ها را به صورت بالا نوشت. برای درک بهتر در اینجا سیستم‌های ساده‌ی سه قسمته را به عنوان مثال می‌آوریم. در سیستم‌های سه قسمته برخلاف سیستم‌های دو قسمته دو کلاس مختلف درهم‌تنیدگی داریم. این حالت‌های درهم‌تنیده $|GHZ\rangle$ و $|W\rangle$ می‌باشند. همچنین با افزایش تعداد قسمت‌های این سیستم، تعداد این کلاس‌ها هم بیشتر می‌شود.

۲-۴-۳ حالت GHZ ^{۱۹}

حالت GHZ یک حالت درهم‌تنیده است. که از $N \geq 3$ قسمت تشکیل شده است که آن را به

شکل زیر نمایش می‌دهیم:

$$|GHZ\rangle = \frac{1}{\sqrt{2}}(|0\rangle^{\otimes N} + |1\rangle^{\otimes N}) \quad (۱۹-۲)$$

مثلا حالت GHZ سه‌قسمته برابر است با:

$$|GHZ\rangle = \frac{1}{\sqrt{2}}(|000\rangle + |111\rangle) \quad (۲۰-۲)$$

بدیهی است که چنین حالتی را نمی‌توان به صورت ضرب تانسوری سه حالت مختلف، مربوط به سه زیر فضا نوشت. در اینجا اگر یک اندازه‌گیری در پایه Z روی یکی از کیوبیت‌ها انجام شود، حالت دو کیوبیت دیگر به یک حالت جدایی‌پذیر تبدیل می‌شود. بنابراین درهم‌تنیدگی چند طرفه بدین معنا نیست که بین هر طرفین سیستم درهم‌تنیدگی وجود داشته باشد [۸].

¹⁹ Greenberger, Horne and Zelinger

۲-۴-۴ حالت W

حالت W یک حالت درهم‌تنیده است که از $N \geq 3$ قسمت تشکیل یافته است. به طور کلی حالت W ای که از N قسمت تشکیل شده باشد عبارت است از:

$$|W\rangle = \frac{1}{\sqrt{M}} (|000\dots 1\rangle + |000\dots 10\rangle + \dots + |100\dots 0\rangle) \quad (2-21)$$

بنابراین حالت‌های W، برهم‌نهی حالت‌هایی هستند که در همه‌ی آنها یکی از کیوبیت‌ها در حالت برانگیخته‌ی $|1\rangle$ است و بقیه‌ی کیوبیت‌ها در حالت پایه‌ی $|0\rangle$ قراردارند. مثلاً حالت W سه‌تایی برابر است با:

$$|W\rangle = \frac{1}{\sqrt{3}} (|001\rangle + |010\rangle + |100\rangle) \quad (2-22)$$

بدیهی است که چنین حالتی را نمی‌توان به صورت ضرب تانسوری سه حالت مختلف، مربوط به سه زیر فضا نوشت. بنابراین می‌توان گفت که درهم‌تنیدگی چند قسمتی دارد [۸].

۲-۵ عدم علامت‌دهی^{۲۰}

نظریه‌های مکانیک کوانتومی و نسبیت شالوده‌های اصلی دانش فیزیک را در عصر حاضر تشکیل می‌دهند. نسبیت خاص می‌گوید امکان ارسال ماده، انرژی و پیام با سرعتی بالاتر از نور میسر نمی‌باشد. مکانیک کوانتومی نیز نظریه‌ای است که در آزمایش موفق بوده، و پدیده‌های جدیدی را در مقایسه با مکانیک کلاسیک توجیه و پیش‌بینی کرده است، ولی به ساختارهای مفهومی آن ایرادهای بسیاری وارد شده است.

²⁰ No-signaling

پدیده‌هایی در مکانیک کوانتومی وجود دارد که در ظاهر سرعت بالاتر از نور را مجاز می‌داند، و در واقع با مبانی نسبیت ناسازگار است. مهم‌ترین این پدیده‌ها درهم‌تنیدگی می‌باشد. با مطرح شدن ناموضعیت در مکانیک کوانتومی به نظر می‌رسد که بین دو نظریه اصلی عصر حاضر تعارض اساسی وجود دارد. در نسبیت دارای توصیف موضعی از طبیعت می‌باشیم، در حالی که در فیزیک کوانتومی ناموضعیت را داریم. تلاش‌های بسیاری انجام شد که تضاد میان مکانیک کوانتومی و نسبیت به طور کامل نشان داده شود، در واقع تلاش شد تا از پدیده‌ی درهم‌تنیدگی برای ارسال اطلاعات با سرعت بیشتر از نور استفاده شود. با این حال همه‌ی این تلاش‌ها به شکست انجامیده است. و با اثبات قضایایی نشان داده شده که امکان ارسال فوق نوری اطلاعات در مکانیک کوانتومی وجود ندارد. این اثبات‌ها به قضایای عدم علامت دهی مشهور هستند.

با رد شدن امکان پیام‌دهی فوق نوری، بعضی گفته‌اند که نظریه فیزیک کوانتومی و نسبیت همزیستی مسالمت آمیزی با هم دارند، یعنی اگر چه به نظر می‌آید ویژگی‌هایی در نظریه کوانتومی وجود دارد که با نسبیت ناسازگار هستند، ولی در سطح تجربه و مشاهدات آزمایشگاهی، تعارضی بین این دو نظریه وجود ندارد.

۲-۶ قضیه بل

بل در سال ۱۹۶۴ قضیه‌ای منتشر کرد که به نام وی شهرت یافت. نامساوی‌های بل بر اساس مدل‌های موضعی متغیر پنهان بوجود می‌آیند و این نامساوی‌ها در مکانیک کوانتومی نقض می‌شوند. در تمامی مدل‌های موضعی متغیر پنهان دو فرض اساسی موضعی و واقعیت فیزیکی وجود دارد. از نقض این نامساوی توسط مکانیک کوانتومی می‌توان چنین نتیجه گرفت که مکانیک کوانتومی حداقل با یکی

از این دو فرض در تعارض است. از طرفی طبیعت، پیش‌بینی‌های مکانیک کوانتومی را تایید می‌کند پس یکی و یا هر دو فرضی که در اثبات نامساوی بل به کار رفته است نادرست می‌باشد.

۲-۶-۱ اثبات قضیه بل

سیستمی متشکل از ذرات A و B که به صورت جفت ذره و هر کدام با اسپین $\frac{1}{2}$ در حالت یگانه می‌باشند را در نظر می‌گیریم. اندازه‌گیری توسط دستگاه اشترن-گرلاخ روی مولفه‌های اسپینی انجام می‌گیرد. نتیجه اندازه‌گیری عملگر A روی ذره اول (A) بوسیله \vec{a} و λ (متغیر پنهان) مشخص می‌شود و نتیجه اندازه‌گیری عملگر B روی ذره دوم (B) بوسیله \vec{b} و λ (متغیر پنهان) مشخص می‌شود. نتایج اندازه‌گیری عملگرهای A و B به ترتیب با $A_a^-(\lambda_{HV})$ و $B_b^-(\lambda_{HV})$ نشان می‌دهیم. پارامتر اندازه‌گیری λ می‌تواند مربوط به ذره یا دستگاه اندازه‌گیری یا محیط و یا ترکیبی از اینها باشد. فرض کنیم که نتیجه اندازه‌گیری عملگر A روی ذره اول وابسته نیست به اندازه‌گیری عملگر B روی ذره دوم و همینطور بالعکس و همچنین برهم‌کنشی بین دو ذره A و B وجود ندارد. فرض کنید پارامترهای غیر قابل کنترل λ دارای توزیع احتمال باشد (و همچنین $A_a^-(\lambda_{HV}) = \pm 1, B_b^-(\lambda_{HV}) = \pm 1$)، لذا مقدار انتظاری حاصل از اندازه‌گیری دو مولفه، توسط دو کاربر برابر است با:

$$p(\vec{a}, \vec{b}) = \int d\lambda_{HV} p(\lambda_{HV}) A_a^-(\lambda_{HV}) B_b^-(\lambda_{HV}) \quad (2-23)$$

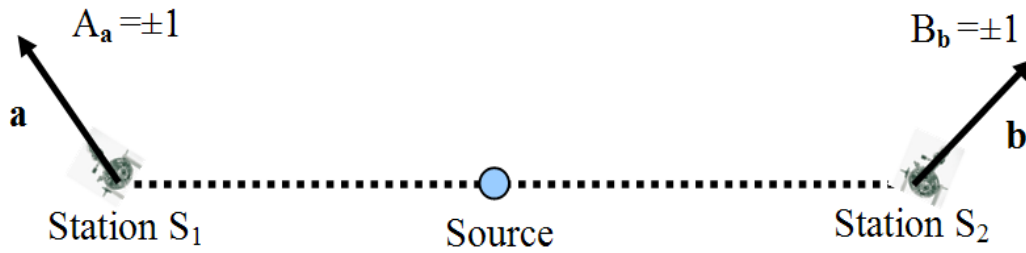
با فرض شرط بهنجارش داریم:

$$\int d\lambda_{HV} p(\lambda_{HV}) = 1$$

با توجه به اینکه سیستم در حالت یگانه قرار دارد وقتی که $\vec{a} = \vec{b}$ باشد، $p(\vec{a}, \vec{b}) = -1$ خواهد شد و

این زمانی صادق است که داشته باشیم:

$$A_{\vec{a}}(\lambda_{HV}) = -B_{\vec{b}}(\lambda_{HV})$$



شکل (۲-۳): نمایشی از آزمایش بل

در این صورت داریم:

$$p(\vec{a}, \vec{b}) = -\int d\lambda_{HV} p(\lambda_{HV}) A_{\vec{a}}(\lambda_{HV}) A_{\vec{b}}(\lambda_{HV}) \quad (24-2)$$

با در نظر گرفتن دو اندازه‌گیری مختلف a و a' برای دستگاه اول و دو اندازه‌گیری مختلف b و b' برای دستگاه دوم داریم:

$$\begin{aligned} p(\vec{a}, \vec{b}) - p(\vec{a}, \vec{b}') &= -\int d\lambda_{HV} p(\lambda_{HV}) [A_{\vec{a}}(\lambda_{HV}) A_{\vec{b}}(\lambda_{HV}) - A_{\vec{a}}(\lambda_{HV}) A_{\vec{b}'}(\lambda_{HV})] = \\ &= -\int [A_{\vec{a}}(\lambda_{HV}) A_{\vec{b}}(\lambda_{HV}) - A_{\vec{a}}(\lambda_{HV}) A_{\vec{b}}(\lambda_{HV}) A_{\vec{b}}(\lambda_{HV}) A_{\vec{b}'}(\lambda_{HV})] p(\lambda_{HV}) d\lambda_{HV} \quad (25-2) \\ &= \int A_{\vec{a}}(\lambda_{HV}) A_{\vec{b}}(\lambda_{HV}) [A_{\vec{b}'}(\lambda_{HV}) A_{\vec{b}}(\lambda_{HV}) - 1] p(\lambda_{HV}) d\lambda_{HV} \end{aligned}$$

از آنجایی که مقدار حداکثر $A_{\vec{a}}(\lambda_{HV}) A_{\vec{b}}(\lambda_{HV})$ ، $+1$ ، و مینیمم مقدار آن -1 می‌باشد، داریم:

$$\begin{aligned} [p(\vec{a}, \vec{b}) - p(\vec{a}, \vec{b}')]_{\max} &= \int (-1) [A_{\vec{b}'}(\lambda_{HV}) A_{\vec{b}}(\lambda_{HV}) - 1] p(\lambda_{HV}) d\lambda_{HV} \\ &= \int (+1) [1 - A_{\vec{b}'}(\lambda_{HV}) A_{\vec{b}}(\lambda_{HV})] p(\lambda_{HV}) d\lambda_{HV} \quad (26-2) \end{aligned}$$

خود را محدود به $A_{\vec{a}}(\lambda_{HV}) = \pm 1$ و $B_{\vec{b}}(\lambda_{HV}) = \pm 1$ نمی‌کنیم، بلکه مقادیر ضعیف‌تر را نیز در نظر

می‌گیریم:

$$|p(\vec{a}, \vec{b}) - p(\vec{a}, \vec{b}')| \leq \int [A_{\vec{b}'}(\lambda_{HV}) A_{\vec{b}}(\lambda_{HV}) - 1] p(\lambda_{HV}) d\lambda_{HV} \quad (27-2)$$

و در نهایت خواهیم داشت:

$$|p(\vec{a}, \vec{b}) - p(\vec{a}, \vec{b}')| \leq 1 + p(\vec{b}, \vec{b}') \quad (28-2)$$

رابطه فوق معروف به اولین نامساوی بل است.

۷-۲ متغیرهای پنهان

نامساوی بل بر واقعیت گرایی موضعی^{۲۱} استوار است. نامساوی بل نتیجه کاربرد عقل سلیم و استدلال بر مبنای دو فرض اساسی یعنی موضعییت و فرض وجود واقعیت خارجی است. اصل موضعییت همانطور که قبلا هم اشاره کردیم به این معناست که دو سیستم نمی‌توانند به صورت آنی در محیطی که قرار گرفته‌اند با هم تبادل اطلاعات فیزیکی انجام دهند. واقعیت فیزیکی نیز بدین معناست که اگر بدون اینکه اختلالی به سیستم وارد کنیم بتوانیم مقدار آن کمیت را با دقت کامل (با احتمال برابر با یک) پیش‌بینی کنیم. پس بنابراین یک عنصر واقعیت فیزیکی وابسته به یک کمیت فیزیکی قبل از عمل اندازه‌گیری وجود دارد.

سوالی که بل مطرح می‌کند این است که رویدادهای تصادفی‌ای که ناشی از وجود پارامترهای پنهان هستند و دارای دو خاصیت موضعییت و واقعیت می‌باشند، چه نوع ویژگی‌ای دارند؟ در پاسخ به این سوال بل می‌گوید که نتایج رویدادهای تصادفی با دو ویژگی بارز موضعییت و واقعیت، در یک نامساوی بسیار ساده صدق می‌کنند. در آزمایشگاه مشاهده می‌کنیم که در طبیعت این نامساوی نقض

²¹ Local reality

می‌شود، بنابراین به این نتیجه می‌رسیم که وضعیت یا واقعیت و یا هر دوی آنها که در نامساوی بل در نظر گرفته‌ایم درست نمی‌باشند.

متغیرهای پنهان در واقع وجود یک سری متغیرهایی است که نمی‌توانیم از آنها آگاه شویم، و کمیت‌های فیزیکی به وسیله آنها معین می‌شوند. بنابر مدل بوهم احتمال و شانس که در مکانیک کوانتومی مطرح می‌شود به دلیل ندانستن این متغیرهاست. در یک تئوری متغیرهای پنهان، اندازه‌گیری اساساً به صورت علمی قطعی است اما نتایج در این تئورها هم به صورت احتمالاتی بیان می‌شود، زیرا که درجات آزادی سیستم به دقت شناخته نمی‌شوند. اگر ما از مقدار متغیر پنهان آگاهی داشته باشیم آن‌گاه توزیع احتمالی که حاکم است بر اندازه‌گیری موافق با پیش‌بینی‌های نظریه کوانتومی است. زمانی که یک نظریه متغیرهای پنهان موضعی است این بدان معناست که دارای همان محدودیت‌های موضعی اینشتین می‌باشیم.

۸-۲ آنتروپی و اطلاعات کوانتومی

شانون با مقاله‌ای که در زمینه‌ی نظریه اطلاعات داد خود را یکی از تاثیرگذارترین افراد در این زمینه معرفی کرد. نتایج مطالعات شانون در زمینه کامپیوترهای کلاسیکی و نظریه اطلاعات هنوز هم اهمیت به‌سزایی در حل مشکلات این شاخه از علوم و مهندسی دارد. هدف این است که با استفاده از آنتروپی شانون محتوای اطلاعاتی یک سیستم کلاسیکی را تعیین کنیم و در ادامه ویژگی‌های مهم آن را معرفی کنیم. در ادامه نیز معادل کوانتومی آنتروپی شانون، یعنی آنتروپی فون نویمان^{۲۲} را معرفی می‌کنیم.

²² Von Neumann

۲-۸-۱-۲ آنتروپی شانون^{۲۳}

آنتروپی شانون به ازای توزیع احتمال یک متغیر تصادفی که می‌تواند شیر یا خط را با احتمال‌های $\frac{1}{2}$ ، $\frac{1}{2}$ اندازه بگیرد، همان مقدار اطلاعاتی را در بر دارد که اگر مقادیر 0 یا 1 را با احتمال‌های $\frac{3}{4}$ و $\frac{1}{4}$ اختیار می‌کرد. با توجه به تعریف آنتروپی متغیر تصادفی که در ادامه می‌آوریم این آنتروپی تابعی از احتمال مقادیر ممکن و مختلف است که متغیر تصادفی می‌تواند اختیار کند. اغلب آنتروپی به صورت تابعی از توزیع احتمال $p_1, p_2, p_3, \dots, p_n$ نوشته می‌شود. شانون نشان داد که آنتروپی متناسب با این توزیع احتمال را می‌توان به صورت زیر تعریف کرد:

$$H(x) = H(p_1, p_2, p_3, \dots, p_n) = -\sum_i p_i \log p_i \quad (2-29)$$

شانون برای سازگاری‌اش با سیستم‌های دودویی پیشنهاد داد که مبنای لگاریتم 2 در نظر گرفته شود. تعریف آنتروپی به شکل (2-29) کمترین فضای لازمه برای ذخیره اطلاعات را به خود اختصاص می‌دهد و اگر این فرمولبندی را به شکل دیگری بیان کنیم قطعاً مقداری از اطلاعات نادیده گرفته خواهد شد. ممکن است که $p=0$ تعجب برانگیز باشد (چون $0 \log 0$ تعریف نشده است) به طور شهودی حادثه‌ای که هیچ‌گاه اتفاق نمی‌افتد سهمی در آنتروپی ندارد. بنابراین با قرار داد توافق می‌کنیم که $0 \log 0 = 0$ یا به صورت فرمولی تر $\lim_{x \rightarrow 0} x \log x = 0$. از رابطه شانون مشخص است که مقدار حداکثر $H(x)$ هنگامی است که همه خروجی‌های یک رویداد دارای احتمال یکسان باشند، در این صورت ناآگاهی ما از سیستم بیشینه است. و در صورتی که همه احتمال‌ها به جز یکی صفر باشند عدم قطعیت ما از سیستم کمینه بوده و برابر صفر می‌شود، که امری کاملاً طبیعی است. هر چه، پیش آمدی که رخ داده محتمل‌تر باشد اطلاعاتی که بعد از اندازه‌گیری کسب کرده‌ایم کمتر، و هر چه آن اتفاق دور از انتظار باشد تعجب ما از وقوع آن رویداد بیشتر و در نتیجه اطلاعی که کسب کرده‌ایم

²³ Shannon entropy

بیشتر خواهد بود. بنابراین میزان اطلاعاتی که بعد از وقوع پیشامد بدست می‌آیند نسبتی معکوس با احتمال رخ دادن آن پیشامد قبل از وقوع دارند این نتایج با رابطه شانون کمال سازگاری دارند.

گفتیم حداکثر آنروپی زمانی بدست می‌آید که ما حداقل دانش را قبل از اندازه‌گیری نسبت به سیستم داشته باشیم. و ما حداقل دانش را زمانی داریم که احتمال بدست آوردن هر یک از نتایج اندازه‌گیری یکسان باشد:

$$P_n = \frac{1}{n} \quad (30-2)$$

که در این رابطه n تعداد پیشامدهاست. یک مثال ساده زمانی است که دو خروجی داریم. در ابتدا فرض می‌کنیم که هر دو احتمال برابر هستند یعنی $x = \frac{1}{2}$ بنابراین آنروپی را به صورت زیر داریم:

$$H(x) = -x \log x - (1-x) \log(1-x) = 1 \quad (31-2)$$

حالا فرض کنید $x=0.2$ و احتمال دیگری برابر با 0.8 باشد. در اینجا آنروپی را به صورت زیر داریم:

$$H = -0.2 \log 0.2 - 0.8 \log 0.8 = 0.72$$

در اینجا دانش ما نسبت به سیستم بیشتر از حالت قبل است که در آنجا هر دو خروجی با احتمال برابر اتفاق افتاد. پس به ازای خروجی‌های باینری هر گاه دو خروجی با احتمال یکسان روی دهد داریم $H(x)=1$ ، و در غیر این صورت $0 \leq H(x) < 1$ [۱۸].

آنروپی شانون بیانگر عدم قطعیت و میزان اطلاعاتی است که قبل از اندازه‌گیری از آن آگاه نیستیم، و مربوط به توزیع احتمال کلاسیکی است. درحوزه‌ی مکانیک کوانتومی آنروپی فون‌نویمان را داریم، که در این آنروپی اپراتورهای چگالی یک حالت کوانتومی، جایگزین احتمال کلاسیکی یک متغیر تصادفی شده‌اند. آنروپی فون‌نویمان برای حالت کوانتومی ρ با رابطه زیر توصیف می‌شود:

$$S(\rho) = -tr(\rho \log \rho) \quad (32-2)$$

این آنتروپی یک کمیت نامنفی است که این ویژگی از نتیجه تعریف آنتروپی فون نویمان نتیجه شده است ولی فقط برای حالت خالص برابر صفر است [۷].

۲-۸-۲ احتمالات شرطی، آنتروپی شرطی

اگر دو رویداد A و B اتفاق بیافتد و خروجی‌های آنها به ترتیب $\{a_i\}$ و $\{b_j\}$ باشند، آنگاه می‌توان $p(a_i)$ را احتمال بدست آوردن a_i و $p(b_j)$ را احتمال بدست آوردن خروجی b_j دانست، و می‌دانیم که این توابع احتمال در رابطه $0 \leq p(a_i) \leq 1$ و $0 \leq p(b_j) \leq 1$ صدق می‌کنند. احتمالات $p(a_i)$ و $p(b_j)$ تمام اطلاعات مورد نیاز را در اختیار ما قرار نمی‌دهند بلکه توصیف کاملتر را احتمالات توام $p(a_i, b_j)$ نشان می‌دهند. که این احتمال برابر است با احتمال اینکه به ازای رویداد A خروجی a_i را و به ازای رویداد B خروجی b_j را بدست آوریم. چنانچه دو رویداد مستقل از یکدیگر باشند یعنی رویدادها غیر همبسته باشند احتمال توامان را به صورت زیر داریم:

$$p(a_i, b_j) = p(a_i)p(b_j) \quad (۳۳-۲)$$

چنانچه بخواهیم می‌توانیم احتمالات مجزای هر رویداد را با استفاده از جمع بر روی احتمالات توامان طبق روابط زیر بدست آوریم:

$$p(a_i) = \sum_j p(a_i, b_j) \quad (۳۴-۲)$$

$$p(b_j) = \sum_i p(a_i, b_j)$$

فرض کنید با دانستن متغیر تصادفی $A = a_0$ احتمال توامان را به صورت $p(a_0, b_j)$ داریم می‌خواهیم نشان دهیم رابطه‌ی زیر برقرار است:

$$p(a_0, b_j) = p(b_j | a_0)p(a_0) \quad (۳۵-۲)$$

احتمال شرطی $p(b_j | a_0)$ یعنی احتمال اینکه $B = b_j$ به شرط آنکه $A = a_0$ را داشته باشیم. فرض کنید احتمال شرطی $p(b_j | a_0)$ را به صورت زیر داریم:

$$p(b_j | a_0) = p(a_0, b_j) k(a_0) \quad (۳۶-۲)$$

در ادامه مقدار $k(a_0)$ را با جمع معادله بالا روی مجموعه‌ای از خروجی‌های b_j بدست می‌آوریم:

$$(۳۷-۲)$$

$$\sum_j p(b_j | a_0) = \sum_j k(a_0) p(a_0, b_j) \Rightarrow 1 = k(a_0) \sum_j p(a_0, b_j) = k(a_0) p(a_0) \Rightarrow k(a_0) = [p(a_0)]^{-1}$$

احتمالات شرطی تنها برای دو رویداد نمی‌باشند این احتمالات را می‌توانیم برای سه رویداد هم داشته باشیم:

$$p(a_i, b_j, c_k) = p(a_i | b_j, c_k) p(b_j, c_k) = p(a_i | b_j, c_k) p(b_j | c_k) p(c_k) \quad (۳۸-۲)$$

علاوه بر آنروپی مربوطه به یک رویداد که در بخش قبلی معرفی شد می‌توانیم آنروپی توامان را همانند احتمالات توامان داشته باشیم. در واقع آنروپی توامان میزان اطلاعاتی است که از وقوع دو پیشامد کسب می‌کنیم بنابراین آنروپی توامان برای یک جفت متغیر تصادفی A و B را به صورت زیر تعریف می‌کنیم:

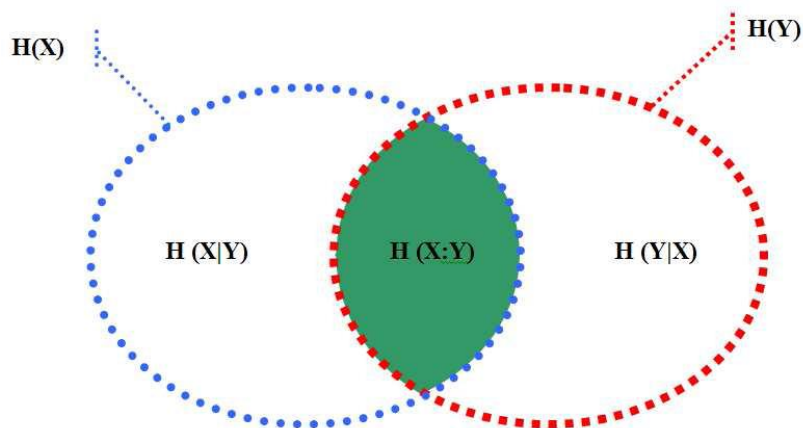
$$H(A, B) = -\sum_{i,j} p(a_i, b_j) \log p(a_i, b_j) \quad (۳۹-۲)$$

آنروپی شرطی را نیز می‌توانیم به شکل $H(B | A)$ معرفی کنیم که بیانگر میزان ناآگاهی ما از مقدار B است وقتی که ما میزان A را می‌دانیم. به عبارتی آنروپی شرطی، اطلاعات باقیمانده را مشخص می‌کند. در پایان ارتباط میان آنروپی شرطی و آنروپی توامان را با رابطه‌ای بیان می‌کنیم [۵]:

$$H(A, B) = H(B | A) + H(A) \quad (۴۰-۲)$$

اثبات:

$$\begin{aligned}
 H(B|A) &= \sum_i p(a_i) H(B|a_i) = -\sum_i p(a_i) \sum_j p(b_j|a_i) \log p(b_j|a_i) = -\sum_{i,j} p(b_j, a_i) \log p(b_j|a_i) = \\
 &= -\sum_{i,j} p(b_j, a_i) \log \frac{p(a_i, b_j)}{p(a_i)} = -\sum_{i,j} p(a_i, b_j) \log p(a_i, b_j) + \sum_j p(a_i, b_j) \log p(a_i) = H(A, B) - H(A)
 \end{aligned}$$



شکل (۲-۴): نمودار ون برای نمایش آنتروپی و ارتباط میان آنها

فصل سوم

وجود کاتورگی ذاتی در سیستم‌های کوانتومی

مقدمه

امروزه اعداد تصادفی اغلب برای کاربرد در رمزنگاری مورد استفاده قرار می‌گیرند. یکی از پارامترهای مهم در سیستم‌های رمزنگاری، امنیت است. امنیت بستگی به این دارد که مقادیر بعدی قابل پیش‌بینی نباشند. لذا به دنبال روشی هستیم تا امنیت را در این سیستم‌ها بالا ببریم. بنابراین از فیزیک کوانتمی استفاده می‌کنیم. زیرا چنانچه اثبات می‌کنیم کاتورگی مطرح شده در فیزیک کوانتمی کاتورگی ذاتی است و مانند سیستم‌های کلاسیک قابل بر طرف کردن نیست، و در واقع ناشی شده از نقص سیستم یا کمبود اطلاعات نمی‌باشد. بنابراین اعداد تصادفی تولید شده توسط سیستم‌های کوانتمی اعداد غیر قابل پیش‌بینی می‌باشند. بنابراین امنیت لازمه را به وجود می‌آورند.

هدف در این فصل این است که وجود متغیرهای پنهان را رد کنیم. در واقع رد این متغیرهای پنهان وجود کاتورگی ذاتی مطرح شده در مکانیک کوانتمی را اثبات می‌کند [۹]. در ادامه نیز میزان این کاتورگی را در سیستم‌های کوانتمی محاسبه می‌کنیم و انواع آن را بررسی می‌کنیم.

۳-۱ تولید اعداد تصادفی

تولید اعداد تصادفی^{۲۴} یک موضوع مهم در کاربردهای مختلف می‌باشد. این کاربردها دارای تنوع وسیعی هستند. مانند رمزنگاری کوانتمی شبیه‌سازی مونت‌کارلو، الگوریتم‌های ژنتیک، مدلسازی سیستم‌ها و شبیه‌سازی‌های عددی. امروزه اعداد تصادفی اغلب برای کاربرد در رمزنگاری مورد استفاده قرار می‌گیرند.

الگوریتم تولید اعداد تصادفی به دو دسته تقسیم می‌شود. یکی تولید اعداد شبه‌تصادفی به روش الگوریتمی و دیگری تولید اعداد کاملاً تصادفی است که به روش فیزیک کوانتمی انجام می‌گیرد. انتخاب روش تولید اعداد تصادفی برای یک کاربرد خاص بستگی به نیازهای آن سیستم به افزایش سرعت و کیفیت یا کاهش حجم تولید کننده دارد. در سیستم‌های رمزنگاری، امنیت بستگی به این دارد که مقادیر بعدی قابل پیش‌بینی نباشند.

تولید اعداد شبه‌تصادفی دارای یک مشکل جدی است و آن این است که دارای یک الگوریتم تولید قطعی و ثابت می‌باشند که این قطعیت به‌خاطر سیستم کلاسیک آنهاست. در این سیستم‌ها چنانچه جاسوس بتواند به برخی از اطلاعات سیستم رمزنگاری دسترسی پیدا کند، دنباله اعداد تولید شده توسط این افراد قابل شناسایی است. در رمزنگاری به روشی نیاز است که حتی اگر جاسوس، توانایی فوق‌العاده‌ای برای انجام محاسبات داشته باشد، و نیز تمام اطلاعات رشته را بدست آورد، قابلیت پیش‌بینی عدد بعدی را نداشته باشد. چنین رشته‌ای، دنباله‌ی اعداد تصادفی واقعی خوانده می‌شود.

مشکل دیگری که وجود دارد این است که تولید این دسته اعداد تصادفی که گاه مبتنی بر نرم‌افزار است، دارای الگوریتم پیچیده‌ای می‌باشند. این مولدها بدون در نظر گرفتن سرعت، در جهت

²⁴ Random number generators

افزایش پیچیدگی الگوریتم‌های مولد پیش می‌روند. برای پیاده‌سازی الگوریتم‌های تصادفی توسط سیستم‌های کلاسیک باید بخش مستقلی را برای روند کاتوره‌ای در نظر گرفت لذا این امر سرعت تولید این اعداد را کاهش می‌دهد. عملاً تولید اعداد تصادفی یکی از مشکلات پروتکل‌های تصادفی محسوب می‌شود.

لذا به دنبال روشی هستیم تا اعداد تصادفی را با بهترین کیفیت تولید کنیم. بهترین روش این است که از فیزیک کوانتومی استفاده می‌کنیم. چنانچه اثبات می‌کنیم کاتورگی مطرح شده در فیزیک کوانتومی کاتورگی ذاتی است که به هیچ وجه قابل حذف کردن نیست. بنابراین اعداد تصادفی تولید شده توسط سیستم‌های کوانتومی اعداد غیر قابل پیش بینی می‌باشند.

۳-۳ تمایز میان کاتورگی مطرح شده در فیزیک کوانتومی با فیزیک

کلاسیک

به دلیل اینکه در فیزیک نیوتن می‌توان دانش کاملی نسبت به سیستم پیدا کرد لذا در فیزیک کلاسیک نتیجه‌ی آزمایش قطعی است. کاتورگی که در فیزیک کلاسیک مطرح است کاتورگی است که ناشی از نقض اطلاعات می‌باشد. می‌خواهیم بررسی کنیم آیا کاتورگی مطرح شده در فیزیک کوانتومی نیز ناشی از نقض اطلاعات می‌باشد [۱۰].

چنان که می‌دانیم اینشتین به دلیل علاقه و اعتقاد عمیقی که به نظریه فیزیکی به عنوان توصیف کننده جهان خارج داشت، یعنی جهانی واقعی که مستقل از مشاهدات و تصورات ما وجود عینی دارد هرگز نتوانست مکانیک کوانتومی را به عنوان یک نظریه فیزیکی کامل بپذیرد. منظور از کامل بودن این است که هر عنصری از واقعیت در آن قابل توصیف باشد. ملاک واقعی بودن یک خاصیت را نیز می‌توان چنین توضیح داد که فرض کنید می‌خواهیم خصلتی مثل رنگ یک سیب را تعیین کنیم. اگر کسی

بتواند بدون اینکه مطلقاً روی اندازه‌گیری ما تاثیری بگذارد، پیش‌گویی کند که ما حتماً رنگ سیب را سرخ بدست خواهیم آورد و پیش‌بینی‌اش درست از آب درآید، حتماً رنگ سرخ سیب یک واقعیت خارجی و مستقل از اندازه‌گیری ماست. به عبارت دیگر اندازه‌گیری ما سرخی سیب را (خلق) نکرده است بلکه فقط آن را که یک واقعیت خارجی بوده است آشکار کرده است. برای آنکه مطمئن شویم که شخص دوم هیچ‌گونه تاثیری روی اندازه‌گیری ما نداشته است ما می‌توانیم رابطه علی اندازه‌گیری خودمان را با او به کلی قطع کنیم، یعنی کاری کنیم که اندازه‌گیری ما و عمل آن شخص در فاصله‌های فضاگونه انجام شود.

فیزیک کلاسیک مبتنی بر این خاصیت بود که آزمایش‌های یکسان نتایج یکسان دارند و فرض می‌شد که این خاصیت علی‌الاصول در سطح تک‌تک رویدادها و ذرات وجود دارد. اما مکانیک کوانتومی به ما می‌گوید که نتایج آزمایش‌های یکسان بر ذرات یکسان یقینی نیستند بلکه تصادفی و تابع شانس و احتمال‌اند و این تصادفی بودن در ذات خود پدیده‌ها نهفته است و با ظریف و دقیق کردن هر چه بیشتر ابزار آزمایش و روش‌های تهیه ذرات از بین نمی‌رود.

اما شاید متغیرهای بسیار ظریف و پنهانی وجود داشته باشند که عدم اطلاع و کنترل ما بر آنها و در نتیجه پراکنده بودن آنها در آزمایش‌های گوناگون این تصور کاذب را در ما بوجود می‌آورد که ما واقعاً آزمایش‌های یکسان را بر ذرات یکسان انجام می‌دهیم و نتایج متفاوت را ناگزیر به شانس و احتمال نسبت می‌دهیم. اگر بر این متغیرها آگاهی داشته باشیم ممکن است بتوانیم یک توصیف یقینی از پدیده‌ها ارائه کنیم. این ایده‌ای بسیار جذاب برای رها شدن از شانس و تصادف و بازگشت به چارچوب فیزیک کلاسیک است که در آن می‌توان با داشتن شرایط اولیه به طور دقیق آینده جهان را به طور کامل پیش‌گویی کرد. آیا واقعاً این کار امکان‌پذیر است؟ آیا متغیرهای پنهان وجود دارند؟ و می‌توان لااقل وجود آنها را فرض کرد و نتایج تصادفی‌ای را که در آزمایش‌های میکروسکوپی در نظر می‌گیریم به کمک فرض وجود آنها توضیح داد؟ باید دقت کنیم که در اینجا به نوع و میزان ظرافت و

کوچکی این پارامترها کاری نداریم و فقط به امکان وجود آنها فکر می‌کنیم. در واقع اگر بتوانیم به این سوال پاسخ درست بدهیم می‌توانیم بگوییم که کاتورگی مطرح شده در مکانیک کوانتومی ذاتی است یا مانند کاتورگی کلاسیک بر طرف کردنی است [۹]. در واقع آنچه در بخش بعدی بررسی می‌کنیم نوع کاتورگی مطرح شده در سیستم‌های کوانتومی است.

کار مهم جان بل در ۱۹۶۳ آن بود که راه دقیقی برای پاسخگویی به مسئله پارامترهای پنهان پیدا کرد، راهی که به کمک آن می‌توان به طور تجربی تعیین کرد که آیا این پارامترها وجود دارند یا نه؟ یا به عبارت بهتر آیا نتایج تجربی آزمایشگاهی‌ای را که ما می‌بینیم و آنها را به شانس و تصادف تعبیر می‌کنیم، می‌توانیم با پارامترهای پنهان توضیح دهیم یا خیر؟

از سال ۱۹۸۲ تا کنون آزمایش‌های گوناگونی با فوتون‌ها انجام شده است که همگی نشان دهنده این هستند که نامساوی بل توسط طبیعت نقض می‌شود. این امر به این معناست که رفتار تصادفی‌ای را که اشیای میکروسکوپی از خود نشان می‌دهند نمی‌توان با یک نظریه موضعی که قائل به خواص واقعی اشیا و متغیرهای پنهان باشد توضیح داد. آیا نتایج مکانیک کوانتومی با آزمایش‌های فوق سازگار است؟ پاسخ این سوال مثبت است. مکانیک کوانتومی نشان می‌دهد که اولاً نامساوی بل که بر اساس موضعیت و واقعیت خارجی بنا نهاده شده نقض می‌شود، ثانياً مقداری که برای کمیت طرف چپ نامساوی بل پیش‌گویی می‌کند درست همانی است که در آزمایشگاه مشاهده می‌شود. در واقع هیچ نظریه متغیرهای پنهان و موضعی که قائل به مقادیر واقعی برای اسپین‌ها باشد قادر نیست این همبستگی‌های کوانتومی را توضیح دهد [۹].

می‌توان گفت سیستم‌های کوانتومی به صورت ذاتی تصادفی هستند و این کاتورگی ذاتی با کاتورگی کلاسیک متفاوت است. برای نشان دادن بیشتر این تمایز میان کاتورگی مطرح شده در فیزیک کوانتومی و فیزیک کلاسیک مثالی را مطرح می‌کنیم. فرض کنید ذره‌ای در درون یک جعبه قرار دارد. در یک لحظه توسط یک مانع جعبه را به دو قسمت تقسیم می‌کنیم. سپس هر دو بخش را

به اندازه کافی از هم دور می‌کنیم. طبق توصیف مکانیک کوانتومی ذره در هر دو بخش جعبه احتمال حضور دارد. حال اگر در جعبه را باز کنیم و ذره را در آن بیابیم، در همان لحظه احتمال حضور در جعبه دیگر (که به اندازه کافی از آن دور است) صفر خواهد شد و با توجه به این که دو جعبه را می‌توان به اندازه دلخواه از هم دور کرد. می‌توان گفت که این اثر، یک اثر ناموضعی است. شاید بیان شود اینکه احتمال حضور در یکی از جعبه‌ها پس از یافتن ذره در جعبه دیگر صفر می‌شود چیز عجیبی نیست و این چیزی است که در دنیای کلاسیک هم مشاهده می‌شود. و مختص مکانیک کوانتومی نیست. در جواب به این سوال باید گفت که تفاوت در آن جاست که در دنیای کلاسیک، احتمالات را ناشی از جهل خودمان نسبت به موضوع تعبیر می‌کنیم. یعنی قائل به این هستیم که ذره در یکی از جعبه‌ها هست و در دیگری نیست (حتی قبل از مشاهده درون جعبه‌ها) و مشاهده یک جعبه و یافتن ذره در آن صرفاً یک عمل آشکارسازی است یعنی چیزی که از قبل بوده مشاهده کردیم. ولی در مکانیک کوانتومی احتمالات را ناشی از جهل نسبت به سیستم مورد بررسی نمی‌دانیم، یعنی در تعبیر رایج مکانیک کوانتومی احتمالات را ذاتی پدیده‌های کوانتومی می‌دانیم.

بنابر مکانیک کوانتومی، یک خصلت معین از یک ذره، از قبل یک مقدار مشخص ندارد که توسط عمل اندازه‌گیری مشاهده یا آشکار شود، بلکه عمل اندازه‌گیری یکی از مقادیر کمیت مشاهده‌پذیر را خلق می‌کند. هرگاه که قائل به وجود چنین کمیتی به عنوان کمیتی واقعی و از قبل موجود شویم به تناقض‌های آشکاری با آزمایش‌ها مواجه خواهیم شد. به‌عنوان مثال مولفه اسپین یک ذره در یک راستای معین، قبل از اندازه‌گیری مقدار معینی ندارد و نمی‌توان از مقدار واقعی آن قبل از اندازه‌گیری سخن گفت. می‌دانیم که نتایج اندازه‌گیری مولفه‌های اسپین یک ذره‌ی اسپین $\frac{1}{2}$ در هر راستایی همیشه دو مقدار $\frac{\hbar}{2}$ و $-\frac{\hbar}{2}$ را بدست می‌دهد، در صورتی که نمی‌توان برداری را تصور کرد که مولفه‌های آن در هر راستایی تنها همین دو مقدار را اختیار کند. در واقع وقتی که هیچ راه عملی برای

محک زدن یک خصلت واقعی مستقل از مشاهده وجود ندارد، بهتر است از اصرار بر اینکه آن خصلت واقعی و مستقل از مشاهده است دست برداریم.

آنچه تا اینجا بیان کردیم این است که کاتورگی مطرح شده در فیزیک کلاسیک و فیزیک کوانتومی متفاوت است. بنابراین می‌توان گفت سیستم‌های کوانتومی به صورت ذاتی کاتوره‌ای هستند و این کاتورگی ذاتی همتای کلاسیکی ندارد. بنابراین برای استفاده در الگوریتم‌های تصادفی بسیار مناسب می‌باشند. همانطور که گفتیم رد متغیرهای پنهان وجود کاتورگی ذاتی را اثبات می‌کند. بنابراین در بخش بعدی به رد متغیرهای پنهان در سیستم‌های درهم‌تنیده می‌پردازیم.

۳-۴ رد متغیرهای پنهان اثباتی بر کاتورگی ذاتی^{۲۵}

ناموضعیت در همبستگی‌های EPR به وسیله‌ی احتمالات کوانتومی مشروط و توأم نشان داده می‌شود. این احتمالات به دلیل ناموضعیت نامساوی بل را نقض می‌کنند. در اینجا می‌خواهیم دو مطلب را در پیش بگیریم یکی اینکه اثبات کنیم کاتورگی که در اینجا مطرح می‌کنیم از کاتوره‌ای منطبق بر واقعیت‌گرایی موضعی متفاوت می‌باشد، و دیگر اینکه ارتباط میان کاتورگی ذاتی و ناموضعیت را بیان کنیم که البته به این مبحث بیشتر در فصل بعدی پرداخته می‌شود.

²⁵ Intrinsic randomness

۳-۴-۱ همبستگی های EPR

خاصیت ناموضعیّت در مکانیک کوانتومی درست در مقابل واقع گرایی موضعی قرار گرفته است. این ناموضعیّت در همبستگی های EPR برای $S = \frac{1}{2}$ به خوبی نشان داده شده است. به ازای S بزرگ این همبستگی ها به همبستگی های کلاسیکی تبدیل می شوند. می توان از همبستگی های ناموضعیّت EPR برای نشان دادن اعداد کاملاً تصادفی که متشکل از خروجی های 0 و 1 می باشند استفاده کرد در واقع می توان مقادیر 0 و 1 را ویژه مقادیر عملگرهای اعمالی مربوط به اسپین دانست. احتمال این خروجی ها همان احتمالات توام ناموضعیّت هستند که نامساوی های بل را نقض می کنند، زیرا که نامساوی های بل منطبق بر واقعیت گرایی موضعی می باشند. ارتباط میان ناموضعیّت و کاتورگی با استفاده از آنتروپی شانون نشان داده شده است.

دو ذره درهم تنیده EPR داریم که هر کدام دارای اسپین دلخواه S می باشند و حالت کلی سیستم به فرم کلی زیر نوشته می شود:

$$|\psi_{EPR}\rangle = \sum_{m=-s}^s \frac{(-1)^{s+m}}{\sqrt{2S+1}} |m, -m\rangle \quad (1-3)$$

(توجه داشته باشید که چون حالت کلی سیستم تعمیمی از حالت درهم تنیده یگانه می باشد بنابراین m یکی از ذره ها مخالف m ذره دیگر است).

فرض کنید طرفین آلیس و باب را داریم که هر کدام دارای یک ذره می باشند. احتمال توامان ناموضعیّت در چارچوب نظریه کوانتومی برای اینکه ذره ی آلیس با اعمال اندازه گیری بر روی ذره خود مقدار a را بدست آورد و سیستم باب با اعمال اندازه گیری بر روی ذره خود مقدار b را بدست آورد مقدار زیر می شود:

$$p(\vec{a}, \vec{b}) = \langle \psi_{EPR} | \hat{P}(\vec{a}) \otimes \hat{P}(\vec{b}) | \psi_{EPR} \rangle \quad (2-3)$$

$\hat{P}(\vec{a}), \hat{P}(\vec{b})$ عملگرهای تصویرند که نوعی عملگر اندازه‌گیری می‌باشند. برای مثال عملگر تصویر مربوطه در جهت قطبش \vec{a} را با $\hat{P}(\vec{a}) = |a\rangle\langle a|$ نشان می‌دهیم. اگر سیستم‌ها را به صورت موضعی در نظر بگیریم با استفاده از متغیرهای پنهان احتمال توام را در چارچوب نظریه واقعیت‌گرایی موضعی به صورت زیر داریم:

$$p(\vec{a}, \vec{b}) = \int d\lambda_a \int d\lambda_b P(\lambda_a, \lambda_b) t(\vec{a}, \lambda_a) t(\vec{b}, \lambda_b) \quad (3-3)$$

λ_a و λ_b به ترتیب متغیرهای پنهان موضعی مربوط به ذره‌ی آلیس و ذره‌ی باب می‌باشند. $t(\vec{a}, \lambda_a)$ و $t(\vec{b}, \lambda_b)$ توابع انتقال^{۲۶} نرمال می‌باشند در واقع خروجی یک دستگاه اندازه‌گیری اسپین به واسطه‌ی اندازه‌گیری بوسیله‌ی تابع انتقال نرمال مشخص می‌شود که این توابع منطبق بر واقعیت‌گرایی موضعی می‌باشند:

$$0 \leq t(\vec{a}, \lambda_a) \leq 1, \quad 0 \leq t(\vec{b}, \lambda_b) \leq 1$$

در نظریه واقعیت‌گرایی موضعی از آنجا که به اسپین یک واقعیت عینی می‌دهند که قبل از آزمایش وجود دارد لذا این توابع انتقال با σ به عنوان یک واقعیت عینی به صورت زیر رابطه دارند (که σ نیز با λ و جهت قطبش رابطه دارد و داریم $(\sigma(\vec{a}, \lambda_a)) = \pm 1$):

$$t(\vec{a}, \lambda_a) = \frac{1}{2}(1 + \sigma(\vec{a}, \lambda_a)) \quad (4-3)$$

در اینجا بنا بر فرض اینشتین به ازای مقادیر متفاوت λ ، توابع انتقال متفاوت بدست می‌آید. λ ها نیز با یک تابع توزیع مثبت و نرمال شده‌ی زیر توزیع شده‌اند:

$$\int d\lambda_a \int d\lambda_b P(\lambda_a, \lambda_b) = 1 \quad P(\lambda_a, \lambda_b) \geq 1 \quad (5-3)$$

²⁶ Transmission functions

تابع توزیع $P(\lambda_a, \lambda_b)$ یک تابع موضعی می‌باشد. زیرا مستقل از جهت قطبش \vec{a} یا \vec{b} می‌باشد. سیستم آلیس دارای دو عملگر \vec{a} و \vec{a}' می‌باشد و سیستم باب هم دارای دو جهت قطبش \vec{b} و \vec{b}' است. احتمالات توامان موضعی (۳-۳) در نامساوی بل زیر صادق می‌باشند:

$$-1 \leq p(\vec{a}, \vec{b}) + p(\vec{a}, \vec{b}') - p(\vec{a}', \vec{b}) + p(\vec{a}', \vec{b}') - p(\vec{a}) - p(\vec{b}) \leq 0 \quad (۶-۳)$$

این نامساوی CH اگرچه برای اسپین $\frac{1}{2}$ بدست آمده ولی برای تمام اسپینهای دیگر نیز صادق می‌باشد. در ادامه در رابطه (۲-۳) که رابطه احتمال توامان ناموضع می‌باشد λ را وارد می‌کنیم. برای این کار از تجزیه‌ی طیفی عملگر تصویر اسپین بر حسب λ استفاده می‌کنیم:

$$\hat{P} = \int \lambda \delta(\lambda - \hat{P}) d\lambda \quad (۷-۳)$$

این رابطه را در رابطه (۲-۳) جای می‌دهیم: [۱۱]

$$\begin{aligned} p(\vec{a}, \vec{b}) &= \langle \psi_{EPR} | \hat{P}(\vec{a}) \otimes \hat{P}(\vec{b}) | \psi_{EPR} \rangle = \langle \psi_{EPR} | \int \lambda_a \delta(\lambda - \hat{P}(a)) d\lambda_a \otimes \int \lambda_b \delta(\lambda - \hat{P}(b)) d\lambda_b | \psi_{EPR} \rangle \\ &= \int d\lambda_a \int d\lambda_b \langle \psi_{EPR} | \delta(\lambda - \hat{P}(a)) \otimes \delta(\lambda - \hat{P}(b)) | \psi_{EPR} \rangle \lambda_a \lambda_b \end{aligned}$$

و با جایگزینی رابطه زیر در مقدار بالا:

$$p(\vec{a}\lambda_a, \vec{b}\lambda_b) = \langle \psi_{EPR} | \delta(\lambda - \hat{P}(a)) \otimes \delta(\lambda - \hat{P}(b)) | \psi_{EPR} \rangle \quad (۸-۳)$$

به رابطه احتمال توامان ناموضع به فرم زیر می‌رسیم:

$$p(\vec{a}, \vec{b}) = \int d\lambda_a \int d\lambda_b P(\vec{a}\lambda_a, \vec{b}\lambda_b) \lambda_a \lambda_b \quad (۹-۳)$$

چنانچه این رابطه را با رابطه (۳-۳) مربوط به احتمال توامان موضعی مقایسه کنیم علی رقم شباهت‌های بسیار به موارد زیر می‌رسیم:

$$\begin{cases} t(\vec{a}, \lambda_a) \rightarrow \lambda_a \\ t(\vec{b}, \lambda_b) \rightarrow \lambda_b \\ P(\lambda_a, \lambda_b) \rightarrow P(\vec{a}\lambda_a, \vec{b}\lambda_b) \end{cases} \quad (10-3)$$

در اینجا مشاهده می‌کنیم که تابع توزیع موضعی $P(\lambda_a, \lambda_b)$ ، به یک تابع توزیع ناموضعی $P(\vec{a}\lambda_a, \vec{b}\lambda_b)$ تبدیل شده است. این تابع توزیع ناموضع وابسته به جهت \vec{a} در اولین قطبش و به جهت \vec{b} در دومین قطبش می‌باشد. ناموضعییت این تابع توزیع سبب نقض نامساوی CH می‌شود. پس در اینجا یک تابع توزیع احتمال ناموضع داریم که ارتباط ناموضع میان آلیس و باب را نشان می‌دهد. و در واقع نقض نامساوی بل توسط این احتمالات توأم، رد متغیرهای پنهان را نشان می‌دهد. با استفاده از آنالیز بایاسی می‌توانیم از تابع توزیع احتمال ناموضع به تابع توزیع احتمال شرطی برسیم [۱۲]:

$$P(\vec{a}\lambda_a, \vec{b}\lambda_b) = P(\vec{a}\lambda_a | \vec{b}\lambda_b)P(\vec{b}\lambda_b) \quad (11-3)$$

در واقع احتمال شرطی $P(\vec{a}\lambda_a | \vec{b}\lambda_b)$ یعنی احتمال پیدا کردن λ_a تحت این شرط که قبلا باب با اعمال اندازه‌گیری بر روی ذره‌ی خود مقدار λ_b را بدست آورده باشد. اگر حالت کلی سیستم یعنی رابطه (۱-۳) را به صورت زیر باز کنیم:

$$\begin{aligned} |\psi_{EPR}\rangle = \frac{1}{\sqrt{2S+1}} [& (-1)^0 | -S, +S \rangle + (-1)^1 | -S+1, S-1 \rangle + \dots + (-1)^S | 0, 0 \rangle + \dots + \\ & (-1)^{S+S-1} | S-1, -S+1 \rangle + (-1)^{2S} | S, -S \rangle] \end{aligned} \quad (12-3)$$

احتمال اینکه ما مقدار بلی را بدست می‌آوریم یعنی $P(1)$ ، برابر با زمانی است که $\lambda = 1$ بدست آید، یعنی زمانی که به ازای یک S دلخواه، یکی از حالات برگزیده شود. پس تنها باید احتمال بدست آوردن یکی از مقادیر بالا را بدست آوریم و چون حالت کلی سیستم به فرم $|\psi\rangle = \sum u_i |\alpha\rangle$ می‌باشد. بنابراین احتمال بدست آوردن یکی از حالات برای مثال بدست آوردن $|0, 0\rangle$ در واقع همان احتمال

بدست آوردن $P(1)$ می‌شود. بنابراین مقدار $P(1)$ ، $\frac{1}{2S+1}$ می‌شود که توان دوم ضریب $|0,0\rangle$ می‌باشد. و احتمال بدست آوردن مابقی حالات که برابر با احتمال بدست آوردن $\lambda=0$ می‌باشد از این اصل بدست می‌آید که می‌دانیم مجموع احتمالات ۱ می‌شود. بنابراین احتمال اینکه $|0,0\rangle$ را بدست بیاوریم و یا به بیان دیگر احتمال اینکه $\lambda=0$ باشد و در واقع جواب خیر را بدست بیاوریم طبق فرآیند زیر بدست می‌آید:

$$P(0) + P(1) = 1 \Rightarrow P(0) = 1 - P(1) \Rightarrow P(0) = \frac{2S}{2S+1} \quad (13-3)$$

این احتمالات مستقل از جهت قطبش می‌باشند و در روابط مربوطه به آنها اصلاً زاویه وجود ندارد. در واقع روابط زیر احتمالات موضعی می‌باشند:

$$P(0) = \frac{2S}{2S+1} \quad (14-3)$$

$$P(1) = \frac{1}{2S+1}$$

احتمالات شرطی را به فرم کلی زیر خواهیم داشت:

$$P(\lambda_a | \lambda_b) = \begin{bmatrix} P(0|0) & P(0|1) \\ P(1|0) & P(1|1) \end{bmatrix} \quad (15-3)$$

برای احتمالات شرطی با S دلخواه روابط زیر را داریم:

$$P(0|0) = \frac{1}{2S} (2S - 1 + (\sin \frac{\phi}{2})^{4s}) \quad (16-3)$$

$$P(0|1) = 1 - (\sin \frac{\phi}{2})^{4s}$$

در اینجا α زاویه میان دو بردار \vec{a} و \vec{b} می‌باشد ($\cos \phi = \vec{a} \cdot \vec{b}$). روابط بهنجارش را برای این احتمالات شرطی داریم:

$$P(0|0) + P(1|0) = 1$$

$$P(0|1) + P(1|1) = 1 \quad (۱۷-۳)$$

برای هر قطبش به صورت موضعی خروجی‌ها کاملاً کاتوره‌ای‌اند. همبستگی‌های EPR سبب می‌شوند که این خروجی‌های کاملاً کاتوره‌ای با هم مرتبط شوند. این ارتباط را با همان احتمالات شرطی نشان می‌دهیم. پس احتمال بدست آوردن خروجی آلیس به نتیجه‌ی خروجی باب وابسته است. و این همان ناموضع بودن می‌باشد. ما در فرستادن اطلاعات از سیگنال‌ها استفاده می‌کنیم. هر سیگنال، تکراری از حروف تصادفی 0 و 1 است. حال چون زوج EPR داریم بنابراین دو طرف A و B داریم که هر کدام سیگنال تصادفی مربوطه به خود را ارسال می‌کند که برای مثال این سیگنال‌ها را با توابع انتقال زیر نشان می‌دهیم:

$$t(\vec{a}, \lambda_a) = 011001010001....$$

$$t(\vec{b}, \lambda_b) = 100100111001.... \quad (۱۸-۳)$$

همبستگی‌های درهم‌تنیده‌ی EPR به‌عنوان یک همبستگی ناموضع میان توالی‌های دوتایی اعداد بالا نمایش داده می‌شوند. ناموضعیت اینها بدان معناست که برای مثال هرگاه $t(\vec{b}, \lambda_b) = 1$ باشد یعنی اگر ما مقدار 1 را در جهت قطبش b بدست آوریم بایستی $t(\vec{a}, \lambda_a) = 0$ و یا $t(\vec{a}, \lambda_a) = 1$ را در جهت قطبش a به‌ترتیب با احتمالات $P(0|1)$ و $P(1|1)$ داشته باشیم. این احتمالات شرطی نشان می‌دهند که احتمال خروجی‌های a به‌وسیله‌ی خروجی‌های b مشخص می‌شود، لذا این سیگنال‌ها رابطه‌ی ناموضع دارند به جز در سه مورد زیر که به آنها همبستگی‌های کامل^{۲۷} می‌گوییم:

(۱) وقتی $\phi = 0$ باشد، یعنی جهت قطبش \vec{a} و \vec{b} یکسان است. آن‌گاه تابع توزیع را به‌صورت زیر داریم:

²⁷ Perfect correlations

$$P(\lambda_a | \lambda_b) = \begin{bmatrix} 01 \\ 10 \end{bmatrix} \quad (19-3)$$

برای مثال اگر آلیس و باب هر کدام در جهت z اندازه‌گیری کنند و در واقع عملگر σ_z را بر روی سیستم خود اعمال کنند، چون زوج EPR داریم اگر آلیس 0 را بدست آورد قطعاً باب مقدار 1 را بدست می‌آورد و همینطور بالعکس. سیگنال‌های مربوطه‌ی موضعی را به صورت زیر داریم:

$$t(\vec{a}, \lambda_a) = 011011010001....$$

$$t(\vec{b}, \lambda_b) = 100100101110....$$

(۲) وقتی عملگرهای \vec{a} و \vec{b} در خلاف جهت یکدیگر باشند. یعنی وقتی زاویه میان قطبش‌ها $\phi = 180$ می‌باشد. آن‌گاه تابع توزیع را به صورت زیر داریم:

$$P(\lambda_a | \lambda_b) = \begin{bmatrix} 10 \\ 01 \end{bmatrix} \quad (20-3)$$

چنانچه در اینجا آلیس و باب در خلاف جهت یکدیگر اندازه‌گیری کنند، آنگاه دو سیگنال دقیقاً مانند یکدیگر خواهند بود:

$$t(\vec{a}, \lambda_a) = 100100111001....$$

$$t(\vec{b}, \lambda_b) = 100100111001....$$

(۳) چنانچه $S \rightarrow \infty$ برود آن‌گاه داریم:

$$P(\lambda_a | \lambda_b) = \begin{bmatrix} 11 \\ 00 \end{bmatrix}, \phi \neq \pi \quad (21-3)$$

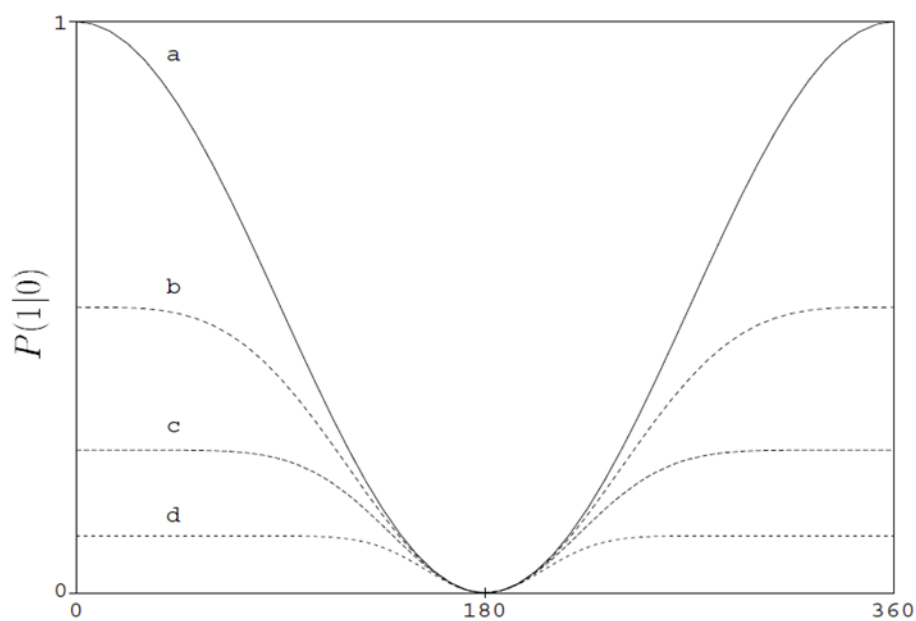
و تابع انتقال را به صورت زیر داریم:

$$t(\vec{a}, \lambda_a) = 000000000000....$$

$$t(\vec{b}, \lambda_b) = 100100111001....$$

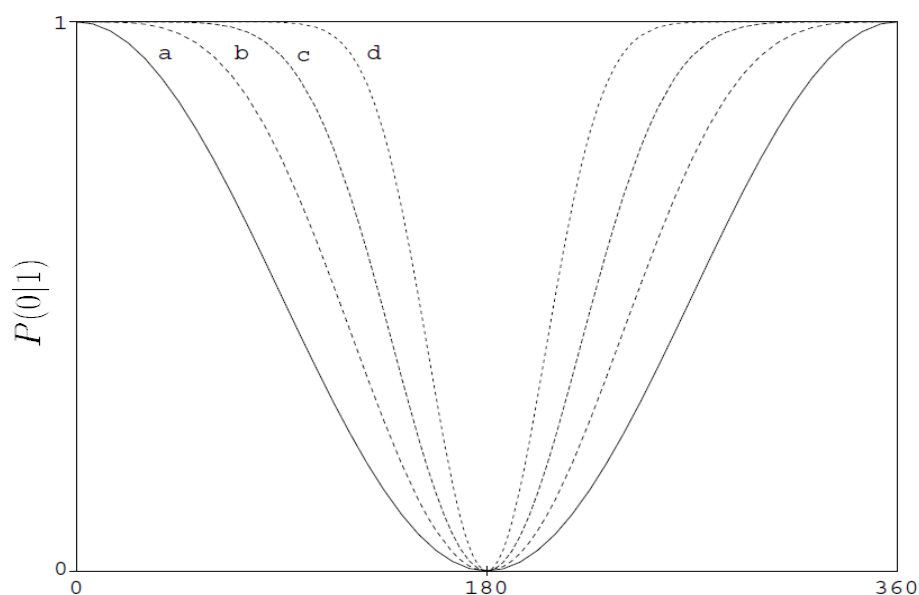
و رابطه بالا بدان معناست که اگر S به سمت بینهایت برود یکی از سیگنال‌ها به صورت مکرر یک مقدار را نشان می‌دهد. و هیچ ارتباطی با اینکه سیگنال دیگر چه ارسال می‌کند ندارد. یعنی در اینجا سیگنال باب هر چه باشد آلیس با احتمال صد درصد مقدار 0 را بدست می‌آورد. با استفاده از روابط (۱۶-۳) و (۱۷-۳) می‌توان مقدار $P(1|0) = \frac{1}{2S} (1 - (\sin \frac{\phi}{2})^{4s})$ را بدست آورد. همانطور که از شکل‌های (۱-۳) و (۲-۳) برمی‌آید با افزایش مقدار اسپین مقادیر احتمالاتی ما به سمت قطعیت پیش می‌روند (البته توجه داشته باشید که به ازای زاویه‌ی $\phi = \pi$ ، برای هر مقداری از S ما این قطعیت را داریم).

آنچه تا اینجا نشان دادیم این بود که خروجی‌های همبستگی‌های EPR به‌عنوان همبستگی‌های ناموضع توالی‌های کاملاً کاتوره‌ای از اعداد 0 و 1 می‌باشند. توالی این اعداد کاتوره‌ای و همبستگی میان آنها اطلاعاتی را راجع به سیستم نشان می‌دهد. این دانش اطلاعات نامیده می‌شود و با آنتروپی شانون نشان داده می‌شود. در این همبستگی‌های EPR به ازای همبستگی‌های کامل انطباق کاملی میان نظریه متغیرهای پنهان و نظریه مکانیک کوانتومی برقرار است در حالی که این انطباق را برای همبستگی‌های کامل GHZ نمی‌بینیم. در واقع همبستگی‌های GHZ رد قوی‌تری برای متغیرهای پنهان موضعی می‌باشند. در ادامه آنتروپی سیستم را بدست می‌آوریم [۱۲].



شکل (۱-۳): توزیع شرطی $P(1|0)$ به عنوان تابعی از S برای مقادیر متفاوت اسپین (منحنی a به ازای اسپین $S = \frac{1}{2}$ ،

منحنی b به ازای اسپین $S = 1$ ، منحنی c به ازای اسپین $S = 2$ ، منحنی d به ازای اسپین $S = 5$)



شکل (۲-۳): توزیع شرطی $P(0|1)$ به عنوان تابعی از S برای مقادیر متفاوت اسپین (منحنی a به ازای اسپین $S = \frac{1}{2}$ ،

منحنی b به ازای اسپین $S = 1$ ، منحنی c به ازای اسپین $S = 2$ ، منحنی d به ازای اسپین $S = 5$)

۳-۴-۲ آنتروپی اطلاعات

توالی λ_a و λ_b با همبستگی میان آنها اطلاعاتی را راجع به سیستم در اختیار ما قرار می‌دهد. آنتروپی سیستم در واقع متوسطی از آن اطلاعات است که بدان می‌رسیم. آنتروپی اطلاعات را با رابطه زیر نشان می‌دهیم:

$$H(\vec{a}, \vec{b}) = -\sum_{\lambda_a, \lambda_b} p(\lambda_a \vec{a}, \lambda_b \vec{b}) \log_2 p(\lambda_a \vec{a}, \lambda_b \vec{b}) \quad (22-3)$$

آنتروپی‌های مرزی را نیز به صورت زیر تعریف می‌کنیم:

$$H(\vec{a}) = -\sum_{\lambda_a} p(\lambda_a \vec{a}) \log_2 p(\lambda_a \vec{a})$$

$$H(\vec{b}) = -\sum_{\lambda_b} p(\lambda_b \vec{b}) \log_2 p(\lambda_b \vec{b}) \quad (23-3)$$

این آنتروپی توامان یعنی رابطه (۲۲-۳) در نامساوی بل AL^{28} به صورت زیر صدق می‌کند:

$$\left| H(\vec{a}) - H(\vec{b}) \right| \leq H(\vec{a}, \vec{b}) \leq H(\vec{a}) + H(\vec{b}) \quad (24-3)$$

با استفاده از معادلات رابطه (۱۴-۳) مربوط به احتمالات موضعی می‌توانیم روابط (۲۳-۳) را به صورت زیر محاسبه کنیم [۱۲]:

$$H(\vec{a}) = H(\vec{b}) = -P(0) \log P(0) - P(1) \log P(1) \quad (25-3)$$

$$= \frac{-2S}{(2S+1)} \log \frac{2S}{(2S+1)} - \frac{1}{(2S+1)} \log \frac{1}{(2S+1)} = \frac{-1}{2S+1} \log \frac{(2S)^{2S}}{(2S+1)^{2S+1}}$$

رابطه (۲۴-۳) با استفاده از رابطه (۲۵-۳) به صورت زیر تبدیل می‌شود:

²⁸ Araki and Lieb

$$0 \leq H(\vec{a}, \vec{b}) \leq \frac{-2}{2S+1} \log \frac{(2S)^{2S}}{(2S+1)^{2S+1}} \quad (26-3)$$

به ازای $S = \frac{1}{2}$ مقدار رابطه (۲۵-۳) یعنی مقدار آنتروپی موضعی به میزان یک بیت می‌شود. و مقادیر احتمالات موضعی برابر با مقدار $P(0) = P(1) = \frac{1}{2}$ می‌شود و میزان حداکثر سمت راست رابطه (۳-۳) (۲۶) دو بیت می‌شود ($-\log 2^{-2} = 2$). و به ازای $S \rightarrow \infty$ مقدار آنتروپی موضعی صفر بیت می‌شود. و مقادیر احتمالات موضعی برابر با $P(0) = 1$ و $P(1) = 0$ می‌شوند. و این بدین معناست که مقدار خروجی ۰ با قطعیت اتفاق می‌افتد. در واقع نتیجه‌ای که به آن رسیدیم این است که به ازای $S = \frac{1}{2}$ به میزان حداکثر آنتروپی توامان به میزان ۲ بیت و میزان حداقل آنتروپی ۰ بیت می‌رسیم. آنتروپی فون نویمان به ازای یک حالت خالص EPR مقدار ۰ را به ما می‌دهد در حالی که به ازای آنسامبلی از حالات پس از اندازه‌گیری از آنتروپی شانون استفاده می‌کنیم و مقدار اطلاعات سیستم را بدست می‌آوریم.

۳-۴-۳ همبستگی‌های GHZ

این همبستگی دارای سه قسمت می‌باشد، برای مثال آلیس و باب و چارلی قسمت‌های سیستم می‌باشند که هر کدام دارای یک ذره با اسپین $\frac{1}{2}$ هستند. یک فرم این همبستگی که به وسیله‌ی مرمین ارائه شد به صورت زیر است:

$$|\psi_{GHZ}\rangle = \frac{(|000\rangle - |111\rangle)}{\sqrt{2}} \quad (27-3)$$

در ادامه احتمال توامان اینکه، در فرمالیزم مکانیک کوانتمی آلیس ذره‌ی خود را در جهت ϕ_1 اندازه بگیرد باب ذره‌ی خود را در جهت ϕ_2 اندازه بگیرد و چارلی ذره خود را در جهت ϕ_3 اندازه بگیرد برابر با مقدار زیر می‌باشد:

$$p(\phi) = p(\phi_1, \phi_2, \phi_3) = \langle \psi_{GHZ} | \hat{P}(\phi_1) \otimes \hat{P}(\phi_2) \otimes \hat{P}(\phi_3) | \psi_{GHZ} \rangle \quad (28-3)$$

$$= \frac{1}{8} (1 - \cos(\phi_1, \phi_2, \phi_3)) = \frac{1}{8} (1 - \cos(\phi))$$

اثبات:

هر بردار قطبش در جهت بردار یکه‌ی \hat{n} را با یک زاویه‌ی قطبی θ و یک زاویه سمتی ϕ توصیف می‌کنیم. بردار قطبش را به صورت زیر نمایش می‌دهیم:

$$|n_{\pm}\rangle = \cos \frac{\theta}{2} |0\rangle \pm e^{i\phi} \sin \frac{\theta}{2} |1\rangle$$

چنانچه این بردار قطبش را در صفحه x-y در نظر بگیریم زاویه قطبی برابر با $\theta = \frac{\pi}{2}$ خواهد بود بنابراین داریم:

$$|n_{\pm}\rangle = \frac{|0\rangle \pm e^{i\phi} |1\rangle}{\sqrt{2}}$$

عملگر تصویر نیز به صورت زیر بدست خواهد آمد:

$$\hat{P}(\phi) = |n_{+}\rangle \langle n_{+}| = \frac{1}{2} \begin{bmatrix} 1 & e^{-i\phi} \\ e^{i\phi} & 1 \end{bmatrix}$$

این عملگر را در رابطه (28-3) به کار می‌گیریم:

$$p(\phi) = \langle \psi_{GHZ} | \hat{P}(\phi_1) \otimes \hat{P}(\phi_2) \otimes \hat{P}(\phi_3) | \psi_{GHZ} \rangle =$$

$$\frac{1}{2}[1\ 0\ 0\ 0\ 0\ 0\ 0\ 0\ -1] \left[\frac{1}{2} \begin{bmatrix} 1 & e^{-i\phi} \\ e^{i\phi} & 1 \end{bmatrix} \otimes \frac{1}{2} \begin{bmatrix} 1 & e^{-i\phi} \\ e^{i\phi} & 1 \end{bmatrix} \otimes \frac{1}{2} \begin{bmatrix} 1 & e^{-i\phi} \\ e^{i\phi} & 1 \end{bmatrix} \right] \begin{bmatrix} 1 \\ 0 \\ 0 \\ 0 \\ 0 \\ 0 \\ 0 \\ 0 \\ -1 \end{bmatrix} = \frac{1}{8}(1 - \cos(\phi))$$

توجه داشته باشید که در رابطه بالا مقدار $\phi = \phi_1 + \phi_2 + \phi_3$ را قرار داده‌ایم.

در ادامه رابطه $\hat{P}(\phi) = \int d\lambda \delta(\lambda - \hat{P})$ را جایگزین عملگرهای تصویر در رابطه (۳-۲۸) می‌کنیم و این رابطه با جایگزینی مقدار زیر:

$$P(\phi_1 \lambda_a, \phi_2 \lambda_b, \phi_3 \lambda_c) = \langle \psi_{GHZ} | \delta(\lambda_a - \hat{P}(\phi_1)) \otimes \delta(\lambda_b - \hat{P}(\phi_2)) \otimes \delta(\lambda_c - \hat{P}(\phi_3)) | \psi_{GHZ} \rangle \quad (۳-۲۹)$$

(این رابطه توزیع احتمال توامان ناموضع را نشان می‌دهد زیرا که این رابطه وابسته به زوایای عملگرها می‌باشد) به فرم رابطه زیر درمی‌آید که یک رابطه احتمال توامان ناموضع است:

$$p(\phi)_Q = \int d\lambda_a \int d\lambda_b \int d\lambda_c P(\phi_1 \lambda_a, \phi_2 \lambda_b, \phi_3 \lambda_c) \lambda_a \lambda_b \lambda_c \quad (۳-۳۰)$$

علاوه بر آن احتمال توامان منطبق بر نظریه متغیرهای پنهان موضعی را نیز به صورت زیر داریم:

$$p(\phi)_{LHV} = \int d\lambda_a \int d\lambda_b \int d\lambda_c P(\lambda_a, \lambda_b, \lambda_c) t(\phi_1, \lambda_a) t(\phi_2, \lambda_b) t(\phi_3, \lambda_c) \quad (۳-۳۱)$$

رابطه بالا یک رابطه موضعی است زیرا که اصلا به جهت عملگرها بستگی ندارد. از مقایسه‌ی دو رابطه

بالا یعنی رابطه (۳-۳۰) و (۳-۳۱) علی رقم شباهت‌های بسیار به موارد زیر می‌رسیم:

$$\begin{cases} t(\bar{a}, \lambda_a) \rightarrow \lambda_a \\ t(\bar{b}, \lambda_b) \rightarrow \lambda_b \\ t(\bar{c}, \lambda_c) \rightarrow \lambda_c \\ P(\lambda_a, \lambda_b, \lambda_c) \rightarrow P(\bar{a}\lambda_a, \bar{b}\lambda_b, \bar{c}\lambda_c) \end{cases} \quad (32-3)$$

توزیع احتمال $P(\lambda_a, \lambda_b, \lambda_c)$ یک توزیع احتمال موضعی است که به ازای آن نامساوی بل نقض نمی‌شود در حالی که به ازای توزیع احتمال ناموضع $P(\bar{a}\lambda_a, \bar{b}\lambda_b, \bar{c}\lambda_c)$ نامساوی بل نقض می‌گردد. این همبستگی‌های GHZ به ازای زوایای $\phi_1 + \phi_2 + \phi_3 = 0$ و $\phi_1 + \phi_2 + \phi_3 = \pi$ موضعی می‌باشند و با قطعیت پیش‌بینی می‌شوند. به ازای این زوایا همبستگی‌های GHZ کامل‌اند یعنی با اندازه‌گیری دو اسپین، اسپین سوم را می‌توان با قطعیت پیش‌بینی کرد. در همبستگی EPR همان گونه که قبلاً نشان دادیم همبستگی‌های کامل به ازای زوایای $\alpha = 0$ و $\alpha = 180$ و همچنین به ازای زمانی که اسپین به سمت بینهایت می‌رود اتفاق می‌افتد. همبستگی‌های کامل GHZ به ازای حالتی که $\phi_1 + \phi_2 + \phi_3 = 0$ باشد دیگر با نظریه متغیرهای پنهان تطابق ندارند و این عدم تطابق ادعای دیگری است که سبب رد نظریه‌ی متغیرهای پنهان می‌شود. در حالی که در همبستگی‌های EPR کامل تطابق میان متغیرهای پنهان و مکانیک کوانتومی وجود داشت. همانطور که قبلاً مشاهده کردید احتمالات شرطی بهتر می‌توانند ناموضعییت میان خروجی‌ها را نشان دهند لذا در ادامه با تعمیم آنالیز بایاسی می‌توانیم رابطه زیر را برای احتمال توامان ناموضع (3-29) داشته باشیم [12]:

$$P(\phi_1\lambda_a, \phi_2\lambda_b, \phi_3\lambda_c) = P(\phi_1\lambda_a | \phi_2\lambda_b, \phi_3\lambda_c) P(\phi_2\lambda_b | \phi_3\lambda_c) P(\phi_3\lambda_c) \quad (33-3)$$

یعنی احتمال اینکه رویداد λ_b اتفاق بیافتد به این شرط که قبلاً λ_c اتفاق افتاده باشد. و $P(\phi_1\lambda_a | \phi_2\lambda_b, \phi_3\lambda_c)$ نیز احتمال این است که λ_a اتفاق بیافتد با رعایت این شرط که قبلاً λ_b و λ_c اتفاق افتاده‌اند. در اینجا می‌دانیم که به ازای حالت GHZ برای همه‌ی مقادیر λ_b و λ_c مقادیر احتمالاتی $P(\phi_3\lambda_c) = \frac{1}{2}$ و $P(\phi_2\lambda_b | \phi_3\lambda_c) = \frac{1}{2}$ را داریم.

احتمالات شرطی را به صورت زیر داریم:

$$P(1|11) = P(0|01) = P(1|00) = P(0|10) = \frac{1}{2}(1 - \cos \phi)$$

$$P(1|10) = P(1|01) = P(0|11) = P(0|00) = \frac{1}{2}(1 + \cos \phi)$$

مشاهده خواهیم کرد که تنها به ازای دو زاویه $\phi = 0$ و $\phi = \pi$ مقادیر احتمالات شرطی یا مقدار 0 می‌پذیرد یا مقدار 1. به ازای زاویه $\phi = \pi$ که منطبق بر جایگشت‌های (x, y, y) و (y, x, y) و (y, y, x) می‌باشد احتمالات شرطی زیر را داریم [۱۲]:

$$P(1|11) = P(0|01) = P(1|00) = P(0|10) = 1$$

$$P(1|10) = P(1|01) = P(0|11) = P(0|00) = 0$$

بنابراین خروجی‌های این آزمایش به صورت زیر می‌باشند:

$$t(\vec{a}, \lambda_a) = 0110\dots$$

$$t(\vec{b}, \lambda_b) = 0101\dots$$

$$t(\vec{c}, \lambda_c) = 1100\dots$$

و آنچه با توجه به نظریه متغیرهای پنهان می‌توان به آن دست یافت رابطه‌ی زیر می‌باشد:

$$4t(x, \lambda_a)t(y, \lambda_b)t(y, \lambda_c) - 2[t(x, \lambda_a)t(y, \lambda_b) + t(y, \lambda_b)t(y, \lambda_c) + t(x, \lambda_a)t(y, \lambda_c)] + [t(x, \lambda_a) + t(y, \lambda_b) + t(y, \lambda_c)] = 1$$

با استفاده از نمادگذاری مختصر $t_i^\phi = t(\phi_i, \lambda_i)$ داریم:

$$4t_a^x t_b^y t_c^y - 2(t_a^x t_b^y + t_b^y t_c^y + t_a^x t_c^y) + (t_a^x + t_b^y + t_c^y) = 1 \quad (34-3)$$

روابط مشابهی نیز برای (y, x, y) و (y, y, x) برقرار می‌باشد. خروجی‌های آزمایش در رابطه بالا صدق می‌کنند. لذا آنچه در آزمایش بدست می‌آید منطبق بر نظریه متغیرهای پنهان می‌باشد.

می‌دانیم که به ازای زاویه $\phi = 0$ یا به عبارتی (x, x, x) نیز همبستگی‌های کامل را داریم به ازای این زاویه احتمالات شرطی را به صورت زیر داریم:

$$P(1|11) = P(0|01) = P(1|00) = P(0|10) = 0$$

$$P(1|10) = P(1|01) = P(0|11) = P(0|00) = 1$$

بنابراین به ازای این زاویه خروجی‌های زیر را داریم [۷]:

$$t(\vec{a}, \lambda_a) = 1100\dots$$

$$t(\vec{b}, \lambda_b) = 1010\dots$$

$$t(\vec{c}, \lambda_c) = 0110\dots$$

مرمین با تکیه بر نظریه واقعیت‌گرایی موضعی رابطه زیر را دست آورد:

$$4t_a^x t_b^x t_c^x - 2(t_a^x t_b^x + t_b^x t_c^x + t_a^x t_c^x) + (t_a^x + t_b^x + t_c^x) = 1 \quad (35-3)$$

خروجی‌های آزمایش در رابطه بالا صدق نمی‌کنند پس مشاهده خواهیم کرد که نظریه متغیرهای پنهان منطبق بر مکانیک کوانتومی نخواهد بود و در واقع آن‌چه در واقعیت اتفاق می‌افتد منطبق بر نظریه مکانیک کوانتومی خواهد بود. بنابراین نظریه متغیرهای پنهان رد خواهد شد [۱۱ و ۱۹].

۳-۵ محاسبه میزان کاتورگی

حال که وجود کاتورگی ذاتی را پذیرفتیم بنابراین می‌دانیم که با استفاده از آزمایشاتی که بر روی سیستم‌های کوانتومی انجام می‌دهیم می‌توانیم خروجی بدست بیاوریم که کاملاً تصادفی باشد. و از این خروجی‌ها در فرآیند اطلاعات و رمزنگاری کوانتومی استفاده کنیم. میزان حداقل آنتروپی شانون میزان کاتوره‌ای بودن را به صورت یک مقدار کمی نشان می‌دهد [۱۰]. هر چه سیستم ما کاتوره‌ای‌تر، تخمین

رفتار بعدی آن دشوارتر خواهد شد. در ادامه قصد داریم میزان کاتورگی ذاتی سیستم خالص را محاسبه کنیم.

در ابتدا یک سیستم درهم‌تنیده کوانتمی را در نظر می‌گیریم و یک آزمایش بل را انجام می‌دهیم. می‌دانیم که ناموضعیّت یکی از ویژگی‌های اصلی سیستم‌های کوانتمی است. لذا خروجی‌های این آزمایش نامساوی بل را نقض می‌کند چرا که یک نامساوی بل در شرایط موضعیّت کلاسیک حاکم است. و در صورت نقض نامساوی بل الزاما کاتورگی داریم.

یک حالت دو کیوبیتی ψ را میان طرفین آلیس و باب به اشتراک می‌گذاریم که آنها به ترتیب عملگرهای A و B را بر روی ذره خود اعمال می‌کنند. به ازای اعمال عملگر A بر روی ذره آلیس خروجی a را داریم، و به ازای اعمال عملگر B بر روی ذره باب خروجی b را داریم. خروجی‌های این آزمایش اعداد کاملا تصادفی می‌باشند.

خروجی‌های آزمایش یک توزیع احتمال را تشکیل می‌دهد. این احتمالات را می‌توان با استفاده از رابطه (۳-۲) و وارد کردن عملگرهای A و B و حالت ψ به صورت $P(ab | \psi, A, B)$ نمایش داد. به مقدار حداکثر این احتمالات، احتمال حدسی^{۲۹} می‌گوییم:

$$G(\psi, A, B) = \max P(ab | \psi, A, B) \quad (۳۶-۳)$$

با لگاریتم گرفتن از این مقدار حداقل آنروپی^{۳۰} سیستم را بدست می‌آوریم که همان کاتورگی سیستم را تشکیل می‌دهد:

$$H_{\infty}(\Psi, A, B) = -\log_2 G(\Psi, A, B) \quad (۳۷-۳)$$

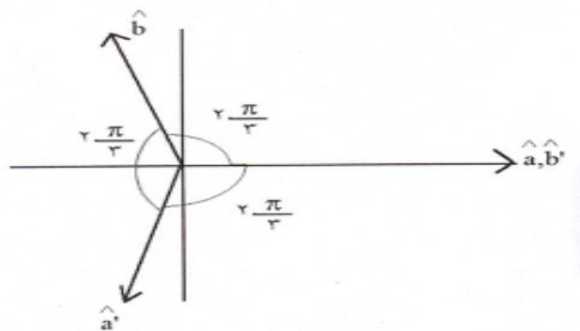
برای مثال یکی از حالات بل را در نظر می‌گیریم:

²⁹Guessing probability
³⁰Min-entropy

$$|\Psi\rangle = \frac{1}{\sqrt{2}}(|01\rangle - |10\rangle) \quad (38-3)$$

این حالت میان آلیس و باب به اشتراک گذاشته شده. آزمایش بلی را ترتیب می‌دهیم که به ازای خروجی‌های آزمایش نامساوی بل CH را به ازای زوایای زیر (همانند شکل (3-3)) نقض می‌کنند:

$$\theta_{a',b'} = \frac{2\pi}{3}, \theta_{a,b} = \frac{2\pi}{3}, \theta_{a',b} = \frac{2\pi}{3}, \theta_{a,b'} = 0$$



شکل (3-3): نمایشی از زوایای میان a', a, b', b در آزمایش CH

به دلیل نقض نامساوی بل برای این سیستم درهم‌تنیده دارای مقداری کاتورگی هستیم. برای محاسبه‌ی میزان کاتورگی سیستم ابتدا احتمالات ناموضع را بدست خواهیم آورد:

$$p(a,b) = \frac{1}{2} \sin^2\left(\frac{\theta_{a,b}}{2}\right) = \frac{3}{8}$$

$$p(a',b') = \frac{1}{2} \sin^2\left(\frac{\theta_{a',b'}}{2}\right) = \frac{3}{8}$$

$$p(a',b) = \frac{1}{2} \sin^2\left(\frac{\theta_{a',b}}{2}\right) = \frac{3}{8}$$

$$p(a,b') = \frac{1}{2} \sin^2\left(\frac{\theta_{a,b'}}{2}\right) = 0$$

$$p(a') = \frac{1}{2}$$

$$p(b') = \frac{1}{2}$$

(39-3)

در ادامه به ازای جایگذاری مقادیر احتمال بالا در نامساوی بل یعنی در رابطه (۳-۵) مقدار این نامساوی ۰/۱۲۵ می‌شود [۱۳]:

$$p(\vec{a}, \vec{b}) + p(\vec{a}, \vec{b}') - p(\vec{a}', \vec{b}) + p(\vec{a}', \vec{b}') - p(\vec{a}) - p(\vec{b}) = \frac{3}{2} \sin^2\left(\frac{\pi}{3}\right) - 1 = \frac{1}{8} > 0$$

مشاهده می‌کنیم که این نامساوی نقض می‌گردد و میزان این نقض میزان ناموضعیّت سیستم را نشان می‌دهد. در ادامه میزان احتمال حدسی سیستم را بدست می‌آوریم. در اینجا فرض کنید عملگرهای اعمالی آلیس و باب به صورت A, B باشند. میزان احتمال حدسی طبق رابطه (۳-۳۶) به صورت زیر می‌باشد:

$$G(\psi, A, B) = \max P(ab | \psi, A, B) = \frac{3}{8}$$

میزان کاتورگی سیستم به صورت زیر بدست خواهد آمد:

$$H_{\infty}(\psi, A, B) = -\log_2 G(\psi, A, B) = -\log_2 0.375 = 1.42$$

پس در این مثال مشاهده می‌کنیم که به ازای 0.125 ناموضعیّت از سیستم به ازای نامساوی CH به میزان 1.42 بیت کاتورگی می‌رسیم. گرچه میزان حداکثر کاتورگی به ازای این سیستم دو کیوبیتی به میزان 2 بیت می‌باشد، که در این جا حاصل نشده است. برای مثال حالت دیگری را در نظر می‌گیریم:

$$|\Psi\rangle = \frac{1}{\sqrt{2}}(|00\rangle + |11\rangle)$$

در اینجا عملگرهای زیر را بر روی سیستم اعمال می‌کنیم:

$$\begin{aligned}
A_1 &= \sigma_x \\
A_2 &= \sigma_z \\
B_1 &= \frac{\sqrt{2}}{2}(\sigma_x + \sigma_z) \\
B_2 &= \frac{\sqrt{2}}{2}(\sigma_x - \sigma_z)
\end{aligned}
\tag{۴۰-۳}$$

نامساوی CHSH^{۳۱} را به صورت زیر داریم [۹]:

$$I = \langle A_1 B_1 \rangle + \langle A_2 B_1 \rangle + \langle A_1 B_2 \rangle - \langle A_2 B_2 \rangle \leq 2 \tag{۴۱-۳}$$

این نامساوی به ازای مقادیر رابطه (۴۰-۳) نقض می شود:

$$\langle A_1 B_1 \rangle + \langle A_2 B_1 \rangle + \langle A_1 B_2 \rangle - \langle A_2 B_2 \rangle = \frac{1}{\sqrt{2}} + \frac{1}{\sqrt{2}} + \frac{1}{\sqrt{2}} + \frac{1}{\sqrt{2}} = \frac{4}{\sqrt{2}} = 2\sqrt{2} > 2$$

در ادامه مقادیر احتمالاتی را طبق رابطه زیر داریم:

$$P(ab | uv) = \langle \Psi | \hat{P}(a) \otimes \hat{P}(b) | \Psi \rangle = \frac{1}{4} (1 + a \langle A_u \rangle + b \langle B_v \rangle + ab \langle A_u B_v \rangle) \tag{۴۲-۳}$$

u و v به ترتیب عملگرهای مربوط به سیستم آلیس و باب می باشند. با استفاده از روابط (۴۰-۳) مقادیر

انتظاری ما به صورت زیر می باشد [۱۴]:

$$\begin{aligned}
\langle A_u \rangle &= \langle B_v \rangle = 0 \\
\langle A_1 B_v \rangle &= \frac{1}{\sqrt{2}} \\
\langle A_2 B_v \rangle &= \frac{(-1)^v}{\sqrt{2}}
\end{aligned}
\tag{۴۳-۳}$$

³¹Clauser-Horn-Shimony-Holt

در ادامه با جایگذاری مقادیر انتظاری بالا (رابطه (۳-۴۳)) در رابطه (۳-۴۲) می‌توانیم به مقادیر احتمالاتی دست پیدا کنیم [۱۴]. مقدار حداکثر احتمالات (۳-۴۲) مقدار احتمال حدسی را نشان می‌دهد:

$$G(\Psi, A_u, B_v) = \max P(ab | \Psi, A_u, B_v) = \frac{1}{4} + \frac{1}{4\sqrt{2}} = 0.427$$

در انتها با جایگذاری این احتمال حدسی در رابطه (۳-۳۷) به مقدار کاتورگی سیستم دست می‌یابیم:

$$H_{\infty}(\Psi, A_u, B_v) = -\log_2 G(\Psi, A_u, B_v) = -\log_2 0.427 = 1.23$$

مشاهده می‌کنیم که میزان کاتورگی حاصله در اینجا 1.23 می‌باشد در صورتی که در مثال اولی میزان کاتورگی 1.42 بود لذا می‌توان سیستم‌های کوانتمی را از لحاظ میزان کاتورگی سیستم با یکدیگر مقایسه کرد.

۳-۶ انواع کاتورگی

در فرمالیزم کوانتمی دو نوع کاتورگی داریم که از یکدیگر متمایزند. یکی کاتورگی حالات خالص و دیگری کاتورگی حالات مخلوط که صرفاً نمایشی از فقدان دانش در مورد حالات محکم و قطعی یک سیستم است. یک توزیع p زمانی یک مقدار قطعی شده‌ی موضعی دارد که یک اندازه‌گیری u همیشه مقدار خروجی $a = \alpha_u$ را بدهد و اندازه‌گیری بر روی v همیشه مقدار خروجی $b = \alpha_v$ را بدهد یعنی داشته باشیم:

$$p(ab | uv) = \delta(a, \alpha_u) \delta(b, \alpha_v) \quad (۳-۴۴)$$

حال میزان کاتورگی خروجی‌های اندازه‌گیری یک آزمایش بل را کمی می‌کنیم. اگر بتوانیم میزان خروجی آزمایش را با قطعیت حدس بزنییم میزان احتمال حدسی مقدار حداکثری 1 را دارد و به میزان 0 بیت کاتورگی داریم:

$$G(\psi, A, B) = 1 \Rightarrow H_\infty(\psi, A, B) = 0$$

و اگر همه‌ی چهار خروجی احتمال برابر داشته باشند آن‌گاه احتمال حدسی ما دارای کمترین مقدار خود یعنی $\frac{1}{4}$ می‌باشد که مطابق با دو بیت کاتورگی هستیم:

$$G(\Psi, A, B) = \frac{1}{4} \Rightarrow H_\infty(\psi, A, B) = 2$$

فرض کنید برای مثال می‌خواهیم کاتورگی سیستم خالص $|\psi\rangle = \frac{|00\rangle + |11\rangle}{\sqrt{2}}$ را حساب کنیم اگر فرض

کنید $A = \sigma_z$ و $B = \sigma_x$ و به ازای همه‌ی مقادیر $a, b = 0, 1$ مقدار احتمال توام را

داریم. بنابراین مقدار احتمال حدسی $G(\psi, A, B) = \frac{1}{4}$ می‌باشد. از این رو

دارای مقدار کاتورگی حداکثری 2 بیت می‌باشیم [۱۴].

۳-۶-۱ کاتورگی سیستم مخلوط

به ازای یک حالت مخلوط کاتورگی سیستم را طبق رابطه زیر بدست می‌آوریم:

$$G(\rho, A, B) = \max_{q_\lambda \psi_\lambda} \sum_\lambda q_\lambda G(\psi_\lambda, A, B) \quad (۴۵-۳)$$

در اینجا max بر روی همه‌ی مقادیر خالصی که بر طبق تجزیه‌ی حالت مخلوط به آن‌ها می‌رسیم

گرفته می‌شود یعنی برطبق رابطه زیر:

$$\rho = \sum_i q_i |\psi_i\rangle\langle\psi_i| = \sum_j p_j |\varphi_j\rangle\langle\varphi_j| \quad (46-3)$$

به عنوان مثالی از کاتورگی موجود در سیستم‌های مخلوط، حالت مخلوط $\rho = \frac{(|00\rangle\langle 00| + |11\rangle\langle 11|)}{2}$

را در نظر بگیرید. آن‌گاه عملگرهای اعمالی آلیس و باب به ترتیب $A = \sigma_z$ و $B = \sigma_x$ می‌باشند. آن‌گاه

را به عنوان مقدار احتمال توام به ازای همه‌ی مقادیر $a, b = 0, 1$ خواهیم داشت. $P(ab | \Psi, A, B) = \frac{1}{4}$

بر طبق روابط بالا می‌توانیم مقدار احتمال حدسی را $G(\rho, A, B) = \frac{1}{2}$ بگیریم، که البته این مقدار

احتمال حدسی به ازای پایه‌ی دیگری بدست آمده است:

$$\begin{cases} \frac{1}{2}G(\psi_1, A, B) + \frac{1}{2}G(\psi_2, A, B) \\ P_1G(\varphi_1, A, B) + P_2G(\varphi_2, A, B) \end{cases} \quad (47-3)$$

در واقع به ازای حالات خالص φ_j ما به مقدار حداقل کاتورگی ذاتی سیستم دست می‌یابیم [۱۴].

فصل چهارم

ارتباط میان کاتورگی و ناموضعیّت

مقدمه

با رد متغیرهای پنهان موضعی وجود کاتورگی ذاتی پذیرفته می‌شود. بنابراین سیستم‌های کوانتمی مولدهای بسیار خوبی برای تولید اعداد واقعا تصادفی می‌باشند زیرا که می‌توانند امنیت لازمه را در سیستم‌های کوانتمی بوجود آورند. هدف این است که سیستمی انتخاب کنیم که بتواند بیشترین کاتورگی را بوجود آورد. سوال اینجاست که آیا سیستم‌های کوانتمی که نامساوی بل را بیشتر نقض می‌کنند، و در واقع ناموضعی‌ترند می‌توانند این میزان کاتورگی حداکثری را برای ما بوجود بیاورند.

ارتباط کمی میان ناموضعییت و کاتورگی بودن به سختی کشف شده است. در اینجا رابطه‌ی میان ناموضعییت، درهم‌تنیدگی و مقادیری از کاتورگی^{۳۲} که به ازای نقض یک نامساوی بل در آزمایش موجود می‌باشد را بررسی می‌کنیم. نتایج نشان می‌دهند که کمیت‌های ناموضعییت، درهم‌تنیدگی و مقادیری از کاتورگی که در یک آزمایش بل وجود دارد ارتباط نابرابری با یکدیگر دارند. نشان خواهیم داد که تولید کاتورگی مطلوب با سرعت بهینه و با استفاده از همبستگی‌های تقریبا موضعی و یا حالات تقریبا غیر درهم‌تنیده نیز اتفاق می‌افتد.

³² Randomness

۴-۱ ناموضیعت و کاتورگی

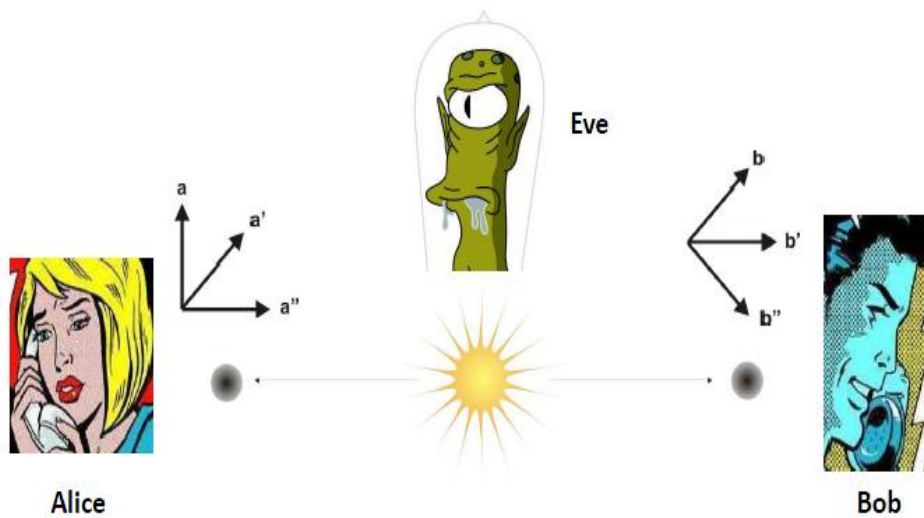
بر طبق نظریه‌ی کوانتومی خروجی‌های یک آزمایش بل، برای یک حالت درهم‌تنیده‌ی خالص که نامساوی بل را نقض می‌کند، الزاما یک مقدار کاتورگی را نشان می‌دهد. همانطور که می‌دانیم حالات درهم‌تنیده ممکن است مخلوط یا خالص باشند، ولی از آنجایی که حالات خالص همواره نامساوی بل را نقض می‌کنند لذا همواره به ازای حالات خالص درهم‌تنیده کاتورگی داریم.

همانطور که در فصل قبل مشاهده کردید به ازای نقض حداکثری نامساوی CHSH به میزان 1.23 بیت کاتورگی داریم، در حالی که با انجام اندازه‌گیری‌هایی با خروجی‌های باینری از دو زیر مجموعه دارای 2 بیت کاتورگی سراسری^{۳۳} هستیم. در واقع به ازای حداکثر نقض نامساوی بل حداکثر کاتورگی بوجود نیامده است. می‌توانیم نشان دهیم برای حالاتی که نامساوی CHSH را کم نقض می‌کنند، و یا حالاتی که درهم‌تنیدگی کمی دارند، نزدیک به حداکثر 2 بیت کاتورگی داریم. در واقع می‌توان توزیع کلید کوانتومی^{۳۴} با یک کاتورگی مطلوب و با سرعتی خوب را به ازای حالاتی که ناموضعی کمی دارند و یا حالاتی که درهم‌تنیدگی کمی دارند مشاهده نمود.

دو ویژگی اساسی نظریه‌ی کوانتومی کاتورگی ذاتی و خصوصیت ناموضیعت آن است. برای اولین بار بورن به خصوصیت کاتورگی ذاتی در نظریه‌ی کوانتومی دست یافت. همبستگی‌هایی که ناموضیعت را نشان می‌دهند حالات درهم‌تنیده‌ای هستند که بر روی آنها اندازه‌گیری انجام می‌شود و این همبستگی‌های ناموضع، نامساوی‌های بل را نقض می‌کنند. همانطور که در فصول قبلی اشاره کردیم می‌توان بل را بنیانگذار اصلی نامساوی‌هایی دانست که برای حالات موضعی برقرار هستند.

³³ Global randomness

³⁴ Quantum key distribution



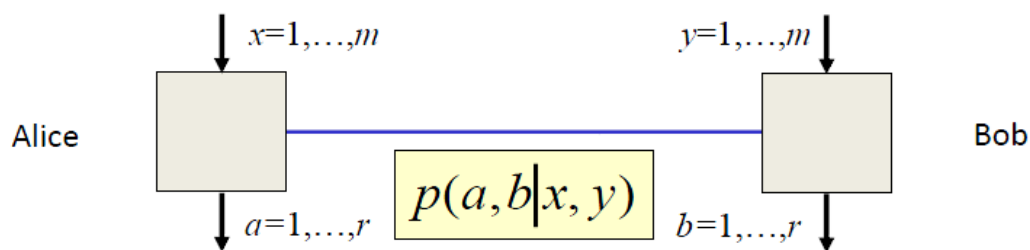
شکل (۴-۱): حضور Eve به عنوان جاسوس در فرآیند QKD

هر گاه هیچ نامساوی بلی در یک آزمایش بل نقض نشود آنگاه نتایج یک سری توضیحات قطعی شده می‌باشند. اندازه‌گیری‌های ما ساده‌ترین و واقعی‌ترین نامساوی یعنی نامساوی CHSH رانقض می‌کند این نامساوی به ازای دو زیرسیستم و خروجی‌های باینری برقرار است. نقض این نامساوی شرط لازمی برای وجود کاتورگی می‌باشد. میزان نقض نامساوی CHSH میزان ناموضعییت را نشان می‌دهد. به سادگی می‌توانیم انتظار داشته باشیم رابطه‌ی مستقیمی میان مقادیری از نقض نامساوی CHSH و بنابراین درهم‌تنیدگی و کاتورگی تولید شده در یک آزمایش بل وجود داشته باشد. انتظار داریم که هرچه نقض نامساوی CHSH کمتر باشد، و یا درهم‌تنیدگی کمتر باشد، میزان کاتورگی نیز کمتر باشد، ولی آزمایش نشان می‌دهد که این درک مستقیم درست نمی‌باشد، و ارتباط میان این سه مفهوم دقیق‌تر از آن است که انتظار داریم.

۲-۴ طرح آزمایش بل

یک آزمایش بل استاندارد را با (N, M, d) نشان می‌دهیم. که N بخش جدا از هم داریم که هر کدام از بخش‌های جدا از هم M تا اندازه‌گیری انجام می‌دهند. و به ازای هر اندازه‌گیری دارای d خروجی می‌باشیم. با تکرار آزمایش دارای یک توزیع احتمال می‌شویم. توزیع احتمال را به فرم کلی $P(a_1, \dots, a_N | x_1, \dots, x_N)$ نشان می‌دهیم، که مقدار a_i خروجی آزمایش است که از اعمال اندازه‌گیری x_i بر روی ذره i پدید می‌آید ($1 \leq i \leq N$). اغلب اندازه‌گیری‌هایی را در نظر می‌گیریم که دارای خروجی باینری هستند یعنی $d=2$ (همانند نامساوی CHSH) [۱۰].

در اینجا اندازه‌گیری‌هایمان را بر روی دو سیستم مجزای آلیس و باب انجام می‌دهیم. بر سیستم آلیس دو عملگر اندازه‌گیری A_u اعمال می‌شود، که $u \in \{1, 2\}$ می‌باشد، که به ازای هر اندازه‌گیری دو خروجی داریم (در واقع خروجی‌ها باینری می‌باشند)، که خروجی‌ها را با $a \in \{0, 1\}$ نشان می‌دهیم. به همین ترتیب بر روی سیستم باب نیز دو عملگر اندازه‌گیری B_v اعمال می‌شود که $v \in \{1, 2\}$ می‌باشد. و به ازای هر اندازه‌گیری باب بر روی ذره مربوط به خود دو خروجی داریم که خروجی‌ها را با $b \in \{0, 1\}$ نشان می‌دهیم (داریم $(2, 2, 2)$) [۱۰].



شکل (۲-۴): آزمایش بل به ازای m تا ورودی و r تا خروجی

توزیع احتمال کلی را به صورت زیر داریم [۱۱]:

$$P(a_1, \dots, a_N | x_1, \dots, x_N) = \frac{1}{d^N} (1 + \sum_{i=1}^N a_i \langle A_i \rangle + \sum_{i < j} a_i a_j \langle A_i A_j \rangle + \sum_{i < j < k} a_i a_j a_k \langle A_i A_j A_k \rangle + \dots + a_1 a_2 a_3 \dots a_N \langle A_1 A_2 \dots A_N \rangle)$$

در ادامه با استفاده از رابطه بالا احتمال توامان اینکه آلیس با اعمال عملگر A_u بر روی ذره ی خود مقدار a را بدست آورد و باب با اعمال عملگر B_v بر روی ذره ی خود مقدار b را بدست آورد مقدار زیر خواهد شد:

$$P(ab | uv) = \text{tr}[M_{au} \otimes M_{bv} \rho] = \langle \psi | M_{au} \otimes M_{bv} | \psi \rangle \quad (1-4)$$

$$= \frac{1}{4} (1 + a \langle A_u \rangle + b \langle B_v \rangle + ab \langle A_u B_v \rangle)$$

ρ حالت سیستم و M_{au} ، M_{bv} عملگرهای اندازه گیری در فضای هیلبرت دلخواه $H_A \otimes H_B$ می باشند در واقع M_{au} ، M_{bv} عملگرهای مثبتی هستند و مجموع آنها 1 می شود. با افزایش ابعاد فضای هیلبرت H_A و H_B ما می توانیم بدون اینکه از کلیت مسئله بکاهیم فرض کنیم M_{au} و M_{bv} عملگرهای تصویر هستند. اندازه گیری ها بر روی دو سیستم مجزا به وسیله ی مشاهده پذیرهای هرمیتی $A_u = M_{0u} - M_{1u}$ و $B_v = M_{0v} - M_{1v}$ توصیف می شود که دارای ویژه مقادیر ± 1 می باشند [۱۴].

در چنین آزمایشی به ازای یک اندازه گیری دارای حداکثر $\log_2 d$ مقدار بیت کاتورگی موضعی و به میزان حداکثر $N \log_2 d$ بیت کاتورگی سراسری هستیم. مقدار حداکثر کاتورگی سراسری به ازای یک توزیع یکنواخت، برای هر دسته خروجی $a_0 = a_1, \dots, a_N$ که دارای دسته اندازه گیری

$$P(a_0 | x_0) = \frac{1}{d^N} \text{ می باشد، به میزان } x_0 = x_1, \dots, x_N \text{ صورت می پذیرد [۱۵].}$$

با استفاده از بسطی که بر روی احتمالات موضعی نوشته می شود می توان به نامساوی های بل دست یافت. نامساوی بل به فرم کلی زیر می باشد:

$$I = \sum_{abuv} I_{abuv} P(ab|uv) \leq I_L \quad (2-4)$$

I_L مرز موضعی نامساوی^{۳۵} نامیده می‌شود.

احتمالات توامان کوانتومی (۱-۴) ناموضع می‌باشند زیرا بستگی به جهت اندازه‌گیری‌ها دارند. ناموضعی همان طور که می‌دانیم به این معناست که تصمیم آلیس برای اعمال عملگر اندازه‌گیری بر روی ذره‌ی خودش بر روی احتمال نتیجه‌ی باب تاثیر بگذارد. نامساوی بل (۲-۴) با استفاده از این مقادیر احتمالاتی ناموضع نقض می‌شود. هدف این است که با محاسبه‌ی میزان نقض یک نامساوی بل میزان ناموضعی یک سیستم را محاسبه کنیم.

عبارت بل به فرم کلی زیر می‌باشد:

$$I_\alpha^\beta = \beta \langle A_1 \rangle + \alpha \langle A_1 B_1 \rangle + \alpha \langle A_1 B_2 \rangle + \langle A_2 B_1 \rangle - \langle A_2 B_2 \rangle \quad (3-4)$$

رابطه بالا وابسته به مقادیر β و α می‌باشد. بدون اینکه از کلیت مسئله بکاهیم فرض می‌کنیم $\beta \geq 0$ و $\alpha \geq 1$. مقدار حداکثر رابطه (۳-۴)، $\beta + 2\alpha$ می‌باشد [۱۴].

چنانچه داشته باشیم $\beta = 0$: برای اینکه به فرم ساده‌تری از عبارت (۳-۴) برسیم مقدار $\beta = 0$ را قرار می‌دهیم. بنابراین عبارت بل ما به صورت زیر تبدیل می‌شود:

$$I_\alpha = I_\alpha^0 = \alpha \langle A_1 B_1 \rangle + \alpha \langle A_1 B_2 \rangle + \langle A_2 B_1 \rangle - \langle A_2 B_2 \rangle \quad (4-4)$$

در ادامه می‌خواهیم مقدار حداکثر I_α را حساب کنیم، لذا در ابتدا سه اقدام تکنیکی انجام می‌دهیم:

(۱) اولین اقدام این است که کارمان را محدود به سیستم‌های دو کیوبیتی کنیم، یعنی برای هر قسمت یک ذره داشته باشیم. می‌دانیم که حالت کلی درهم‌تنیده می‌تواند به ازای قسمت‌های بیشتر و تعداد

³⁵ Local bound of the inequality

ذرات بیشتر هم اتفاق بیافتد. ولی در اینجا اندازه‌گیری‌هایمان را بر روی یک سیستم خالص دو کیوبیتی به فرم کلی زیر انجام می‌دهیم:

$$|\psi\rangle = \cos\theta|00\rangle + \sin\theta|11\rangle \quad 0 \leq \theta \leq \pi/4 \quad (5-4)$$

این حالت میان طرفین آلیس و باب به اشتراک گذاشته شده. هر یک از این طرفین مشاهده‌پذیرهای زیر را بر روی کیوبیت مربوط به خود اعمال می‌کنند:

$$\begin{aligned} A_u &= \vec{a}_u \cdot \vec{\sigma} \\ B_v &= \vec{b}_v \cdot \vec{\sigma} \end{aligned} \quad (6-4)$$

بردارهای یکه $\vec{a}_u = (a_u^1, a_u^2, a_u^3)$ و $\vec{b}_v = (b_v^1, b_v^2, b_v^3)$ به ترتیب جهت قطبش‌های عملگرهای آلیس و باب هستند و $\vec{\sigma} = (\sigma_1, \sigma_2, \sigma_3)$ عملگرهای پاولی می‌باشند. دو تابع محدب $f_{uv}(I)$ و $g_u(I)$ را نیز در نظر می‌گیریم که این توابع مرزهای $G(\psi, A_u, B_v) \leq f_{uv}(I)$ و $G(\psi, A_u) \leq g_u(I)$ را بر روی احتمالات حدسی اعمال می‌کنند [۱۵].

(۲) به ازای اندازه‌گیری‌های رابطه (۶-۴) بر روی حالت دو کیوبیتی به فرم رابطه (۵-۴) حدود زیر بر مقادیر انتظاری عملگرها اعمال می‌شود:

$$\begin{aligned} -\cos 2\theta &\leq \langle A_u \rangle \leq \cos 2\theta \\ -\cos 2\theta &\leq \langle B_v \rangle \leq \cos 2\theta \end{aligned} \quad (7-4)$$

که مقادیر مرزی این حدود به ازای $A_u = \pm\sigma_z$ و $B_v = \pm\sigma_z$ حاصل می‌شوند.

(۳) نامساوی‌های بل برای حالتی که قسمت‌ها بیشتر باشند و به ازای هر قسمت، تعداد ذرات بیشتر هم اتفاق می‌افتد. به‌عنوان آخرین اقدام هر تناقض I_α را به ازای سیستم‌های 2×2 در نظر می‌گیریم. و به ازای هر دسته از اندازه‌گیری‌های به فرم رابطه (۶-۴) نامساوی بل به‌صورت زیر می‌باشد:

$$\alpha \langle A_1 B_1 \rangle + \alpha \langle A_1 B_2 \rangle + \langle A_2 B_1 \rangle - \langle A_2 B_2 \rangle \leq 2\sqrt{\alpha^2 + \sin^2 2\theta} \quad (8-4)$$

یا به عبارتی:

$$I_\alpha \leq 2\sqrt{\alpha^2 + \sin^2 2\theta}$$

حال می‌خواهیم ببینیم این مقدار حداکثری چگونه حاصل شده است، لذا مشاهده‌پذیرهای آلیس و باب را به فرم زیر در نظر می‌گیریم (با اعمال عملگرهای زیر می‌توانیم به مقدار حداکثر نامساوی (۴-۹) برسیم):

$$\begin{aligned} A_1 &= \sigma_z \\ A_2 &= \cos \varphi \sigma_x + \sin \varphi \sigma_y \\ B_1 &= \cos \mu \sigma_z + (\sin \mu \cos \varphi) \sigma_z - (\sin \mu \sin \varphi) \sigma_y \\ B_2 &= \cos \mu \sigma_z - (\sin \mu \cos \varphi) \sigma_z + (\sin \mu \sin \varphi) \sigma_y \end{aligned} \quad (9-4)$$

با در نظر گرفتن عملگرهای اعمالی (۴-۹) بر روی سیستم، جهت محورهای قطبش اندازه‌گیری آلیس و باب را به صورت زیر داریم:

$$\begin{aligned} \vec{a}_1 &= (0, 0, +1) \\ \vec{a}_2 &= (\cos \varphi, \sin \varphi, 0) \\ \vec{b}_1 &= (\sin \mu \cos \varphi, -\sin \mu \sin \varphi, \cos \mu) \\ \vec{b}_2 &= (-\sin \mu \cos \varphi, \sin \mu \sin \varphi, \cos \mu) \end{aligned} \quad (10-4)$$

مقادیر انتظاری عملگرهای رابطه (۴-۹) به صورت زیر تبدیل خواهد شد:

$$\begin{aligned} \langle A_1 B_1 \rangle &= \langle A_1 B_2 \rangle = \cos \mu \\ \langle A_2 B_1 \rangle &= -\langle A_2 B_2 \rangle = \sin \mu \sin 2\theta \end{aligned} \quad (11-4)$$

برای مثال اولین مقدار را به صورت زیر محاسبه می‌کنیم:

$$\begin{aligned}
\langle A_1 B_1 \rangle &= \langle \sigma_z \otimes (\cos \mu \sigma_z + (\sin \mu \cos \varphi) \sigma_x - (\sin \mu \sin \varphi) \sigma_y) \rangle \\
&= \cos \mu \langle \sigma_z \otimes \sigma_z \rangle + \sin \mu \cos \varphi \underbrace{\langle \sigma_z \otimes \sigma_x \rangle}_0 - (\sin \mu \sin \varphi) \underbrace{\langle \sigma_z \otimes \sigma_y \rangle}_0 \\
&= \cos \mu \langle \psi | (|00\rangle\langle 00| - |10\rangle\langle 10| - |01\rangle\langle 01| + |11\rangle\langle 11|) | \psi \rangle \\
&= \cos \mu (\cos^2 \theta + \sin^2 \theta) = \cos \mu
\end{aligned}$$

با استفاده از روابط (۱۱-۴) و قرار دادن این مقادیر انتظاری در رابطه I_α به مقدار زیر می‌رسیم:

$$I_\alpha = \alpha \langle A_1 B_1 \rangle + \alpha \langle A_1 B_2 \rangle + \langle A_2 B_1 \rangle - \langle A_2 B_2 \rangle = 2(\sin \mu \sin 2\theta + \alpha \cos \mu) \quad (۱۲-۴)$$

برای محاسبه‌ی میزان حداکثری رابطه بالا مشتق این رابطه را بر حسب μ بدست می‌آوریم و آن را برابر با صفر قرار می‌دهیم:

$$-\alpha \sin \mu + \cos \mu \sin 2\theta = 0 \Rightarrow \sin 2\theta = \alpha \tan \mu$$

با استفاده از رابطه بالا به مقادیر زیر خواهیم رسید:

$$\begin{aligned}
\sin \mu &= \frac{\sin 2\theta}{\sqrt{\alpha^2 + \sin^2 2\theta}} \\
\cos \mu &= \frac{\alpha}{\sqrt{\alpha^2 + \sin^2 2\theta}}
\end{aligned} \quad (۱۳-۴)$$

با جایگذاری مقادیر رابطه (۱۳-۴) در رابطه (۱۲-۴) به مقدار حداکثری رابطه (۱۲-۴) می‌رسیم [۲۰ و ۱۴]:

$$\text{Max} I_\alpha = 2\sqrt{\alpha^2 + \sin^2 2\theta} \quad (۱۴-۴)$$

۴-۲-۱ کاتورگی زیاد به ازای ناموضعییت کم

مقدار حداکثری رابطه شماره (۴-۱۴) به ازای مقدار زاویه $\theta = \pi/4$ حاصل می‌شود. یا به عبارتی به ازای زاویه $\theta = \pi/4$ به مقدار حداکثر ناموضعییت می‌رسیم. در این صورت حالت کلی سیستم یا همان رابطه (۴-۵) که میان آلیس و باب به اشتراک گذاشته شده به صورت زیر تبدیل خواهد شد:

$$|\psi\rangle = \frac{|00\rangle + |11\rangle}{\sqrt{2}} \quad (۴-۱۵)$$

که این حالت دارای حداکثر درهم‌تنیدگی است. لذا به ازای حداکثر ناموضعییت، حداکثر درهم‌تنیدگی پدید آمده است. به ازای این حداکثر درهم‌تنیدگی مقادیر انتظاری عملگرها با استفاده از روابط (۴-۱۱) و (۴-۱۳) به صورت زیر درخواهد آمد:

$$\begin{aligned} \langle A_u \rangle &= \langle B_v \rangle = 0 \\ \langle A_1 B_v \rangle &= \frac{\alpha}{\sqrt{1+\alpha^2}} \\ \langle A_2 B_v \rangle &= \frac{(-1)^v}{\sqrt{1+\alpha^2}} \end{aligned} \quad (۴-۱۶)$$

قابل ذکر است که به ازای این حداکثر درهم‌تنیدگی دارای حداکثر کاتورگی موضعی هستیم یعنی $G(P,u) = G(P,v) = \frac{1}{2}$ را داریم. حال سوال اینجاست که چه زمانی می‌توانیم مقدار کاتورگی موضعی حداکثری را داشته باشیم؟ یک روش ساده برای پاسخگویی داریم. با در نظر گرفتن دو فرض تقارن‌ها و یکانی بودن توزیع احتمال بر روی نامساوی استاندارد CHSH به این سوال پاسخ داده می‌شود. در مرجع شماره [۱۰] با اعمال این دو فرض مقادیر انتظاری زیر را خواهیم داشت:

$$\langle A_1 \rangle = \langle B_1 \rangle = \langle B_2 \rangle = \langle A_2 \rangle = 0$$

صفر بودن مقدار همبستگی‌های تک‌تایه^{۳۶} در واقع متقارن بودن خروجی آزمایش را نشان می‌دهد، یعنی برای مثال در نصف اندازه‌گیری‌ها بر روی ذره مقدار اسپین را در جهت بالا یافته‌ایم، و در نصف دیگر جهت اسپین پایین بوده است، که این امر همان توزیع یکنواخت خروجی موضعی است. و چون دو خروجی داریم لذا مقدار احتمال را $\frac{1}{2}$ می‌یابیم که این همان مقدار احتمال حدسی ما را نشان می‌دهد:

$$G(P, u) = G(P, v) = \frac{1}{2}$$

با لگاریتم گرفتن از این مقدار میزان کاتورگی موضعی را و یا به عبارتی میزان کاتورگی به ازای یکی از خروجی‌ها را به میزان $H_\infty = -\log G(P, v) = -\log_2 \frac{1}{2} = 1$ داریم [۲۱ و ۱۰].

در ادامه می‌خواهیم مقدار کاتورگی حالت حداکثر درهم‌تنیده‌ی (۴-۱۵) را محاسبه کنیم. لذا برای محاسبه‌ی میزان کاتورگی در ابتدا میزان احتمالات توام را محاسبه می‌کنیم. با توجه به رابطه‌ی مربوط به احتمالات توام یعنی رابطه (۴-۱) و با جایگذاری روابط (۴-۱۶) در آن به احتمالات توام زیر می‌رسیم:

$$P(ab | 1v) = \frac{1}{4} (1 + a \langle A_1 \rangle_0 + b \langle B_v \rangle_0 + ab \langle A_1 B_v \rangle) = \frac{1}{4} (1 + \frac{\alpha}{\sqrt{1+\alpha^2}}) \quad (۱۷-۴)$$

$$P(ab | 2v) = \frac{1}{4} (1 + a \langle A_2 \rangle_0 + b \langle B_v \rangle_0 + ab \langle A_2 B_v \rangle) = \frac{1}{4} (1 + \frac{(-1)^v}{\sqrt{1+\alpha^2}})$$

با قرار دادن مقدار $\alpha = 1$ در رابطه I_α به عبارت بل ساده‌ی CHSH می‌رسیم:

$$I_1 = \langle A_1 B_1 \rangle + \langle A_1 B_2 \rangle + \langle A_2 B_1 \rangle - \langle A_2 B_2 \rangle \quad (۱۸-۴)$$

³⁶ One-body correlators

به ازای نامساوی CHSH بررسی‌مان را در ادامه با جایگذاری دو مقدار $\alpha=1$ و $\alpha>1$ در روابط مقادیر انتظاری (همانطور که فرض کرده بودیم $\alpha\geq 1$) انجام می‌دهیم. مقدار حداکثر نامساوی بل CHSH به ازای حداکثر درهم‌تنیدگی همانطور که قبلاً داشتیم، به میزان $I_1=2\sqrt{2}$ می‌شود. به ازای $\alpha=1$ مقدار حداکثر روابط (۱۷-۴) یعنی در واقع احتمال حدسی مقدار زیر خواهد شد:

$$G(P, u, v) = G(P, 1, v) = G(P, 2, v) = \frac{1}{4} \left(1 + \frac{1}{\sqrt{2}}\right) = \frac{1}{4} + \frac{\sqrt{2}}{8} \approx 0.427 \quad (19-4)$$

از احتمال حدسی لگاریتم می‌گیریم و میزان کاتورگی سیستم را بدست خواهیم آورد:

$$H_\infty = -\log G_{uv} = -\log(0.427) = 1.23 \quad (20-4)$$

پس به ازای $\alpha=1$ نامساوی بل به میزان $2\sqrt{2}$ نقض می‌شود. و به ازای این درجه از نقض که حداکثر درجه نقض نامساوی بل شماره (۱۸-۴) می‌باشد دارای 1.23 بیت کاتورگی هستیم.

با توجه به اینکه میزان حداکثر کاتورگی 2 بیت می‌باشد ولی مشاهده می‌کنیم که این میزان کاتورگی به ازای یک سیستم حداکثر درهم‌تنیده که نامساوی بل را به صورت حداکثری نقض می‌کند و یا به عبارتی دارای حداکثر ناموضعیست حاصل نمی‌شود. لذا نتیجه می‌گیریم که به ازای حداکثر ناموضعیست الزاماً حداکثر کاتورگی را نداریم. سوال اینجاست که این میزان حداکثر کاتورگی به ازای چه درجه‌ای از نقض حاصل خواهد شد؟

در رابطه (۱۷-۴) مقدار $\alpha>1$ قرار می‌دهیم. آنگاه میزان حداکثر نامساوی بل CHSH با توجه به اینکه باید مقادیر انتظاری حداکثری رابطه (۱۸-۴) را وارد کنیم به این صورت خواهد شد:

$$I_1 = \langle A_1 B_1 \rangle + \langle A_1 B_2 \rangle + \langle A_2 B_1 \rangle - \langle A_2 B_2 \rangle = \frac{2\alpha}{\sqrt{1+\alpha^2}} + \frac{2}{\sqrt{1+\alpha^2}} = \frac{2(\alpha+1)}{\sqrt{\alpha^2+1}} \approx 2 + \frac{2}{\alpha} \quad (21-4)$$

با افزایش مقدار α میزان عبارت بالا که همان میزان نقض نامساوی CHSH است کاهش می‌یابد. در ادامه کاتورگی سیستم را به ازای $\alpha > 1$ محاسبه می‌کنیم. ابتدا میزان حداکثر روابط (۴-۱۷) را بدست می‌آوریم:

$$G(P, 2, v) = \frac{1}{4} \left(1 + \frac{1}{\sqrt{1 + \alpha^2}} \right) \quad (۲۲-۴)$$

(که این مقدار احتمال حدسی به ازای $u = 2$ بدست آمده است) از این مقدار لگاریتم می‌گیریم تا میزان کاتورگی سیستم را بدست آوریم:

$$H_{\infty} = -\log G(P, 2, v) \approx 2 - \ln(2)/\alpha \quad (۲۳-۴)$$

چنانچه میزان α افزایش یابد مشاهده خواهیم کرد که میزان کاتورگی سیستم افزایش می‌یابد. و به میزان حداکثری 2 بیت می‌رسد.

لذا با افزایش مقدار α میزان درجه نقض نامساوی بل کاهش خواهد یافت و از ناموضعیت سیستم کاسته می‌شود ولی میزان کاتورگی سیستم افزایش می‌یابد. پس به ازای ناموضعیت کم حداکثر کاتورگی سیستم که به میزان 2 بیت می‌باشد حاصل می‌شود [۱۴].

چنانچه داشته باشیم $\beta \neq 0$: در بالا مشاهده نمودید که به ازای $\beta = 0$ در نامساوی CHSH حداکثر نقض نامساوی بل یا همان حداکثر ناموضعیت در شرایطی به وجود می‌آید که ما حداکثر کاتورگی سراسری را نداریم. ولی با توجه به اینکه مقدار $\theta = \frac{\pi}{4}$ قرار می‌دهیم حداکثر درهم‌تنیدگی را داریم و حداکثر کاتورگی موضعی نیز برقرار است. علاوه بر این به ازای $\beta = 0$ و $\alpha > 1$ دارای میزان حداکثر کاتورگی سراسری هستیم در حالی که حداکثر درجه نقض نامساوی بل را نداریم. در این شرایط مشاهده کردیم که سیستم دارای حداکثر درهم‌تنیدگی و حداکثر کاتورگی موضعی می‌باشد.

می‌خواهیم سیستم را به ازای $\beta > 0$ بررسی کنیم، و ارتباط میان ناموضعیّت، درهم‌تنیدگی و کاتورگی سراسری و کاتورگی موضعی را بررسی کنیم. سه تکنیک قبلی را به کار می‌گیریم. بنابراین سیستم‌های دو کیوبیتی خالص را در نظر می‌گیریم. هدف اصلی این است که به مقدار حداکثری رابطه (۳-۴) دست یابیم یعنی در واقع مقدار حداکثر عبارت بل (I_α^β) را بدست آوریم. با استفاده از رابطه $I_\alpha^\beta \leq 2\sqrt{\alpha^2 + \sin^2 2\theta}$ و همچنین حدی که به ازای رابطه $-\cos 2\theta \leq \langle A_u \rangle \leq \cos 2\theta$ بر روی $\langle A_u \rangle$ اعمال می‌شود:

$$\frac{I_\alpha}{2} \leq \sqrt{\alpha^2 + \sin^2 2\theta} \Rightarrow \frac{I_\alpha^2}{4} \leq \alpha^2 + \sin^2 2\theta \Rightarrow \frac{I_\alpha^2}{4} - \alpha^2 \leq 1 - \cos^2 2\theta \Rightarrow$$

$$\cos 2\theta \leq \sqrt{1 + \alpha^2 - \frac{I_\alpha^2}{4}} \xrightarrow{\langle A_1 \rangle \leq \cos 2\theta} \langle A_1 \rangle \leq \sqrt{1 + \alpha^2 - \frac{I_\alpha^2}{4}}$$

به رابطه زیر می‌رسیم:

$$\langle A_1 \rangle \leq \sqrt{1 + \alpha^2 - \frac{I_\alpha^2}{4}} \quad (24-4)$$

این رابطه به ازای $u=1$ نوشته شده است. عبارت بل (۳-۴) را به صورت زیر داریم:

$$I_\alpha^\beta = \beta \langle A_1 \rangle + \underbrace{\alpha \langle A_1 B_1 \rangle + \alpha \langle A_1 B_2 \rangle + \langle A_2 B_1 \rangle - \langle A_2 B_2 \rangle}_{I_\alpha^0} = \beta \langle A_1 \rangle + I_\alpha^0 \quad (25-4)$$

طرفین رابطه (۲۴-۴) را در β ضرب می‌کنیم و با مقدار I_α^0 جمع می‌کنیم:

$$\underbrace{I_\alpha^0 + \beta \langle A_1 \rangle}_{I_\alpha^\beta} \leq I_\alpha^0 + \beta \sqrt{1 + \alpha^2 - \frac{I_\alpha^2}{4}} \Rightarrow I_\alpha^\beta \leq I_\alpha^0 + \beta \sqrt{1 + \alpha^2 - \frac{I_\alpha^2}{4}} \quad (26-4)$$

نامساوی بل را به صورت زیر بدست می‌آوریم:

$$I_\alpha^\beta \leq I_\alpha^0 + \beta \sqrt{1 + \alpha^2 - \frac{I_\alpha^2}{4}} \quad (27-4)$$

چنانچه مشتق طرف راست عبارت (۲۷-۴) را نسبت به I_α^0 بدست آوریم و آن را برابر صفر قرار دهیم می‌توانیم مقدار حداکثری نامساوی را بدست آوریم. طرف راست عبارت (۲۷-۴) زمانی حداکثر

می‌شود که داشته باشیم $I_\alpha^0 = \frac{2\sqrt{1+\alpha^2}}{\sqrt{1+\frac{\beta^2}{4}}}$. با جایگذاری این مقدار در رابطه (۲۷-۴) خواهیم داشت:

$$I_\alpha^\beta \leq 2\sqrt{(1+\alpha^2)\left(1+\frac{\beta^2}{4}\right)} \quad (۲۸-۴)$$

طبق این رابطه مشاهده می‌کنیم که مقدار حداکثری عبارت بل یا همان رابطه (۲۷-۴) مقدار $2\sqrt{(1+\alpha^2)\left(1+\frac{\beta^2}{4}\right)}$ می‌شود.

در اینجا مقدار حداکثری عبارت بل به ازای $I_\alpha^0 = \frac{2\sqrt{1+\alpha^2}}{\sqrt{1+\frac{\beta^2}{4}}}$ حاصل شد و از طرف دیگر با توجه به

نتایج قبلی می‌دانیم که این مقدار حداکثری I_α^0 طبق رابطه (۱۴-۴) به ازای $I_\alpha = 2\sqrt{\alpha^2 + \sin^2 2\theta}$ بدست می‌آید:

$$I_\alpha^0 = \frac{2\sqrt{1+\alpha^2}}{\sqrt{1+\frac{\beta^2}{4}}} = 2\sqrt{\alpha^2 + \sin^2 2\theta} \Rightarrow \sin 2\theta = \sqrt{\left(1 - \frac{\alpha^2\beta^2}{4}\right) / \left(1 + \frac{\beta^2}{4}\right)} \quad (۲۹-۴)$$

همانطور که ملاحظه می‌کنید رابطه (۲۹-۴) به ازای هر θ برقرار است. یعنی در اینجا ما هر درجه‌ای از درهم‌تنیدگی را داریم. یعنی حتی به ازای درهم‌تنیدگی‌های جزئی هم این رابطه برقرار است. و چون مقدار $\langle A_2 \rangle = 0$ یعنی $G_2 = \frac{1}{2}$ (به شرط آنکه $\beta \neq \frac{2}{\alpha}$ باشد). و برای مثال به ازای $\alpha = 1$ و $0 < \beta < 2$ دارای کاتورگی موضعی یک بیت می‌باشیم که همان کاتورگی حداکثری موضعی است. در پایان می‌توان این نتیجه را گرفت که با توجه به رابطه (۲۹-۴) می‌توان درهم‌تنیدگی جزئی را داشت زیرا که این رابطه به ازای θ جزئی نیز صادق می‌باشد [۱۴].

۴-۲-۲ کاتورگی سراسری زیاد به ازای حالات تقریبا غیر درهم تنیده

با توجه به آنچه قبلا مشاهده کردیم به ازای $\beta=0$ و $\alpha>1$ می‌توانیم نزدیک به حداکثر 2 بیت کاتورگی داشته باشیم که این امر به ازای حالات حداکثر درهم‌تنیده اتفاق می‌افتد. در اینجا نشان می‌دهیم این حداکثر کاتوره‌ای سراسری می‌تواند به ازای حالات تقریبا غیر درهم‌تنیده اتفاق بیافتد.

در اینجا شرایط کمی پیچیده‌تر می‌شود به طوری که هر یک از آلیس و باب چهار عملگر اندازه‌گیری را بر روی ذره‌ی خود اعمال می‌کنند (یعنی داریم $M=4$). خروجی‌های اندازه‌گیری همانند قبل باینری می‌باشند ($d=2$)، و میزان حداکثر کاتورگی سراسری به ازای یک جفت خروجی همان دو بیت کاتورگی سراسری می‌باشد ($N \log_2 d = 2 \log_2 2 = 2$). آلیس چهار عملگر A_1, A_2, A'_1, A'_2 را بر روی ذره خود اعمال می‌کند و طرف باب نیز چهار عملگر B_1, B_2, B'_1, B'_2 را بر روی سیستم خود اعمال می‌کند. به ازای چهار عملگر A_1, A_2, B_1, B_2 عبارت (۳-۴) را به صورت زیر داشتیم:

$$I_{\alpha}^{\beta} = \beta \langle A_1 \rangle + \alpha \langle A_1 B_1 \rangle + \alpha \langle A_1 B_2 \rangle + \langle A_2 B_1 \rangle - \langle A_2 B_2 \rangle \quad (۳-۴)$$

چنانچه عملگرهای جدید را به صورت A'_1, A'_2, B'_1, B'_2 در نظر بگیریم و نقش آلیس و باب را جابجا کنیم عبارت بل (۳-۴) را به صورت زیر خواهیم داشت:

$$I_{\alpha}^{\beta} = \beta \langle B'_1 \rangle + \alpha \langle B'_1 A'_1 \rangle + \alpha \langle B'_1 A'_2 \rangle + \langle B'_2 A'_1 \rangle - \langle B'_2 A'_2 \rangle \quad (۳۰-۴)$$

طبق رابطه (۲۸-۴) مقدار حداکثر I_{α}^{β} و I_{α}^{β} به ازای مقدار زیر حاصل می‌شود:

$$I_{\alpha}^{\beta} = I_{\alpha}^{\beta} = 2 \sqrt{(1+\alpha^2)(1+\frac{\beta^2}{4})} \quad (۳۱-۴)$$

به ازای خروجی عملگرهای A_2, B'_2 دارای کاتورگی حداکثری موضعی می‌باشیم زیرا که داریم

$$\langle A_2 \rangle_\psi = \langle B'_2 \rangle_\psi = 0 \quad (\text{توجه داشته باشید که در اینجا } \beta \neq \frac{2}{\alpha}).$$

در ادامه می‌خواهیم به جای استفاده از شرط $\beta \neq \frac{2}{\alpha}$ ، مقدار β را به سمت 2 میل دهیم یعنی

داشته باشیم $\beta \rightarrow \frac{2}{\alpha}$. هدف این است که ثابت کنیم نتایج اندازه‌گیری‌ها به ازای عملگرهای A_2 و B'_2

به سمت حالات تقریباً غیردرهم‌تنیده می‌روند. بنابر مرجع [۱۰] خواهیم داشت:

$$|\langle A_2 B'_2 \rangle| = \sqrt{(1 - \frac{\alpha^2 \beta^2}{4}) / (1 + \frac{\beta^2}{4})} = \sin 2\theta \quad (32-4)$$

اگر برای مثال مقدار $\alpha = 1$ و $\beta = 2 - \varepsilon$ را در رابطه بالا قرار دهیم به مقدار زیر خواهیم رسید:

$$|\langle A_2 B'_2 \rangle| = \sin 2\theta = \sqrt{\frac{\varepsilon}{2}} \quad (33-4)$$

چنانچه مقدار احتمال حدسی را حساب کنیم خواهیم داشت:

$$G(\psi, A_2, B'_2) = \frac{(1 + |\langle A_2 \rangle_\psi| + |\langle B'_2 \rangle_\psi| + |\langle A_2 B'_2 \rangle|)}{4} = \frac{1}{4} (1 + \sqrt{\frac{\varepsilon}{2}}) \quad (34-4)$$

پس طبق رابطه (۳۴-۴) می‌بینیم که مقدار احتمال حدسی به سمت حداقل مقدار خود یعنی مقدار

$\frac{1}{4}$ پیش می‌رود و میزان کاتورگی سراسری به صورت زیر خواهد شد:

$$H_\infty = -\log G(P, A_2, B'_2) = -\log \frac{1}{4} (1 + \sqrt{\frac{\varepsilon}{2}}) \approx 2 \quad (35-4)$$

بنابراین نزدیک به 2 بیت کاتورگی حداکثری حاصل شده است، در حالی که بنابر رابطه (۳۲-۴)

درهم‌تنیدگی جزئی داریم [۱۴].

نتیجه‌گیری

. هدف کلی این رساله بررسی میزان کاتورگی سیستم‌های کوانتومی و در ادامه بررسی ارتباط میان کاتورگی و ناموضعیست است. در این رساله نشان دادیم که اولاً سیستم‌های کوانتومی به دلیل خاصیت کاتورگی ذاتی برای تولید اعداد کوانتومی منابع خوبی هستند و بهتر از سیستم‌های کلاسیکی می‌توانند امنیت لازم را برقرار کنند. در ادامه رابطه‌ی میان کاتورگی ذاتی و میزان نقض نامساوی بل را محاسبه کردیم. در این رساله میزان کاتورگی به صورت کمی مطرح می‌شود. با توجه به این که می‌دانیم سیستم‌های کوانتومی خالص درهم‌تنیده نامساوی بل را نقض می‌کنند با محاسبه‌ی میزان این نقض در واقع میزان ناموضعیست را بدست آوردیم. سپس این میزان ناموضعیست را با میزان کاتورگی مقایسه کردیم. آنچه دریافتیم این بود که ارتباط میان ناموضعیست و کاتورگی سیستم مستقیم نیست و گاه اتفاق می‌افتد که میزان کاتورگی حداکثری دو بیت را به ازای مقادیر کمی از ناموضعیست داشته باشیم، و حتی مواردی داریم که با وجود درهم‌تنیدگی کم کاتورگی حداکثری بوجود آمده است. در ادامه پیشنهاد می‌شود که بررسی در سیستم‌های با تعداد کیوبیت بالا انجام پذیرد و یا حتی به ازای نامساوی‌های دیگری میزان کاتورگی محاسبه گردد، و در سطح بالاتر علت این ارتباط غیر مستقیم میان ناموضعیست، کاتورگی و درهم‌تنیدگی به خوبی توجیه گردد.

مراجع

[۱] قجاوند. مجید، (۱۳۹۰)، پایان‌نامه ارشد: "بهبودسازی تولید درهم‌تنیدگی در زنجیره‌های اسپینی"، دانشکده فیزیک، دانشگاه صنعتی شریف.

[2] Seevinck.M.P (2011). "No-signaling, perfect bipartite dichotomic correlations and local randomness", AIP Conf. Proc. **1327**, 36-53.

[3] Michael A. Nielsen & Isaac L.Chuang. (2000). "Quantum Computation And Quantum Information",Cambridge University press.chapter 1, PP.13.

[4] Bohm. D, (1951). "A suggested interpretation of the Quantum Theory interms of hidden variabls". Physical Review **85**: 166–179.

[5] Bohm. D, (1952). "Nonlocality, Lorentz Invariance, and Bohmian Quantum Theory" Phys. Physical Review A S3, **2062-2073**.

[6] Greenstein. G,Zajonc. A.G, (1997). "The Quantum Challenge: Modern Research on the Foundations of Quantum Mechanics".jones and Bartlett publishers. Chapter 1.

[7] McMahan. D, (2008). "Quantum Computing Explained", John Wiley and Sons, Inc, USA, ISBN 978-0-470-09699-4 (cloth).

[۸] محسنی نیا،راضیه، (۱۳۹۰)، پایان‌نامه ارشد: "درهم‌تنیدگی چندبخشی"، دانشکده فیزیک، دانشگاه صنعتی شریف.

[۹] کریمی پور.وحید، (۱۳۹۱)، درسنامه محاسبات کوانتومی، درس چهارم: "شناخت جهان واقعی، متغیرهای پنهان و مکانیک کوانتومی" دانشکده فیزیک، دانشگاه صنعتی شریف.

[10] Chirag Dhara, Giuseppe Pretico, and A. Acin. (2013). "Maximal quantum randomness in Bell tests" , Phys. Rev. A **88**, 052116.

[11] K. Wddkiewicz, Liwei Wang, and J. H. Eberly. (1992) "Perfect Correlations of Three-Particle Entangled States". Physical Review A.

[12] Krzysztof Wodkiewicz, (1995) "Randomness, Nonlocality and Information In Entangled correlations". arXiv: **9505020v1**.

[۱۳] فهمی.اکبر، (۱۳۸۴)، پایان نامه دکتری: "درهم تنیدگی و ناموضعیّت در نامساوی بل و کاربرد آن در تئوری اطلاعات" دانشکده فیزیک، دانشگاه صنعتی شریف.

[14] Antonio Acin, Serge Massar, Stefano Pironio. (2011). "Randomness vs Non Locality and Entanglement". arXiv:**1107.275**.

[15] S. Pironio, A. Acin, S. Massar, A. Boyer de la Giroday, D. N. Matsukevich, P. Maunz, S. Olmschenk, D. Hayes, L. Luo, T. A. Manning, and C. Monroe.(2010). "Random Numbers Certified by Bell's Theorem". Nature **464, 1021**.

[16] SBarnett, (2009), "Quantum Information".Oxford university press.chapter 3.5.8.

[17] A.Einstein, B.Podolsky and N.Rosen, (1935) "Can Quantum-Mechanical Description of Physical Reality Be Considered Complete?", Phys. Rev. **47, 777 - 780** .

[18] Samuel L.Braunstein and Carlton M. (1988). "Caves, Information-theoretic Bell Inequalities". Phys RevLett.**60.1351**.

[19] Homi Bhabha Road, Mumbai, (2005). "The incompatibility between local hidden variable theories and the fundamental conservation laws". Pramna journal of physics. Vol. 65. pp. 359-379.

[20] Andre Allan Methot and Valerio Scarani. (2006) "An anomaly of non-locality". Quantum Information and Computation 7: **157-170, 2007**.

[21] Stefano Pironio, Jean-Daniel Bancal, Valerio Scarani. (2011) "Extremal correlations of the tripartite no-signaling polytope". Mathematical and Theoretical **44, 065303** .

Abstract

Today, especially in cryptography, random numbers generation is of tremendous importance. To generate random numbers depending on their applications we use different generation methods. Security is an important parameter in cryptography. In this scientific reaserch we're attempting to generate random numbers that are not detected by eavesdropper and contains a strong security. In Newtonian physics, as the complete knowledge of initial conditions along with interactions of a system allows one to predict its future dynamics deterministically There is no securit in determinestic classical methods of generating random numbers. Quantum theory also incorporates a form of randomness in its framework that does not have a classical counterpart. Quantum physics is inherently random, consequently it is convenient to use random numbers generating. In this scientific reaserch we determine randomness through outputs obtained by a bell experiment, then we choose the best system in order to random number generation.

According to quantum theory, the outcomes obtained by measuring an entangled state necessarily exhibit some randomness if they violate a Bell inequality. We are going to investigate the relation between non-locality and the amount of randomness necessarily present in a Bell experiment. Naively, we expect a direct relation between the amount of nonlocality and the randomness produced in a Bell-type experiment, i.e.,for eaxample the less nonlocality, the less randomness. Our analysis, however, show that this intuition is not correct and that the relation between these two concepts is much subtler than expected. We can consider the amount of violation of the CHSH inequality a natural measure of non-locality then compute the amount of randomness in system. in this scientific reaserch We introduce little non-local correlations that violate arbitrarily little the CHSH inequality yet which necessarily imply that the maximal amounts of randomness. We know that by performing measurements with binary outcomes on two subsystems one could in principle generate up to two bits of randomness. We show that states with arbitrarily little entanglement can be used to certify that close to the maximum of two bits of randomness are produced.

Key words: nonlocality, randomness, CHSH inequality, entanglement, Guessing probability.



Shahrood University of Technology

Faculty of Physics

Master of Science Thesis

The Connection between Non-locality and Randomness

By:

Fatemeh Adalatkhan

Supervisor:

Dr.HosseinMovahhedian

Winter 2014